

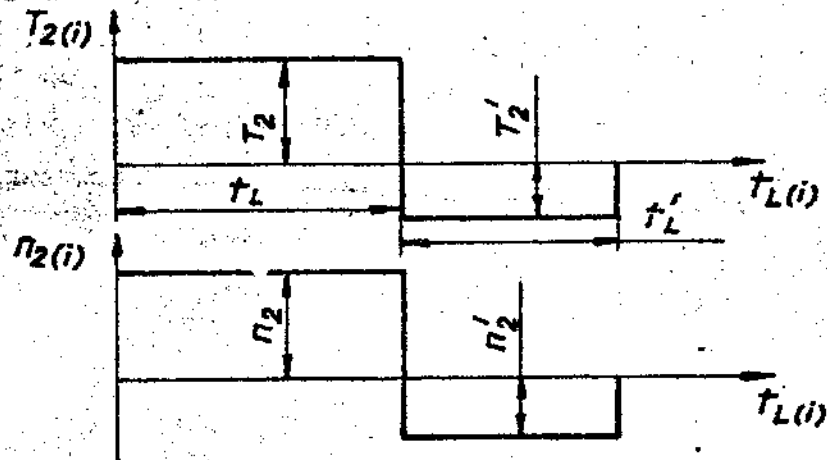
2. БЕЗЗАОРНЫЕ ЗУБЧАТЫЕ И ЧЕРВАЧНЫЕ ПЕРЕДАЧИ

2.1. Общие положения

2.1.1. Расчет следует начинать с определения ведущего и ведомого зубчатого колеса и вычисления коэффициентов полезного действия η_j (при проектировочном расчете η_j задают) на каждой ступени нагружения.

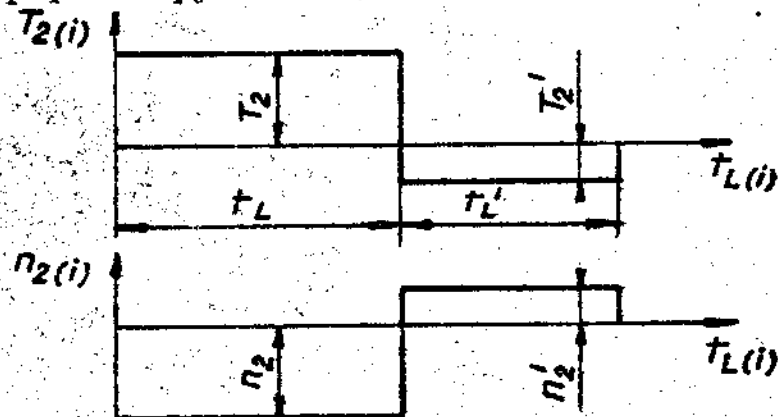
У ведущего колеса 2 момент $T_{2(i)}$ и соответствующая ему частота вращения $n_{2(i)}$ одного знака (черт. 2.1); у ведомого колеса 2 момент $T_{2(i)}$ и соответствующая ему частота вращения $n_{2(i)}$ разного знака (черт. 2.2).

График нагружения ведущего колеса 2



Черт. 2.1

График нагружения ведомого колеса 2



Черт. 2.2

| | | | | |
|-------------|--------------|--------------|--------------|--------------|
| Инв. № подл | Подп. и дата | Взам. инв. № | Инв. № докум | Подл. и дата |
| 486 | 27.01.87 | | | |

Графики, приведенные на черт. 2.1 и 2.2, применимы и к червячным передачам.

2.1.2. При задании момента $T_2(i)$, Н.м, на колесе 2 значение момента $T_1(i)$, Н.м, на шестерне определяют по формулам при ведущем колесе 2

$$T_1(i) = \frac{T_2(i)}{u} \eta ; \quad (2.1)$$

при ведомом колесе 2

$$T_1(i) = \frac{T_2(i)}{u \eta} . \quad (2.2)$$

где η — коэффициент полезного действия (КПД) передачи; при проекторочном расчете принимают $\eta = 0,90 - 0,95$; при проверочном расчете предварительно принимают $\eta = \eta_3$, табл. 2.6.;

u — передаточное число.

2.1.3. Приведенную циклограмму нагружения шестерни получают из ступенчатого графика нагружения (раздел I [25] для цилиндрических передач; раздел I [26] для конических передач), принимая все значения нагрузок положительными (черт. 2.3, 2.4)

В циклограмму нагружения (см. черт. 2.4) не включают малоцикловые и максимальные нагрузки, то есть принимают $T_1(i) = T_i$, где T_i определяют по п. 2.2.2.

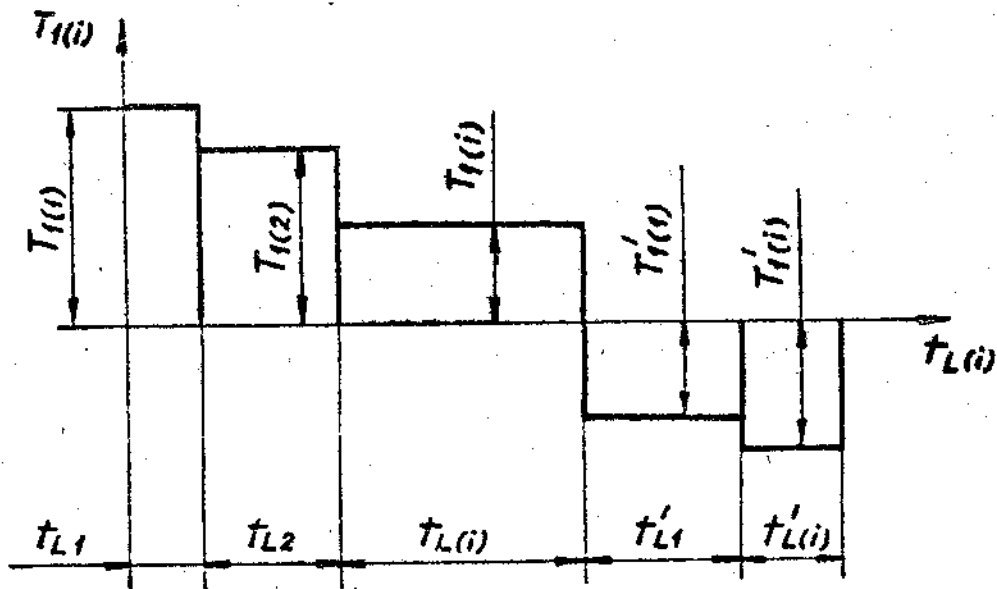
Аналогично строят циклограмму нагружения для колеса.

2.1.4. Примеры расчетов приведены в справочном приложении I.

2.1.5. Рекомендации по оформлению чертежей зубчатых колес приведены в справочном приложении 2.

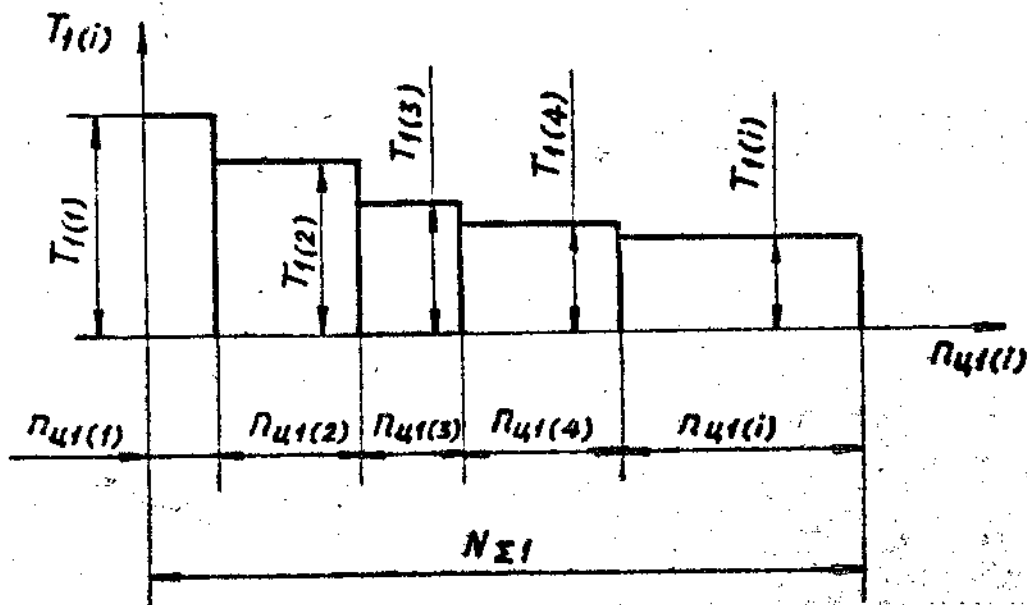
| | | |
|-----|---------------------|--------------|
| 486 | Инв. Инв. Инв. Инв. | Форм. и дата |
| | Полн. и дата | |
| | Удостоверен 2.01.87 | |

График нагружения шестерни



Черт. 2.3.

Приведенная циклограмма нагружения, полученная из графика нагружения шестерни

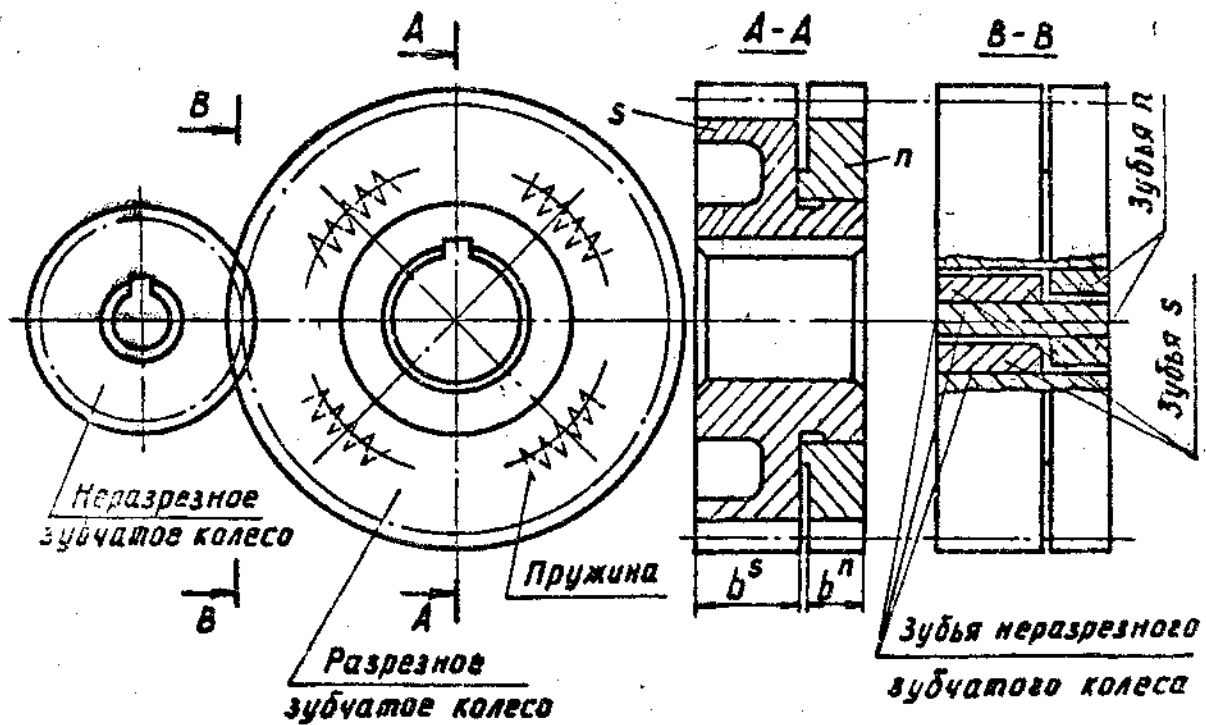


Черт. 2.4.

| | | | | | |
|-------------|--------|--------------|------------|---------------|--------------|
| № документа | Исполн | Полн. и дата | Взам. инв. | Инв. № докум. | Подп. и дата |
| 486 | Шаров | 8.01.87 | | | |

2.2. Цилиндрическая прямозубая передача с разрезным и неразрезным зубчатыми колесами.

2.2.1. Схема беззазорной цилиндрической передачи приведена на черт. 2.5.



n - незакрепленная на валу часть разрезного зубчатого колеса;

s - часть разрезного зубчатого колеса, закрепленная на валу.

Черт. 2.5

| | | | |
|------------|----------------|------------|--------------|
| Инв. №подл | Подп. и дата | Инв. №докл | Подп. и дата |
| 486 | Майков 8.01.87 | | |

2.2.2. Отсутствие люфта обеспечивают пружины, создающие момент $T_{пр}$, Н.м, на разрезном зубчатом колесе, превышающий передаваемый этим зубчатым колесом момент. Момент $T_{пр}$ определяют по формулам

для шестерни

$$T_{пр1} = K_{пр} T_1 ; \quad (2.3)$$

для колеса

$$T_{пр2} = K_{пр} T_2 , \quad (2.4)$$

где $K_{пр}$ - коэффициент надежности выбора бокового зазора, принимают от 1,2 до 1,4 (при проекторочном расчете);

T_1 - наибольшая из исходных расчетных нагрузок в расчете на контактную выносливость T_{1H} , Н.м, и на выносливость при изгибе зуба T_{1F} , Н.м;

Определяют: T_{1H} - по разделу I или рекомендуемому приложению 2 [25] в зависимости от N_{HE1} , рассчитываемого с использованием приведенной циклограммы нагружения;

$$N_{HE1} = \sum_i \left\{ \left[\frac{T_{1(i)}}{T_{1(i)}} \right]^3 R_{ц1(i)} \right\}$$

T_{1F} - по разделу I [25], используя приведенную циклограмму нагружения, или рекомендуемое приложение I [25];

T_2 - нагрузка на колесе, исходя из которой определена нагрузка T_1 . При проверочном расчете

$K_{пр}$ определяют из формулы (2.4)

2.2.3. Термины и обозначения соответствуют [25].

2.2.4. Исходные данные для проекторочного расчета приведены в разделе I [25].

2.2.5. Конструктивные схемы зубчатых колес с внешними и внутренними зубьями приведены в табл. 2.1 и 2.2.

ИВ. ПЛОД. ПОДП. И ДАТА
 ВЗЯМ. ИНВ. ИВ. КЛУБ
 ПОЛП. И ДАТА
 486
 8.01.87

Продолжение табл. 2.1

| Вид пружины | Конструктивная схема |
|----------------|----------------------|
| Пружина сжатия | |

Примечание. Принятые обозначения: **s** – закрепленная на валу часть разрезного зубчатого колеса, **n** – незакрепленная на валу часть разрезного зубчатого колеса.

Таблица 2.2

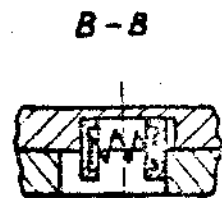
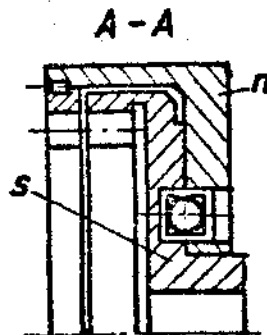
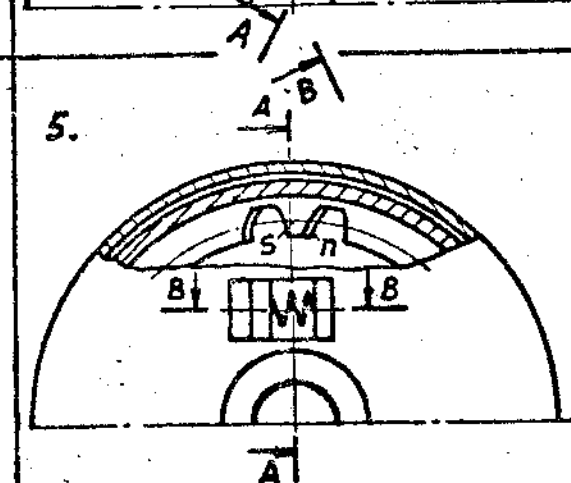
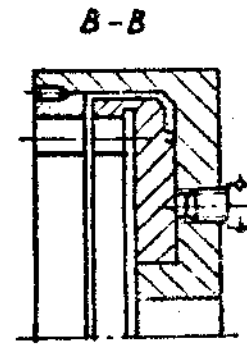
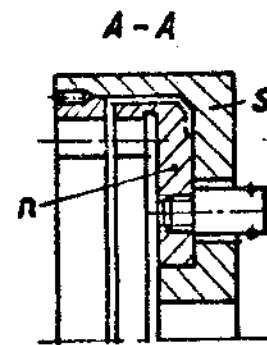
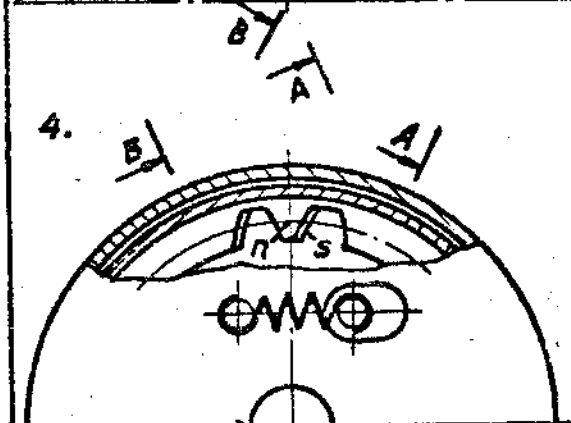
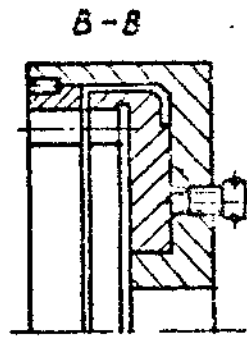
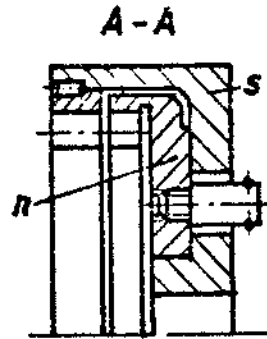
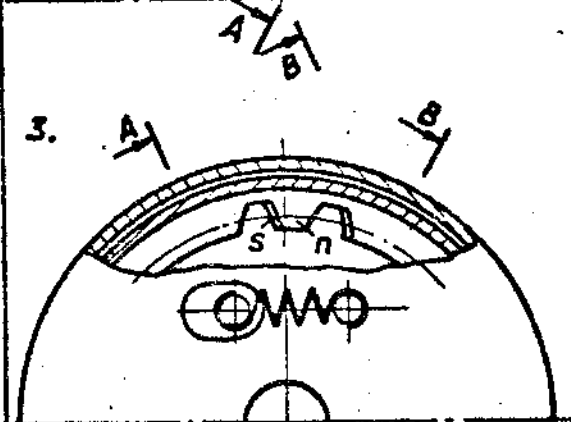
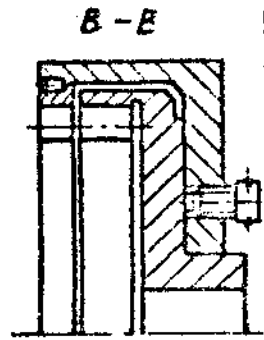
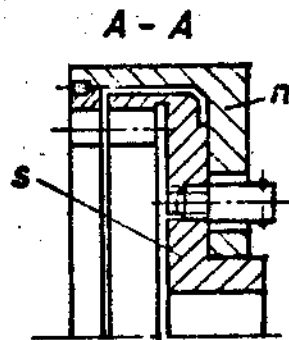
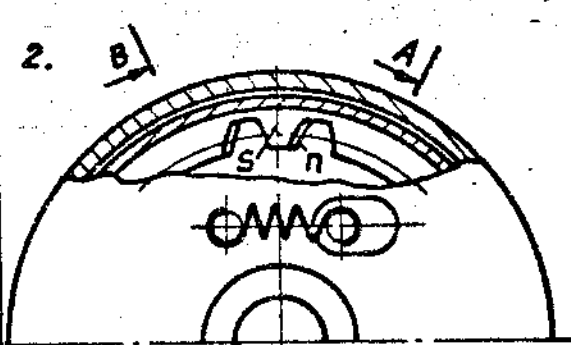
Конструктивные схемы цилиндрического разрезного зубчатого колеса с внутренними зубьями

| Вид пружины | Конструктивная схема |
|--------------------|----------------------|
| Пружина растяжения | |

Инв. № подл. Подп. и дата
 486 27/04/87
 Инв. № инв. Инв. № дусл. Подп. и дата

Вид
пружины

Конструктивная схема



Пружины
сжатия

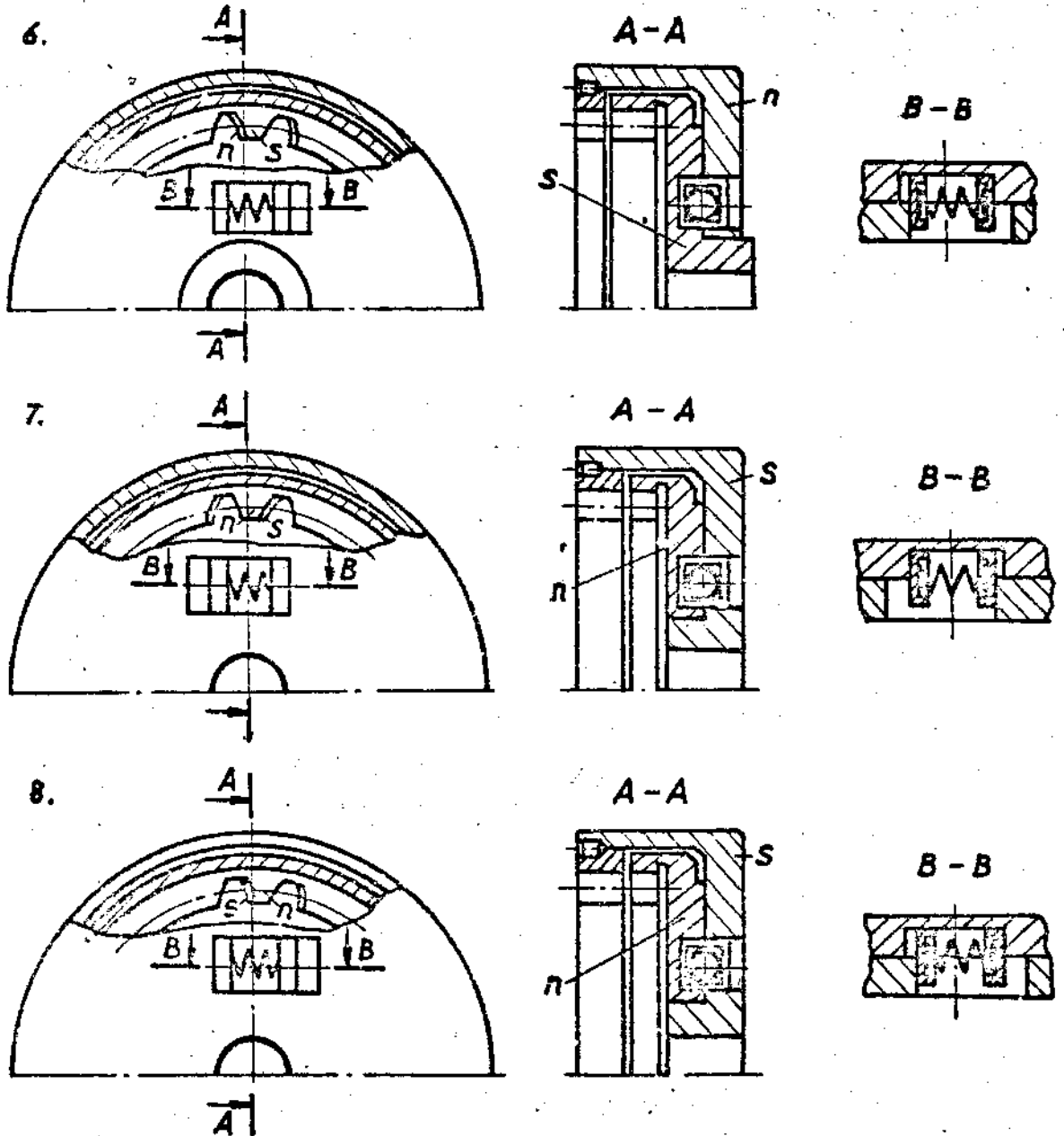
Инв. № подл. Полп. и дата. Взам. инв. №. Инв. № клуб. Полп. и дата.

457

Иванов С.О.1.87

Вид
пружин

Конструктивная схема



Пружины сжатия

Примечание. Принятые обозначения: *s* - закрепленная на валу часть разрезного зубчатого колеса, *n* - незакрепленная на валу часть разрезного зубчатого колеса.

Исполн. Подп. и дата Изм. кн. Числ. вкл. Подп. и дата
486 8.01.87

2.2.6. Проектировочный расчет по контактным напряжениям

2.2.6.1. Исходные данные приведены в табл. 2.3.

Таблица 2.3

| Наименование параметра | Обозначение | Указание |
|---|----------------|--|
| Циклограмма нагружения | - | См. п.2.1.3 |
| Вид передачи | - | Внешнего или внутреннего зацепления |
| Число зубьев шестерни | Z_1 | Принимают $Z_1 \geq Z_{1min}$, где Z_{1min} принимают по разделу 4 [25] |
| Передаточное число | u | - |
| Угол наклона | β | $\beta = 0$ |
| Вспомогательный параметр | ψ_{bd} | $\psi_{bd} \leq \psi_{bdmax}$, где ψ_{bdmax} по разделу I [25] |
| Способ термической или химико-термической обработки шестерни и колеса | - | Цементация, нитроцементация, азотирование, закалка ТВЧ, нормализация и улучшение |
| Твердость поверхностей зубьев (средняя): шестерни колеса | H_1 H_2 | Справочное приложение 4 [25] |
| Шлифование переходной поверхности зуба шестерни и колеса | - | - |

Инв. № докум. 486

Изм. № докум. 8.01.87

Взам. инв. № докум. 8.01.87

Инв. № докум. 486

Изм. № докум. 8.01.87

Продолжение табл. 2.3

| Наименование параметра | Обозначение | Указание |
|--|-------------|---|
| Деформационное упрочнение или электрохимическая обработка переходной поверхности шестерни и колеса | - | - |
| Метод изготовления шестерни и колеса | - | Обкатка исходной производящей рейкой, зуборезным долбяком. Методом деления |
| Расположение опор | - | Расположение опор относительно зубчатых колес, при консольном расположении зубчатого колеса следует указать вид подшипников |
| Разрезное зубчатое колесо | - | Шестерня или колесо |

2.2.6.2. Ориентировочное значение делительного диаметра шестерни d_1 , мм, определяют по формулам:

для передач внешнего зацепления

$$d_1 = 770 \sqrt[3]{\frac{(T_1 + 2T_{np1}) K_{H\beta} u + 1}{\psi_{bd} \sigma_{HP}^2 u}} \quad (2.5)$$

для передач внутреннего зацепления

$$d_1 = 770 \sqrt[3]{\frac{(T_1 + 2T_{np1}) K_{H\beta} u - 1}{\psi_{bd} \sigma_{HP}^2 u}} \quad (2.6)$$

Параметры, входящие в формулы (2.5) и (2.6) определяют по табл. 2.4.

Таблица 2.4

| Наименование параметра | Обозначение | Расчетная формула и указание |
|--|---------------|---|
| 1. Исходная расчетная нагрузка, Н·м | T_1 | Принимают по указаниям в п.2.2.2. |
| 2. Момент от действия пружин, Н·м | $T_{пр1}$ | Определяют по п.2.2.2 |
| 3. Коэффициент, учитывающий распределение нагрузки по ширине венца | K_{HP} | Определяют по разделу 2 [25] |
| 4. Допускаемое контактное напряжение, МПа | σ_{HP} | <p>Для кратковременно работающих передач (передачи группы А) определяют по рекомендуемому приложению 2 [25].</p> <p>Для длительно работающих передач (передачи группы В) в качестве σ_{HP} принимают меньшее значение допускаемых напряжений неразрезного зубчатого колеса (σ_{HP1} или σ_{HP2}) и незакрепленной части разрезного зубчатого колеса (σ_{HP1}^n или σ_{HP2}^n), которые определяют по формулам:</p> <p>для неразрезного зубчатого колеса</p> $\sigma_{HP} = \frac{0,9 \sigma_{Hlimb} K_{HL}}{S_H}$ <p>для незакрепленной части (n) разрезного зубчатого колеса</p> $\sigma_{HP}^n = \frac{0,9 \sigma_{Hlimb}^n K_{HL}^n}{S_H}$ <p>где σ_{Hlimb} определяют по разделу 2 [25]</p> |

Исполн. _____
 Проверил _____
 Дата _____
 Инв. № _____
 Дата _____
 Подпись _____
 486

Продолжение табл. 2.4

| Наименование параметра | Обозначение | Расчетная формула и указание |
|---|-------------|---|
| 4.1. Коэффициент долговечности | K_{HL} | Для кратковременно работающих передач (передачи группы А) определяют по рекомендуемому приложению 2 [25]. Для длительно работающих передач (передачи группы В) определяют по разделу 2 [25] в зависимости от отношения N_{HE} / N_{HO} |
| 4.1.1. Базовое число циклов перемены напряжений, соответствующее длительному пределу выносливости | N_{HO} | Определяют по разделу 2 [25] |
| 4.1.2. Эквивалентное число циклов перемены напряжений | N_{HE} | Определяют по п. 2.2.7.7 |

2.2.6.3. По найденному значению d_1 определяют исходные данные по табл. 2.5 для геометрического расчета по [17] для передач внешнего зацепления или по [19] для передач внутреннего зацепления.

Таблица 2.5

| Наименование параметра | Обозначение | Расчетная формула и указание |
|------------------------|-------------|---|
| Число зубьев колеса | Z_2 | $Z_2 = Z_1 u$ |
| Модуль, мм | m | $m = \frac{d_1}{z_1}$, принимают ближайшее значение по разделу 4 [25] |

Инв. Бюджет 486
 Подп. и дата 01.01.87
 Взам. инв. № 8.01.87
 Инв. Бюджет 486
 Подп. и дата

зубчатых колес расчет на предотвращение глубинного контактного разрушения по п. 2.2.8 ;

проверочный расчет зубьев на выносливость при изгибе по п.2.2.9.

2.2.7. Проверочный расчет на контактную выносливость

2.2.7.1. Расчет служит для предотвращения усталостного выкрашивания активных поверхностей зубьев.

2.2.7.2. Для обеспечения контактной выносливости необходимо выполнить следующие условия:

для неразрезного зубчатого колеса

$$\sigma_H \leq \sigma_{HP} ; \quad (2.8)$$

для закрепляемой на валу части разрезного зубчатого колеса

$$\sigma_H^S \leq \sigma_{HP}^S ; \quad (2.9)$$

для незакрепленной на валу части разрезного зубчатого колеса

$$\sigma_H^N \leq \sigma_{HP}^N . \quad (2.10)$$

2.2.7.3. Расчетное контактное напряжение неразрезного зубчатого колеса σ_H , МПа, определяют по формулам :

для передач внешнего зацепления

$$\sigma_H = \frac{12298 Z_H Z_E}{d_{w1}} \sqrt{\frac{T_{1H} + 2 T_{np1}}{b} \frac{u + 1}{u} K_{H\beta} K_{H\gamma}} ; \quad (2.11)$$

для передач внутреннего зацепления

$$\sigma_H = \frac{12298 Z_H Z_E}{d_{w1}} \sqrt{\frac{T_{1H} + 2 T_{np1}}{b} \frac{u - 1}{u} K_{H\beta} K_{H\gamma}} . \quad (2.12)$$

где b - ширина венца неразрезного зубчатого колеса .

2.2.7.4. Расчетное контактное напряжение части разрезного зубчатого колеса, закрепленной на валу, σ_H^S , МПа, определяют по формулам

Инв. №подл. Подл. и дата Взам. инв. №инв. Инв. №докум. Подл. и дата
485 8.01.87

части разрезного зубчатого колеса, незакрепленной на валу, σ_F^n , МПа, определяют по формуле (2.37), подставляя вместо b ширину венца части разрезного зубчатого колеса, незакрепленной на валу b^n , мм, а вместо F_{TF} подставляют F_{TF}^n .

2.2.9.6. Допускаемое напряжение на переходной поверхности зуба неразрезного зубчатого колеса σ_{FP} , МПа, определяют по формуле

$$\sigma_{FP} = \frac{\sigma_{FLim}}{S_F} Y_S Y_R K_{XF}, \quad (2.41)$$

где σ_{FLim} , Y_S , Y_R , K_{XF} , S_F определяют по разделу 6 [25]; при расчете σ_{FLim} коэффициент, учитывающий влияние двухстороннего приложения нагрузки K_{FC} принимают:

для зубчатых колес из отожженной, нормализованной и улучшенной стали $K_{FC} = 0,65$;

для зубчатых колес с твердостью поверхности зубьев более 45 HRC₉, за исключением азотированных, $K_{FC} = 0,75$;

для азотированных зубчатых колес $K_{FC} = 0,9$;

эквивалентное число циклов перемены напряжений N_{FE} определяют по п.2.2.9.8.

2.2.9.7. Допускаемые напряжения на переходной поверхности зуба разрезного зубчатого колеса σ_{FP}^S и σ_{FP}^n , МПа, определяют по формуле (2.41), принимая $K_{FC} = 1$; N_{FE} определяют по п. 2.2.9.8.

2.2.9.8. Эквивалентное число циклов перемены напряжений N_{FE} определяют по разделу 6 [25] кроме случая для ступенчатой циклограммы нагружения.

Для ступенчатой нагрузки N_{FE} определяют по формулам:

для неразрезного зубчатого колеса

$$N_{FE} = \sum_i \left\{ \left[\frac{T_1(i) + 2T_{np1}}{T_{1F} + 2T_{np1}} \right]^{m_F} n_{\psi(i)} \right\}; \quad (2.42)$$

для части разрезного зубчатого колеса, закрепленной на валу.

Инв. № подл. и дата Взам. инв. № Инв. № подл. и дата
 486 8.01.87

$$N_{FE}^S = \sum_i \left\{ \left[\frac{T_1(i) + T_{np1}}{T_{1F} + T_{np1}} \right]^{m_F} n_{\Sigma(i)} \right\}; \quad (2.43)$$

для части разрезного зубчатого колеса, незакрепленной на валу

$$N_{FE} = \sum_i n_{\Sigma(i)} = N_{\Sigma}. \quad (2.44)$$

При определении N_{FE} допускается исключать из расчета нагрузки (за исключением расчетной), которым соответствуют значения

$$\sigma_{F(i)} < \frac{0,7 \sigma_{FLimb}^0}{S_F} \quad \text{для неразрезного зубчатого колеса};$$

$$\sigma_{F(i)}^S < \frac{0,7 \sigma_{FLimb}^0}{S_F} \quad \text{для закрепляемой на валу части разрезного зубчатого колеса,}$$

где расчетные напряжения на переходной поверхности зуба

$\sigma_{F(i)}$ и $\sigma_{F(i)}^S$, МПа определяют по формулам:

$$\sigma_{F(i)} = \sigma_F \frac{T_1(i) + 2T_{np1}}{T_{1F} + 2T_{np1}}; \quad (2.45)$$

где σ_F по п.2.2.9.3

$$\sigma_{F(i)}^S = \sigma_F^S \frac{T_1(i) + T_{np1}}{T_{1F} + T_{np1}}. \quad (2.46)$$

2.2.9.9. Для кратковременно работающих передач (передачи группы А) допускаемое напряжение на переходной поверхности зуба определяют по рекомендуемому приложению 2 [25].

Значения K_{FC} для неразрезных зубчатых колес принимают по п. 2.2.9.6, для разрезных зубчатых колес - по п. 2.2.9.7.

Для разрезного зубчатого колеса $\sigma_{FP}^S = \sigma_{FP}^n$, если обе части изготовлены из одного материала.

2.2.10. Коэффициент полезного действия

2.2.10.1. Коэффициент полезного действия (КПД) передачи определяют по формуле

$$\eta = \eta_z \eta_n \eta_p. \quad (2.47)$$

| | | | | |
|--------------|---------------|------------|--------------|--------------|
| Имя, Фамилия | Полн. и дата | Взам. инт. | Инв. № докл. | Подп. и дата |
| 486 | Жуков 8.01.87 | | | |

где η_3 - КПД, которым учитывают потери в зацеплении, определяют по табл. 2.6, 2.7;

η_n, η_p определяют по разделу 10 [25]

2.2.10.2. При определении η_p в формулу по определению параметра χ вместо σ_H следует подставлять минимальное значение из σ_H, σ_H^s и σ_H^n .

Таблица 2.6

Определение КПД, которым учитывают потери в зацеплении цилиндрической передачи внешнего зацепления η_3

| Описание | Схема Чертеж | Формула по определению η_3 |
|---|-----------------|---|
| <p>I. Внешний момент $T(i)$ прижимает к неразрезному зубчатому колесу закрепленную на валу часть разрезного зубчатого колеса (т.е. догружает закрепленную на валу часть разрезного зубчатого колеса)</p> | | $\eta_3 = \frac{1}{1 + \psi \left[2 \frac{T_{np2}}{T_2(i)} + 1 \right]}$ <p>где ψ - коэффициент потерь, определяют по формуле</p> $\psi = 2,3 f \left(\frac{1}{z_1} + \frac{1}{z_2} \right),$ <p>где f - коэффициент трения, принимают $f = 0,08 - 0,10$; для открытых передач $f = 0,12 - 0,14$</p> <p>η_3 определяют для каждого участка циклограммы нагружения.</p> |

Инв. № подл. Подп. и дата
 Инв. № подл. Подп. и дата
 Инв. № подл. Подп. и дата
 486
 8.01.87

| Схема | Чертеж | Формула по определению η_3 |
|--|--------|--|
| Описание | Чертеж | Формула по определению η_3 |
| <p>2. Внешний момент $T_{(i)}$ не прижимает к неразрезному зубчатому колесу закрепленную на валу часть разрезного зубчатого колеса (т.е. разгружает закрепленную на валу часть разрезного зубчатого колеса)</p> | | $\eta_3 = \frac{1}{1 + \psi \left[2 \frac{T_{пр2}}{T_{2(i)}} - 1 \right]}$ <p>где ψ - определяют по п. I данной таблицы</p> |

Примечания:

1. Принятые обозначения: *s* - закрепленная на валу часть разрезного зубчатого колеса; *n* - незакрепленная на валу часть разрезного зубчатого колеса.

2. Черт. 1а и 2а соответствуют схемам 1 и 6 (табл.2.1); чертежи 1б и 2б соответствуют схемам 4 и 7 (табл.2.1); черт.1в и 2в соответствуют схемам 2 и 5 (табл.2.1); черт. 1г и 2г соответствуют схемам 3 и 8 (табл.2.1).

Инв. блок Полн. и дата Взам. инв. Инв. кругл Полн. и дата
 486 2008 3.01.87

Таблица 2.7.

Определение КПД, которым учитывают потери в зацеплении цилиндрической передачи внутреннего зацепления η_3

| Схема | | Формула по определению η_3 |
|---|-----------|---|
| Описание | Чертеж | |
| <p>I. Внешний момент $T(i)$ прижимает к неразрезному зубчатому колесу закрепленную на валу часть разрезного зубчатого колеса (т.е. догружает закрепленную на валу часть разрезного зубчатого колеса)</p> | <p>1a</p> | $\eta_3 = \frac{1}{1 + \psi \left[\frac{T_{np2}}{T_2(i)} + 1 \right]}$ <p>где ψ - коэффициент потерь, определяют по формуле</p> $\psi = 2,3 f \left(\frac{1}{z_1} - \frac{1}{z_2} \right),$ <p>f - по табл. 2.6, п. I.</p> |
| | <p>1б</p> | |
| | <p>1в</p> | |
| | <p>1г</p> | |

Инв. № подл. Подп. и дата Взам. инв. № Инв. № подл. Подп. и дата
 486 8.01.87

Продолжение табл. 2.7.

| Описание | Схема Чертеж | Формула по определению η_s |
|--|-----------------|---|
| <p>2. Внешний момент $T(i)$ не прижимает к неразрезному зубчатому колесу закрепленную на валу часть разрезного зубчатого колеса (т.е. разгружает закрепленную на валу часть разрезного зубчатого колеса)</p> | | $\eta_s = \frac{1}{1 + \psi \left[2 \frac{T_{np2}}{T_2(i)} - 1 \right]}$ <p>где ψ определяют по п. 1 данной таблицы.</p> |

Примечания:

1. Принятые обозначения: *S* - закрепленная на валу часть разрезного зубчатого колеса; *n* - незакрепленная на валу часть разрезного зубчатого колеса.

2. Черт. 1а и 2а соответствуют схемам 1 и 6 (табл.2.2); черт. 1б и 2б соответствуют схемам 4 и 7 (табл.2.2); черт. 1в и 2в соответствуют схемам 2 и 5 (табл.2.2); черт. 1г и 2г соответствуют схемам 3 и 8 (табл.2.2)

| | | | | |
|-------------|---------------|------------|-------------|--------------|
| Инд. исполл | Полн. и дата | Взам. иншп | Инд. исполл | Полн. и дата |
| 456 | Мавин 6.01.87 | | | |

2.3. Коническая прямозубая передача с разрезным и неразрезным зубчатыми колесами

2.3.1. Схема беззазорной конической передачи приведена на черт. 2.6.

2.3.2. Отсутствие люфта обеспечивают пружины, создающие момент $T_{пр}$, Н.м, на разрезном зубчатом колесе, превышающий передаваемый этим зубчатым колесом момент. $T_{пр}$, Н.м, определяют по формулам:

для шестерни

$$T_{пр1} = K_{пр} T_1 ; \quad (2.48)$$

для колеса

$$T_{пр2} = K_{пр} T_2 , \quad (2.49)$$

где $K_{пр}$ - коэффициент надежности выбора бокового зазора принимают от 1,2 до 1,4 (при проекторочном расчете)

T_1 - для передач группы В наибольшая из исходных расчетных нагрузок при расчете на контактную выносливость T_{1H} и на выносливость при изгибе T_{1F} ; T_{1H} и T_{1F} определяют по разделу I [26]; для передач группы А исходная расчетная нагрузка при расчете на контактную выносливость и на выносливость при изгибе зуба T_1 , определяют по обязательному приложению 3 [26].

T_2 - нагрузка на колесе, исходя из которой определена нагрузка T_1 .

При проверочном расчете $K_{пр}$ определяют из формулы (2.49).

2.3.3. Указания к построению циклограмм нагружения приведены в п.2.1.3.

2.3.4. Термины и обозначения соответствуют [26].

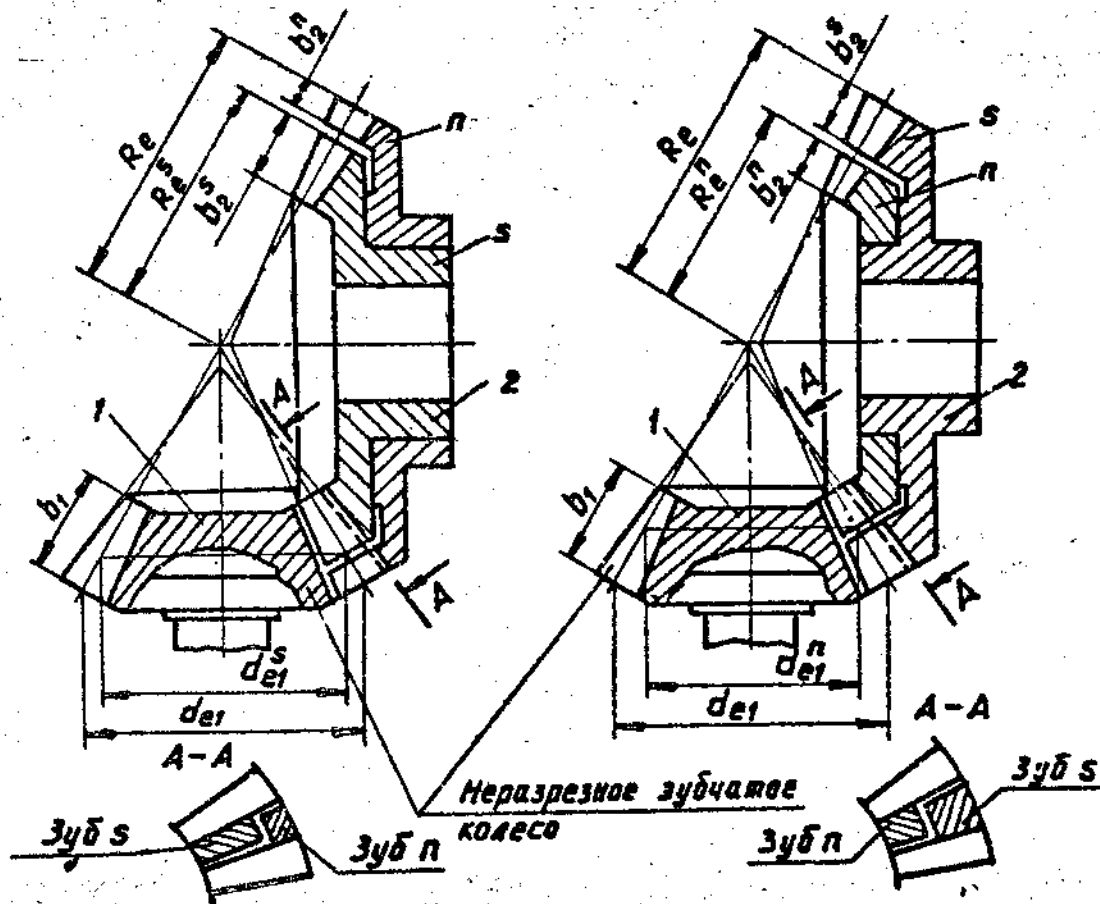
2.3.5. Исходные данные для проверочного расчета приведены в разделе I [26].

2.3.6. Конструктивные схемы конического разрезного зубчатого колеса приведены в табл. 2.8.

Инв. №подл. Подл. и дата
Взам. инв. № Инв. №дусл. Подл. и дата

486
2000.01.27

Схема беззазорной конической передачи



1 - шестерня ;

2 - колесо ;

s - часть разрезного зубчатого колеса, закрепленная на валу ;

n - часть разрезного зубчатого колеса, незакрепленная на валу

Черт.2.6

| | | | | |
|---------|--------------|-------------|-------------|--------------|
| Исполн. | Прош. и дата | Взам. иншп. | Инв. №доул. | Подп. и дата |
| 486 | 27.08.86 | | | |

Таблица 2-8

Конструктивные схемы конического разрезного зубчатого колеса

| Вид пружины | Конструктивная схема |
|--------------------|----------------------|
| Пружина растяжения | |
| | |
| | |
| | |
| Пружина сжатия | |
| | |

Инв. 10011 Колл. и Лета Взам. Инв. Инв. Колл. Подп. и Дата
 486 10.08.87 01.87

Продолжение табл.2.8

| Вид пружины | Конструктивная схема |
|----------------|----------------------|
| Пружина сжатия | |

Примечание. Принятые обозначения : S - часть разрезного зубчатого колеса, закрепленная на валу ; n - часть разрезного зубчатого колеса, незакрепленная на валу.

2.3.7. Проектировочный расчет на контактную выносливость передач группы А и передач ручного привода.

2.3.7.1. Исходные данные приведены в табл.2.9.

| | |
|-------------|--------------------------|
| Инд. испол. | Подл. и дата |
| Взам. инв. | Инд. испол. |
| 486 | Подл. и дата 21.08.81 |

Таблица 2.9.

Исходные данные для проекторочного расчета

| Наименование параметра | Обозначение | Указание |
|--|--|---|
| Разрезной элемент передачи | - | Шестерня или колесо |
| Циклограмма нагружения | - | п.2.1.3. |
| Число зубьев шестерни | Z_1 | Рекомендуется принимать $Z_1 \geq 17$ |
| Передаточное число | u | - |
| ... " Межосевой угол, ...°, ...' | Σ | - |
| Расположение опор | - | - |
| Твердость поверхности зубьев (средняя) : шестерни колеса | H_1 H_2 | Справочное приложение 4 [26] |
| Твердость сердцевины зубьев: шестерни колеса | $H_{1 \text{ сердц}}$ $H_{2 \text{ сердц}}$ | Для азотированных, цементированных и нитроцементированных зубчатых колес. Справочное приложение 4 [26] |
| Температура смазочного масла, °С | t_m | - |
| Частота вращения при действии расчетной нагрузки, об/мин : шестерни колеса | n_1 n_2 | - |

| | | | | |
|--------|----------------|--------------|--------|--------------|
| Изм. № | Подп. и дата | Взам. инв. № | Ивр. № | Подп. и дата |
| 486 | Мавлюв 8.01.87 | | | |

Продолжение табл. 2.9.

| Наименование параметра | Обозначение | Указание |
|--|--------------|---|
| Угол профиля исходного контура, ... ° | α_n | - |
| Способ упрочняющей обработки : шестерни колеса | - - | Улучшение, азотирование, цементация, поверхностная закалка и нитроцементация |
| Средний угол наклона зуба , ... ° , ... ' , ... " | β_n | Для передач с круговыми равновысокими зубьями $\beta_n = 35^\circ$ |
| Внешний угол наклона, ... ° , ... ' , ... " | β_{ne} | Принимает предварительно $\beta_{ne} = 30^\circ$ (для зубчатых колес с тангенциальными зубьями) |

2.3.7.2. Ориентировочное значение внешнего делительного диаметра шестерни d'_{ei} , мм, определяют по формуле

$$d'_{ei} = 1024 \sqrt[3]{\frac{(T_1 + 2T_{npt}) K_{H\beta} \sin \Sigma}{(1 - K_{\beta e}) K_{\beta e} \sigma_{HP}^2}}, \quad (2.50)$$

где T_1 , $K_{H\beta}$, $K_{\beta e}$, σ_{HP} определяют по обязательному приложению 3 [26]

T_{npt} - по п. 2.3.2.

2.3.7.3. По найденному значению диаметра d'_{ei} проводят расчет с целью определения окружного модуля m_e по методике проекторного расчета по контактным напряжениям в обязательном приложении 3 [26], учитывая, что

$$K_{H\beta} = 1 + \frac{W_{H\beta} b' d'_i}{10000 (T_1 + 2T_{npt})} \quad (2.51)$$

2.3.7.4. Проводят геометрический расчет по [20].

Значения ширины венца закрепленной и незакрепленной частей зубчатого

| | |
|-------------|---------------|
| Име. испол. | Подп. и дата |
| 486 | Ильин 8.01.87 |

венца разрезного зубчатого колеса определяют по табл. 2.10.

Таблица 2.10

Определение значений

b^n, b^s , мм

| Расположение частей разрезного зубчатого колеса | Формула по определению | |
|--|--|--|
| | b^n | b^s |
| Незакрепляемая на валу часть находится у внешнего дополнительного конуса | $b^n = \frac{0,74 K_{np} b}{1 + 2 K_{np}}$ | $b^s = b - b^n$ |
| Закрепляемая на валу часть находится у внешнего дополнительного конуса | $b^n = b - b^s$ | $b^s = 0,83 b \frac{1 + K_{np}}{1 + 2 K_{np}}$ |

2.3.7.5. После геометрического расчета проводят проверочные расчеты по контактным и изгибным напряжениям, пп. 2.3.9, 2.3.11 соответственно; для азотированных, цементированных и нитроцементированных зубчатых колес следует дополнительно провести расчет по п.2.3.10.

2.3.8. Проектировочный расчет по контактным напряжениям передач группы В.

2.3.8.1. Исходные данные приведены в табл. 2.9.

2.3.8.2. Ориентировочное значение внешнего делительного диаметра шестерни d'_{e1} , мм, определяют по формуле:

$$d'_{e1} = \sqrt[3]{\frac{5000 (T_{1H} + 2T_{np1}) K_{\beta} \sin \delta_1}{K'_{be}} \left(\frac{Z_H Z_M}{\sigma'_{HP}} \right)^2}, \quad (2.52)$$

где K_{β}, Z_H, Z_M определяют по разделу 2 [26]

δ', K'_{be} - по разделу 6 [26]

$T_{1H}, T_{np1}, \sigma'_{HP}$ - по табл. 2.11

Ив. Юпитр Подп. и дата
Ив. Юпитр Ив. Юпитр
Взв. кг/м³
Подп. и дата
486 22.04.87

Таблица 2. II

| Наименование параметра | Обозначение | Расчетная формула и указание |
|--|---------------|---|
| Исходная расчетная нагрузка, Н.м | T_{IH} | Определяют по разделу I [26] |
| Момент от действия пружин | T_{prt} | Определяют по п. 2.3.2 |
| Допускаемое контактное напряжение, МПа | σ_{HP} | <p>Принимают меньшее из двух значений допускаемых контактных напряжений неразрезного зубчатого колеса (σ_{HP1} или σ_{HP2}) и незакрепленной на валу части разрезного зубчатого колеса (σ_{HP1}^n или σ_{HP2}^n), которые определяют по формулам:</p> <p>для неразрезного зубчатого колеса</p> $\sigma_{HP} = \frac{0,9 \sigma_{Hlimb}^0 K_{HL}}{S_H},$ <p>для незакрепленной части (n) разрезного зубчатого колеса</p> $\sigma_{HP}^n = \frac{0,9 \sigma_{Hlimb}^0 K_{HL}^n}{S_H},$ <p>где σ_{Hlimb}^0, K_{HL} определяют по разделу 2 [26], причем K_{HL} определяют в зависимости от N_{HE}, определяемого по формулам в п.2.3.9.4.</p> |

2.3.8.3. По найденному значению диаметра d_{e1}' проводят расчет с целью определения окружного модуля m_e по разделу 6 [26]

2.3.8.4. Проводят геометрический расчет по [20]. Значение ширины венца закрепленной и незакрепленной частей зубчатого венца

Исп. № _____
 Подп. и дата _____
 Инг. Едубет Исмаилов
 20.11.87
 486

разрезного зубчатого колеса и других геометрических параметров, необходимых для проверочного расчета определяют по табл. 2.12.

Таблица 2.12

| Расположение частей разрезного зубчатого колеса | Обозначение | Незакрепленная на валу часть разрезного зубчатого колеса | Закрепленная на валу часть разрезного зубчатого колеса |
|--|----------------------|--|--|
| | | Формула по определению | |
| Незакрепленная на валу часть находится у внешнего дополнительного конуса | $b^n; b^s$ | $b^n = \frac{K_{np}}{1 + 2K_{np}} b$ | $b^s = b - b^n$ |
| | d_{e1}^s | - | $d_{e1}^s = d_{e1} \frac{R_e - b^n}{R_e}$ |
| | m_e^s | - | $m_e^s = \frac{d_{e1}^s}{z_1}$ |
| | $K_{be}^n; K_{be}^s$ | $K_{be}^n = \frac{b^n}{R_e}$ | $K_{be}^s = \frac{b^s}{R_e - b^n}$ |
| Закрепленная на валу часть находится у внешнего дополнительного конуса | $b^n; b^s$ | $b^n = b - b^s$ | $b^s = \frac{1 + K_{np}}{1 + 2K_{np}} b$ |
| | d_{e1}^n | $d_{e1}^n = d_{e1} \frac{R_e - b^s}{R_e}$ | - |
| | m_e^n | $m_e^n = \frac{d_{e1}^n}{z_1}$ | - |
| | $K_{be}^n; K_{be}^s$ | $K_{be}^n = \frac{b^n}{R_e - b^s}$ | $K_{be}^s = \frac{b^s}{R_e}$ |

Инв. №подл. Подп. и дата. 486
 Инв. №дусл. Инв. №вн. Инв. №вн. Инв. №вн. Подп. и дата. 21.01.87

2.3.8.5. После геометрического расчета проводят проверочные расчеты по контактным и изгибным напряжениям, пп.2.3.9, 2.3.II соответственно; для азотированных, цементированных и нитроцементированных зубчатых колес следует дополнительно провести расчет по п.2.3.I0

2.3.9. Проверочный расчет на контактную выносливость

2.3.9.1. Расчет служит для предотвращения усталостного выкрашивания активных поверхностей зубьев.

2.3.9.2. Для обеспечения контактной выносливости необходимо выполнить следующие условия

для неразрезного зубчатого колеса

$$\sigma_H \leq \sigma_{HP} ; \quad (2.53)$$

для закрепленной на валу части разрезного зубчатого

колеса

$$\sigma_H^S \leq \sigma_{HP}^S ; \quad (2.54)$$

для незакрепленной на валу части разрезного зубчатого

колеса

$$\sigma_H^n \leq \sigma_{HP}^n . \quad (2.55)$$

2.3.9.3. Расчетное контактное напряжение неразрезного зубчатого колеса σ_H , МПа, и обеих частей разрезного зубчатого колеса σ_H^S и σ_H^n , МПа, определяют по табл.2.13.

2.3.9.4. Допускаемое контактное напряжение, МПа,

принимает :

для неразрезного зубчатого колеса

$$\sigma_{HP} = \min(\sigma_{HP} ; \sigma_{HP}^S ; \sigma_{HP}^n) ; \quad (2.56)$$

для части разрезного зубчатого колеса, закрепленной

на валу

$$\sigma_{HP}^S = \min(\sigma_{HP} ; \sigma_{HP}^S) ; \quad (2.57)$$

для части разрезного зубчатого колеса, незакрепленной

на валу

$$\sigma_{HP}^n = \min(\sigma_{HP} ; \sigma_{HP}^n) . \quad (2.58)$$

| | | | | | |
|--------|--------|--------------|------------|--------|--------------|
| Изм. № | Исполн | Подп. и дата | Взам. инжл | Исполн | Подп. и дата |
| 486 | | | | | |

где значения σ_{HP} , σ_{HP}^S , σ_{HP}^n , заключенные в скобках, определяют по формуле:

для передач группы В

$$\sigma_{HP} = \frac{\sigma_{HLimb}^D}{S_H} K_{HL} Z_R K_f,$$

где σ_{HLimb} , K_{HL} , Z_R , K_f , S_H определяют по разделу 2 [26]; при определении K_{HL} следует учитывать, что эквивалентное число циклов перемены напряжений N_{HE} для ступенчатой нагрузки из приведенной циклограммы (если $n_{ц(i)} < N_{HO}$) определяют по формулам:

для неразрезного зубчатого колеса

$$N_{HE} = \sum_i \left\{ \left[\frac{T_1(i) + 2T_{np1}}{T_{1H} + 2T_{np1}} \right]^6 n_{ц(i)} \right\}; \quad (2.59)$$

для части разрезного зубчатого колеса, закрепленной на валу

$$N_{HE}^S = \sum_i \left\{ \left[\frac{T_1(i) + T_{np1}}{T_{1H} + T_{np1}} \right]^6 n_{ц(i)} \right\}; \quad (2.60)$$

для части разрезного зубчатого колеса, незакрепленной на валу

$$N_{HE}^n = \sum_i n_{ц(i)} = N_{\Sigma}. \quad (2.61)$$

При $n_{ц1(i)} > N_{HO1}$ и $n_{ц2(i)} > N_{HO2}$ N_{HE} и σ_{HP} для неразрезного зубчатого колеса не рассчитывают; $\sigma_{HP}^n = \sigma_{HP}^S$, при их расчете принимают $K_{HL} = 1$.

Для передач группы А значения σ_{HP} , σ_{HP}^S , σ_{HP}^n определяют по обязательному приложению 3 [26]

Ив.Иподл Подп. и дата
486
Ив.Иподл Подп. и дата
486
Взам.инж.Ив.Иподл Подп. и дата
Ив.Иподл Подп. и дата
486

Формулы по определению расчетных контактных напряжений, МПа

| Расположение частей разрезного зубчатого колеса | Обозначение | Передача группы | |
|--|--------------|---|---|
| | | A | B |
| Закрепленная на валу часть находится у внешнего дополнительного конуса | σ_H | $\sigma_H = 32560 \sqrt{\frac{(T_1 + 2T_{пр1}) K_{H\beta} K_{H\gamma} \sin \Sigma}{(1 - K_{be}) K_{be} d_{el}^3 U}}$ | $\sigma_H = \frac{Z_H Z_M}{d_{el}} \sqrt{\frac{2000(T_1 + 2T_{пр1}) K_{\gamma} K_{\beta}}{b}}$ |
| | σ_H^s | $\sigma_H^s = 32560 \sqrt{\frac{(T_1 + T_{пр1}) K_{H\beta} K_{H\gamma} \sin \Sigma}{(1 - K_{be}^s) K_{be}^s d_{el}^3 U}}$ | $\sigma_H^s = \frac{Z_H Z_M}{d_{el}} \sqrt{\frac{2000(T_1 + T_{пр1}) K_{\gamma} K_{\beta}}{b^s}}$ |
| | σ_H^n | $\sigma_H^n = 32560 \sqrt{\frac{T_{пр1} K_{H\beta} K_{H\gamma} \sin \Sigma}{(1 - K_{be}^n) K_{be}^n (d_{el}^n)^3 U}}$ | $\sigma_H^n = \frac{Z_H Z_M}{d_{el}^n} \sqrt{\frac{2000 T_{пр1} K_{\gamma} K_{\beta}}{b^n}}$ |
| Незакрепленная на валу часть находится у внешнего дополнительного конуса | σ_H | $\sigma_H = 32560 \sqrt{\frac{(T_1 + 2T_{пр1}) K_{H\beta} K_{H\gamma} \sin \Sigma}{(1 - K_{be}) K_{be} d_{el}^3 U}}$ | $\sigma_H = \frac{Z_H Z_M}{d_{el}} \sqrt{\frac{2000(T_1 + 2T_{пр1}) K_{\gamma} K_{\beta}}{b}}$ |
| | σ_H^s | $\sigma_H^s = 32560 \sqrt{\frac{(T_1 + T_{пр1}) K_{H\beta} K_{H\gamma} \sin \Sigma}{(1 - K_{be}^s) K_{be}^s (d_{el}^s)^3 U}}$ | $\sigma_H^s = \frac{Z_H Z_M}{d_{el}^s} \sqrt{\frac{2000(T_1 + T_{пр1}) K_{\gamma} K_{\beta}}{b^s}}$ |
| | σ_H^n | $\sigma_H^n = 32560 \sqrt{\frac{T_{пр1} K_{H\beta} K_{H\gamma} \sin \Sigma}{(1 - K_{be}^n) K_{be}^n d_{el}^3 U}}$ | $\sigma_H^n = \frac{Z_H Z_M}{d_{el}} \sqrt{\frac{2000 T_{пр1} K_{\gamma} K_{\beta}}{b^n}}$ |

Формат А4

| | | | | |
|------------|---------------|-----------|------------|--------------|
| Имп. Янонл | Подп. и дата | Взв. инвз | Имп. Янонл | Подп. и дата |
| 486 | Мавис 8.01.87 | | | |

Примечания:

1. Параметры T_1 , $T_{пр1}$ определяют по п. 2.3.2.
2. Параметры κ_{be}^s , d_{e1}^s , κ_{be}^n , d_{e1}^n , b^s , b^n определяют по табл. 2.II.
3. Параметры $\kappa_{H\beta}$, $\kappa_{H\alpha}$ определяют по табл. 2.I0; κ_{HV} - по обязательному приложению 3 [26], причем при расчете κ_{HV} в формулу вместо T_1 подставляют $(T_1 + 2T_{пр1})$; Z_H , Z_M , K_V , K_β по разделу 2 [26].

2.3.I0. Расчет на предотвращение глубинного контактного разрушения азотированных, цементированных и нитроцементированных зубчатых колес

2.3.I0.I. Для предотвращения глубинного контактного разрушения необходимо выполнить условия:

для неразрезного зубчатого колеса

$$c \sigma_H \leq \sigma_{Hrgl}; \quad (2.62)$$

для части разрезного зубчатого колеса, закрепленной на валу

$$c \sigma_H^s \leq \sigma_{Hrgl}; \quad (2.63)$$

для части разрезного зубчатого колеса, незакрепленной на валу

$$c \sigma_H^n \leq \sigma_{Hrgl}, \quad (2.64)$$

где σ_H , σ_H^s , σ_H^n определяют по табл. 2.I3,

c определяют по разделу 7 [26], причем в формулу по определению κ_w следует для частей разрезного зубчатого колеса, закрепленной на валу, вместо σ_H подставлять σ_H^s , незакрепленной на валу вместо σ_H подставлять σ_H^n ; в формулу по определению σ_w вместо κ_{be} следует подставлять κ_{be}^s для закрепленной на валу части, κ_{be}^n для незакрепленной на валу части;

σ_{Hrgl} определяют по разделу 7 [26], причем эквивалентное число циклов перемены напряжений N_{Ergl} для ступенчатой нагрузки в передачах группы В определяют по формулам:

Инв. № подл. Подп. и дата. Взам. инв. №. Инв. № подл. Подп. и дата.

485

Март 8.01.87

N_{FE} для передач группы В следует рассчитать по п.2.3.II.6.

При $\pi_{\psi 1(i)} > N_{F01}$ и $\pi_{\psi 2(i)} > N_{F02}$ N_{FE} , N_{FE}^S и N_{FE}^n не рассчитывают, принимая $K_{FL1} = K_{FL2} = 1$.

2.3.II.5. Допускаемые напряжения на переходной поверхности зуба разрезного зубчатого колеса σ_{FR}^S и σ_{FR}^n , МПа, определяют для передач группы В по разделу 4 [26], принимая коэффициент, учитывающий влияние двухстороннего приложения нагрузки, $\eta = 1$ и рассчитав N_{FE} по п.2.3.II.6.; для передач группы А и ручного привода по обязательному приложению 3 [26], принимая $K_{FC} = 1$.

2.3.II.6. Эквивалентное число циклов перемены напряжений N_{FE} определяют по разделу 4 [26], кроме случая для ступенчатой циклограммы нагружения.

Для ступенчатой нагрузки N_{FE} определяют по формулам:

для неразрезного зубчатого колеса

$$N_{FE} = \sum_i \left\{ \left[\frac{T_1(i) + 2T_{пр1}}{T_{1F} + 2T_{пр1}} \right]^6 \pi_{\psi(i)} \right\}; \quad (2.70)$$

для части разрезного зубчатого колеса, закрепленной на валу

$$N_{FE}^S = \sum_i \left\{ \left[\frac{T_1(i) + T_{пр1}}{T_{1F} + T_{пр1}} \right]^6 \pi_{\psi(i)} \right\}; \quad (2.71)$$

для части разрезного зубчатого колеса, незакрепленной на валу

$$N_{FE}^n = \sum_i \pi_{\psi(i)} = N_{\Sigma} \quad (2.72)$$

Изм. подл. Госпл. и дата введ. в действие. Изм. вступ. в силу. Дата

486

Изм. № 2 от 01.87

Таблица 2.14

Формулы по определению расчетных напряжений изгиба на переходной поверхности зуба, МПа, при проверочном расчете

Стр. 44
ОСТ 92-0096-86

| Расположение частей разрезного зубчатого колеса | Обозначение | Передача группы | |
|--|--------------|---|---|
| | | A | B |
| Закрепленная на валу часть находится у внешнего дополнительного конуса | σ_F | $\sigma_F = \frac{2260(T_1 + 2T_{np1}) K_{FB} K_{FV} Y_F}{b d_{el} m_{te} (1 - K_{be})}$ | $\sigma_F = \frac{2000(T_{1F} + 2T_{np1}) K_V K_B K_X Y_F}{b d_{el} m_{te}}$ |
| | σ_F^s | $\sigma_F^s = \frac{2260(T_1 + T_{np1}) K_{FB} K_{FV} Y_F}{b^s d_{el}^s m_{te}^s (1 - K_{be}^s)}$ | $\sigma_F^s = \frac{2000(T_{1F} + T_{np1}) K_V K_B K_X Y_F}{b^s d_{el}^s m_{te}^s}$ |
| | σ_F^n | $\sigma_F^n = \frac{2260 T_{np1} K_{FB} K_{FV} Y_F}{b^n d_{el}^n m_{te}^n (1 - K_{be}^n)}$ | $\sigma_F^n = \frac{2000 T_{np1} K_V K_B K_X Y_F}{b^n d_{el}^n m_{te}^n}$ |
| Незакрепленная на валу часть находится у внешнего дополнительного конуса | σ_F | $\sigma_F = \frac{2260(T_1 + 2T_{np1}) K_{FB} K_{FV} Y_F}{b d_{el} m_{te} (1 - K_{be})}$ | $\sigma_F = \frac{2000(T_{1F} + 2T_{np1}) K_V K_B K_X Y_F}{b d_{el} m_{te}}$ |
| | σ_F^s | $\sigma_F^s = \frac{2260(T_1 + T_{np1}) K_{FB} K_{FV} Y_F}{b^s d_{el}^s m_{te}^s (1 - K_{be}^s)}$ | $\sigma_F^s = \frac{2000(T_{1F} + T_{np1}) K_V K_B K_X Y_F}{b^s d_{el}^s m_{te}^s}$ |
| | σ_F^n | $\sigma_F^n = \frac{2260 T_{np1} K_{FB} K_{FV} Y_F}{b^n d_{el} m_{te} (1 - K_{be}^n)}$ | $\sigma_F^n = \frac{2000 T_{np1} K_V K_B K_X Y_F}{b^n d_{el} m_{te}}$ |

Формат А4

| | | | | | | |
|---------------|----------------|------------|--------|------|---------|------|
| Инв. № докум. | Подп. и дата | Взам. инв. | Изм. № | Лист | Исполн. | Дата |
| 486 | В.И.С. 8.01.87 | | | | | |

Примечания:

1. Параметры T_1 , $T_{пр1}$ определяют по п.2.3.2.

2. Параметры K_{FB} , K_{FV} , Y_F определяют по обязательному приложению 3 [26] для передач группы А, причем при расчете K_{FV} в формулу вместо T_1 , подставляют $(T_1 + 2T_{пр1})$.

3. Параметры K_V , K_B , Y_F для передач группы В определяют по разделу 4 [26].

4. Параметры K_{be}^s , d_{e1}^s , b^s , K_{be}^n , d_{e1}^n , b^n определяют по табл.2.12.

2.3.12. Коэффициент полезного действия

2.3.12.1. Коэффициент полезного действия (КПД) передачи определяют по формуле

$$\eta = \eta_3 \eta_n \eta_p, \quad (2.73)$$

где η_3 - КПД, которым учитывают потери в зацеплении, определяют по табл.2.15;

η_n ; η_p определяют по разделу 8 [26]

2.3.12.2. При определении η_p в формулу по определению параметра x вместо σ_H следует подставлять минимальное значение из σ_H ; σ_H^s и σ_H^n .

| | | | |
|--------|---------------|--------|--------------|
| Изм. № | Подп. и дата | Изм. № | Подп. и дата |
| 486 | Игорь 8.01.87 | | |

Определение КПД, которым учитываются потери в зацеплении η_3

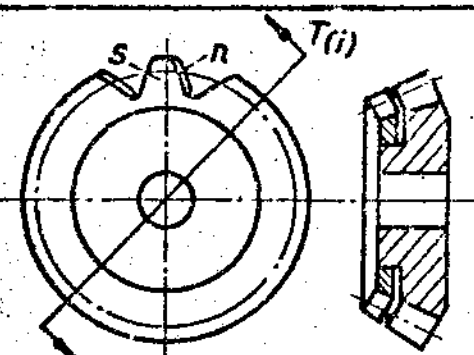
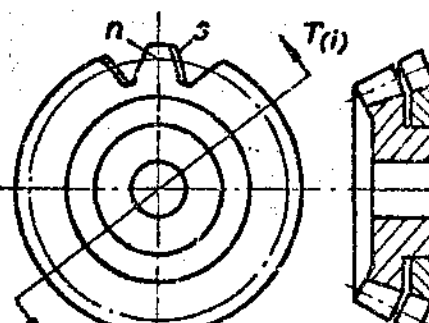
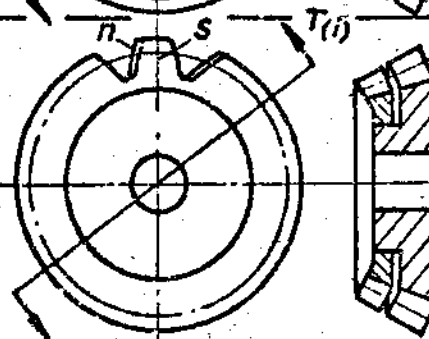
| Действие момента | | Номер черт. по табл. 2.8 | Формула по определению η_3 |
|--|-------|--------------------------|---|
| Описание | Схема | | |
| <p>I. Внешний момент $T_{(i)}$ прижимает к неразрезному зубчатому колесу закрепленную на валу часть разрезного зубчатого колеса (т.е. догружает закрепленную на валу часть разрезного зубчатого колеса)</p> | | 1 и 6 | $\eta_3 = \frac{1}{1 + \psi \left(2 \frac{T_{np2}}{T_{2(i)}} + 1 \right)}$ <p>где ψ - коэффициент потерь, определяют по формуле</p> $\psi = 3,7f \left(\frac{\cos \delta_1}{z_1} + \frac{\cos \delta_2}{z_2} \right),$ <p>где f - коэффициент трения, принимают $f = 0,10-0,12$;</p> <p>η_3 определяют для каждого участка циклограммы нагружения</p> |
| | | 4 и 7 | |
| | | 2 и 5 | |

ФОРМАТ А4

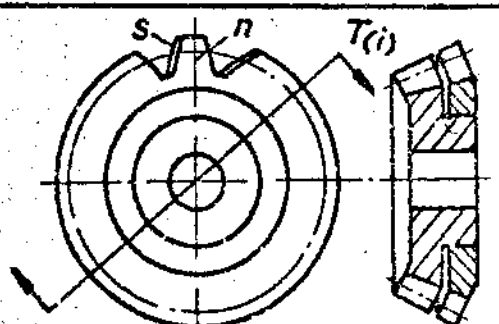
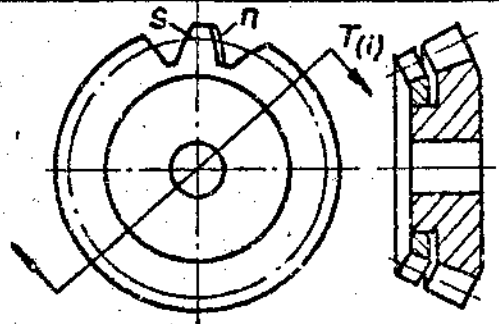
| | | | | | |
|--------|---------|---------|--------------|--------------|--------------|
| Изм. № | Исполн. | Дата | Взам. инв. № | Изм. № дубл. | Подп. и дата |
| 456 | Жаков | 8.01.87 | | | |

| | | | | |
|---------------|----------------|--------------|---------------|--------------|
| Инд. № докум. | Подп. и дата | Взам. инв. № | Инд. № докум. | Подп. и дата |
| 486 | Уралов 8.01.87 | | | |

Продолжение табл. 2.15

| Действие момента | | Номер черт. по табл. 2.8 | Формула по определению |
|---|--|--------------------------|--|
| Описание | Схема | | |
| |  | 3 и 8 | |
| 2. Внешний момент $T(i)$ не прижимает к неразрезному зубчатому колесу закрепленную на валу часть разрезного зубчатого колеса (т.е. разгружает закрепленную на валу часть разрезного зубчатого колеса) |  | 1 и 6 | $\eta_3 = \frac{1}{1 + \psi \left(2 \frac{T_{прз}}{T_2(i)} - 1 \right)}$ <p>где ψ — определяют по п. I данной таблицы</p> |
| |  | 4 и 7 | |

ФОРМЕТ А4

| Действие момента | | Номер черт. по табл. 2.8 | Формула по определению |
|------------------|--|--------------------------|------------------------|
| Описание | Схема | | |
| |  | 2 и 5 | |
| |  | 3 и 8 | |

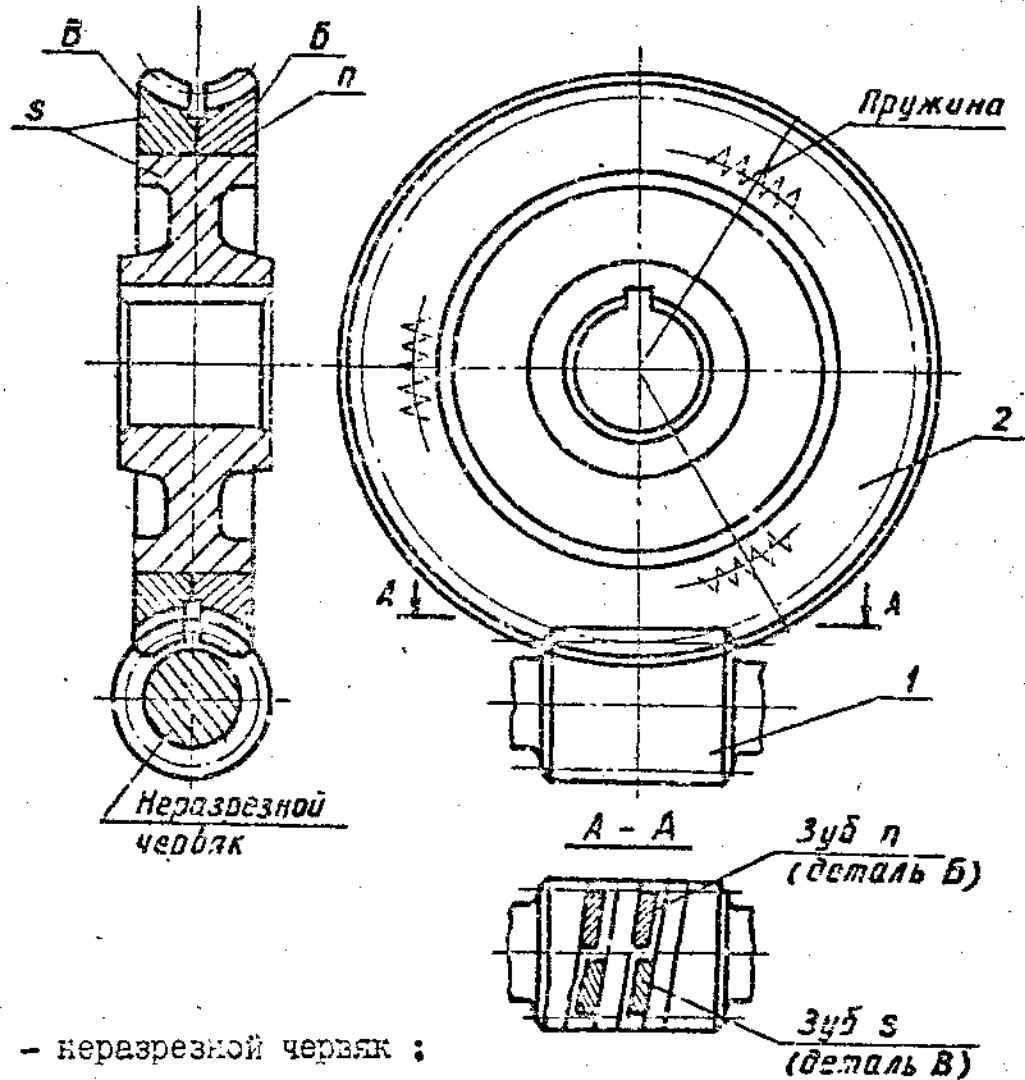
Примечание. Принятые обозначения: *s* - закрепленная на валу часть разрезного зубчатого колеса; *n* - незакрепленная на валу часть разрезного зубчатого колеса.

Формат 14

| | | | | | |
|--------|----------|---------|------------|--------------|--------------|
| Изм. № | Исполн. | Дата | Взам. инв. | Вит. № дубл. | Подп. и дата |
| 486 | И.А.В.И. | 8.01.87 | | | |

2.4. Червячная цилиндрическая передача с разрезным червячным колесом и неразрезным червяком

2.4.1. Схема беззазорной червячной передачи с разрезным червячным колесом приведена на черт. 2.7.



- 1 - неразрезной червяк ;
 2 - разрезное червячное колесо ;
 n - незакрепляемая на валу часть разрезного червячного колеса ;
 s - закрепляемая на валу часть разрезного червячного колеса

Черт. 2.7

Конструктивные схемы разрезного червячного колеса приведены в табл. 2.16.

Конструктивные схемы разрезного червячного колеса

| Вид пружин | Конструктивная схема | | |
|--------------------|----------------------|-----|-----|
| Пружины растяжения | 1. | A-A | B-B |
| | 2. | A-A | B-B |
| | 3. | A-A | B-B |
| | 4. | A-A | B-B |
| Пружины сжатия | 5. | A-A | B-B |
| | 6. | A-A | B-B |
| | 7. | A-A | B-B |
| | 8. | A-A | B-B |

12.10.87
 425
 Исполн. Н.И.Иванов
 Проверил. А.А.Иванов
 12.10.87

2.4.2. Исходные данные

2.4.2.1. Исходные данные для проверочного расчета приведены в табл. 2.17.

2.4.2.2. Исходными данными для проектировочного расчета являются параметры, приведенные в пп. 1, 8, 10-15, 22, 23 табл. 2.17 и передаточное число u .

2.4.2.3. Методика расчета распространяется на передачи групп А, В и передачи ручного привода.

К передачам группы А относят механизмы с общим числом рабочих циклов μ за срок службы:

$\mu \leq 600000$ при продолжительности рабочего цикла не более 15 с и только в отдельных случаях достигающей 90 с;

$\mu \leq 30000$ при продолжительности рабочего цикла, не превышающей 10 мин.

К передачам группы В относят все механизмы за исключением предусмотренных в группе А и передач ручного привода.

2.4.2.4. В качестве исходной расчетной нагрузки T_2 следует принимать:

Для передач группы А:

больший из моментов при разгоне или торможении при

$$P_{ц2(i)} > 2000;$$

момент, превышающий другие нагрузки в рабочем цикле и возникающий при срабатывании устройств, ограничивающих передаваемый момент, при действии которого число циклов перемены напряжений $P_{ц2(i)}$ (приходящееся на один зуб) больше 2000 за срок службы.

При $P_{ц2(i)} \leq 2000$ эту нагрузку исключают из циклограммы нагружения.

Если в рабочем цикле имеются обе нагрузки, упомянутые выше, то в качестве исходной расчетной нагрузки принимает большую из них.

Для передач группы В:

больший из моментов рабочего цикла $T_{2(i)}$ (черт. 2.8), при

ИНВ. МОДУЛЬ И ДАТ. К ДАТА ВВЕД. ИЛИ ИЗМ. ИНВ. МОДУЛЬ ПОИЩ. И ДАТА
 486 11/11/88 8.01.87

перемены напряжений за срок службы при применении соответствующих нагрузок $P_{ц2(1)}, P_{ц2(2)}, P_{ц2(3)} \dots P_{ц2(i)}$.

Число циклов перемены напряжений $n_{ц2(i)}$ за время действия нагрузки $T_2(i)$ определяют по формуле

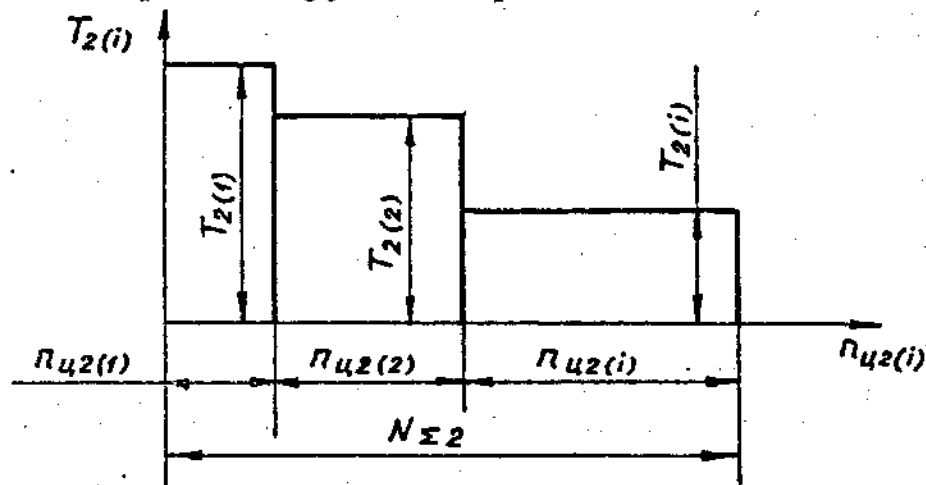
$$n_{ц2(i)} = 60 n_2(i) t_L(i), \quad (2.76)$$

где $n_2(i)$, $t_L(i)$ - соответственно частота вращения червячного колеса, об/мин, и продолжительность работы, ч, за срок службы при действии нагрузки $T_2(i)$.

Для реверсивных передач, аналогично как для зубчатых передач, строят приведенную циклограмму нагружения, принимая все значения нагрузок положительными (см. черт.2.3, 2.4).

В циклограмму нагружения не включают малоцикловые и максимальные нагрузки.

Циклограмма нагружения червячного колеса



Черт.2.8

2.4.2.6. Значение момента от действия пружин на червячном колесе $T_{пр2}$, Н·м, определяют по формуле

$$T_{пр2} = K_{пр} T_2, \quad (2.77)$$

где $K_{пр}$ - коэффициент надежности выбора бокового зазора, принимают от 1,2 до 1,4;

T_2 - исходная расчетная нагрузка, определяют по п.2.4.2.4

| | | | |
|-----|-------------|-------------|-------------|
| 486 | Исполн | Исп. и дата | Исп. и дата |
| | Взам.инжен | Исп. и дата | Исп. и дата |
| | Инв.исполн | Исп. и дата | Исп. и дата |
| | Исп. и дата | Исп. и дата | Исп. и дата |
| | Исп. и дата | Исп. и дата | Исп. и дата |

Таблица 2.17

Исходные данные для проверочного расчета

| Исходные данные | Обозначение | Проверочный расчет | | Указание |
|--|----------------|----------------------------|--------------------------|---|
| | | по контакт-ным напряжениям | по изгиб-ным напряжениям | |
| 1. Число витков червяка | z_1 | + | + | I, 2, 4 |
| 2. Число зубьев червячного колеса | z_2 | - | + | - |
| 3. Модуль, мм | m | - | + | По [9] |
| 4. Коэффициент диаметра червяка | q | + | + | |
| 5. Делительный диаметр червяка, мм | d_1 | + | + | Определяют по [21] |
| 6. Делительный диаметр червячного колеса, мм | d_2 | + | + | |
| 7. Делительный угол подъема, ...°, ...', ..." | γ | + | + | |
| 8. Угол профиля исходного червяка, ...° | α_x | + | + | По [18] |
| 9. Коэффициент расчетной толщины исходного производящего червяка | s_0^* | - | + | |
| 10. Материал зубчатого венца червячного колеса | - | + | + | См. табл. 2.18 |
| 11. Твердость рабочей поверхности витков червяка | H_1 | + | - | - |
| 12. Шероховатость рабочей поверхности витков червяка, мкм | R_a R_z | + | - | Рекомендации по назначению приведены в [23] |
| 13. Характеристика нагружения: нагрузка | - | + | + | Реверсивная или нереверсивная |

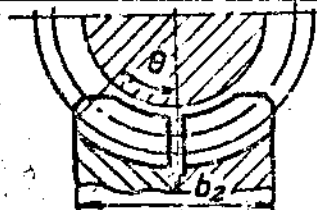
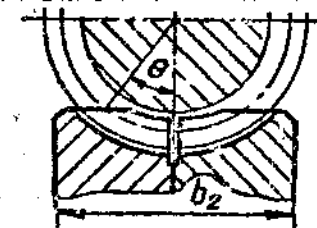
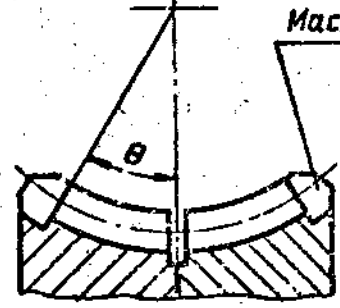
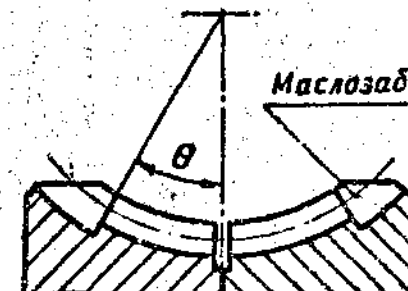
Исполн. _____
 Проверил _____
 Дата _____
 Взам. инв. № _____
 Инв. № _____
 Подп. и дата _____
 18.01.87

Таблица 2.18

| Наименование материала | Марка | Назначение |
|--|-------------------------------|---|
| Бронза оловянисто-фосфористая | БрО10Ф1 по [5] | Червячные колеса наиболее ответственных передач электрического привода групп А и В |
| Бронза алюминево-железистая | БрА9ЖЗ1 по [4] | Червячные колеса передач ручного и электрического приводов групп А и В (при $v_s \leq 6$ м/с) |
| Латунь марганцево-алюминиевая | ЛМцА57-3-1 по [15] | Червячные колеса передач ручного и электрического приводов группы В (при $v_s < 2$ м/с) |
| Серый чугун | СЧ 15, СЧ 20 по [6] | Червячные колеса передач группы В электрического привода при $v_s \leq 2$ м/с и при отсутствии ударных нагрузок, а также червячные колеса передач ручного привода |

| | | | | | |
|-----------|--------------|-----------|-----------|-----------|-----------|
| Инд. вкл. | Полн. и дата | Изд. вкл. | Изд. вкл. | Изд. вкл. | Изд. вкл. |
| 486 | Июль 8.01.87 | | | | |

Таблица 2.19

| Форма зубчатого венца | Условие применения | Угол θ , ... ⁰ , ... ¹ |
|---|--|---|
| <p>1.</p>  | <p>$q = 8 - 20$; допускается $q > 20$</p> | $\sin \theta = \frac{b_2}{d_{a1}}$ |
| <p>2.</p>  | <p>$q > 20$; допускается $q = 8 - 20$</p> | $\cos \theta = \frac{2a_w - d_{a1}z}{d_1}$ |
| <p>3.</p>  <p>Маслозаборный скос</p> | <p>Особо точные передачи</p> | <p>Принимается конструктивно</p> |
| <p>4.</p>  <p>Маслозаборный скос</p> | | |

8
11.09.87

формат А4

2.4.3. Проверочный расчет по контактным напряжениям

2.4.3.1. Для обеспечения контактной прочности необходимо выполнить условие

$$\sigma_H \leq \bar{\sigma}_{HP} \quad (2.78)$$

где σ_H - расчетное контактное напряжение, МПа, определяют по табл.2.20; параметры, необходимые для определения σ_H :

коэффициент K_p принимают:

для передач с разрезным червячным колесом $K_p = 2,5 - 3,0$;

для передач с неразрезным червячным колесом и двумя червяка-

ми $K_p = 1$;

T_2 принимают с учетом рекомендаций, приведенных в п.2.4.2.4;

$T_{пр2}$ определяют по п.2.4.2.6.

2.4.3.2. Допускаемое контактное напряжение $\bar{\sigma}_{HP}$, МПа, определяют по формуле

$$\bar{\sigma}_{HP} = \bar{\sigma}_{HPO} K_{HL} \quad (2.79)$$

где параметры $\bar{\sigma}_{HPO}$, K_{HL} определяют по табл.2.21

скорость скольжения V_s , м/с, определяют по формуле

$$V_s = \frac{d_1 n_1}{19000 \cos \gamma} \quad (2.80)$$

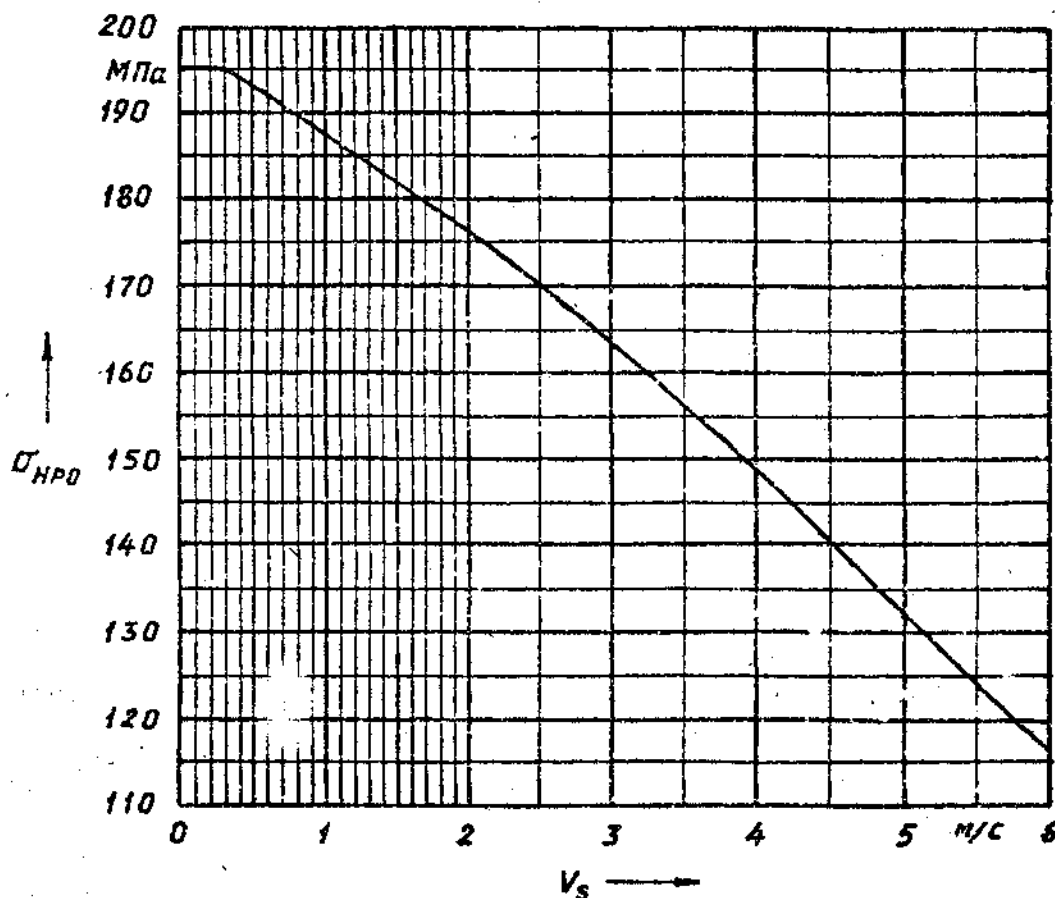
| | | | |
|-------------|--------------|--------------|--------------|
| Мин. испол. | Полн. и дата | Взам. испол. | Полн. и дата |
| 486 | 11.02.88 | 801.17 | |

Таблица 2.21

| Наименование параметра | Обозначение | Расчетная формула и указание |
|--|----------------|--|
| 1. Допускаемое контактное напряжение, соответствующее 10^7 циклов перемены напряжений в материале червячного колеса, МПа | σ_{HPO} | <p>Определяют для материалов:</p> <p>БрО10Ф1: принимают для литья в кокиль</p> <p>при $N_1 \leq 350$ НВ $\sigma_{HPO} = 189$ МПа,</p> <p>при $N_2 > 45$ НРС $\sigma_{HPO} = 228$ МПа;</p> <p>БрА9ЖЗЛ и ЛМЦА57-3-1 по графику (черт.2.9)</p> <p>СЧ 15, СЧ 20 по графику (черт.2.10)</p> |
| 2. Коэффициент долговечности | K_{HL} | <p>Для передач ручного привода</p> $K_{HL} = 1,73.$ <p>Для передач группы А K_{HL} определяют по графику (черт.2.11)</p> <p>Для передач группы В:</p> <p>червячные колеса из БрО10Ф1</p> $K_{HL} = \sqrt[8]{\frac{10^7}{N_{HE2}}}$ <p>но не более 1.14;</p> <p>при $N_{HE2} > 25 \cdot 10^7$ принимают $K_{HL} = 0,67$;</p> <p>червячные колеса из БрА9ЖЗЛ или серых чугунов</p> $K_{HL} = 1.$ <p>Для передач групп А и В, червячные колеса которых изготовлены из латуни ЛМЦА57-3-1 принимают $K_{HL} = 1$</p> |
| 2.1. Эквивалентное число циклов перемены напряжений | N_{HE2} | <p>Определяют в зависимости от характера циклограммы нагружения:</p> <p>при постоянной нагрузке</p> $N_{HE2} = n_{\Sigma 2} = N_{\Sigma 2}$ <p>при ступенчатой циклограмме нагружения</p> $N_{HE2} = \sum_i \left\{ \left[\frac{T_2(i) + T_{np2}}{T_2 + T_{np2}} \right]^4 n_{\Sigma 2(i)} \right\},$ <p>где $T_2(i)$ - нагрузка, соответствующая i-й ступени циклограммы нагружения (см. черт.2.8)</p> <p>$n_{\Sigma 2(i)}$ - число циклов перемены напряжений за время действия нагрузки $T_2(i)$ на червячное колесо</p> |

| | | |
|--------------|---------|----------|
| Имя, Фамилия | Подпись | Дата |
| | | 18.10.88 |
| Имя, Фамилия | Подпись | Дата |
| | | 8.01.87 |
| Имя, Фамилия | Подпись | Дата |
| | | 4.06 |

График для определения σ_{HPO} червячных колес из БРАЭЖЛ
и ДМЦА57-3-1



Значения σ_{HPO} допускается использовать только при выполнении следующих условий:

твердость поверхностей витков червяка $H_T > 45 HRC_3$

способ получения заготовки - литье в кокиль (для БРАЭЖЛ);

шероховатость боковой поверхности витков червяка не грубее

$Ra = 0,8 \text{ мкм}$.

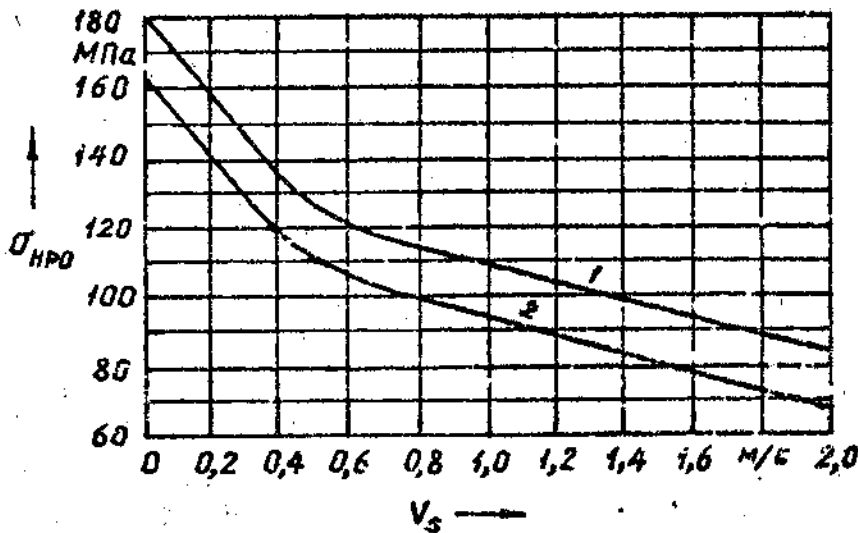
При шероховатости поверхности витков червяка не грубее

$Ra = 0,8 \text{ мкм}$ максимальная скорость скольжения равна 6 м/с для БРАЭЖЛ и 2 м/с для ДМЦА57-3-1.

Черт.2.9

| | |
|----------------------------|----------------------------|
| Имя. Фамилия. Подп. и дата | Имя. Фамилия. Подп. и дата |
| 4.8.6 | Имя. Фамилия. Подп. и дата |

График для определения σ_{HPO} червячных
колес из серого чугуна



1 - для червячных колес из СЧ 15, СЧ 20 при $H_T \geq 40$ HRC,

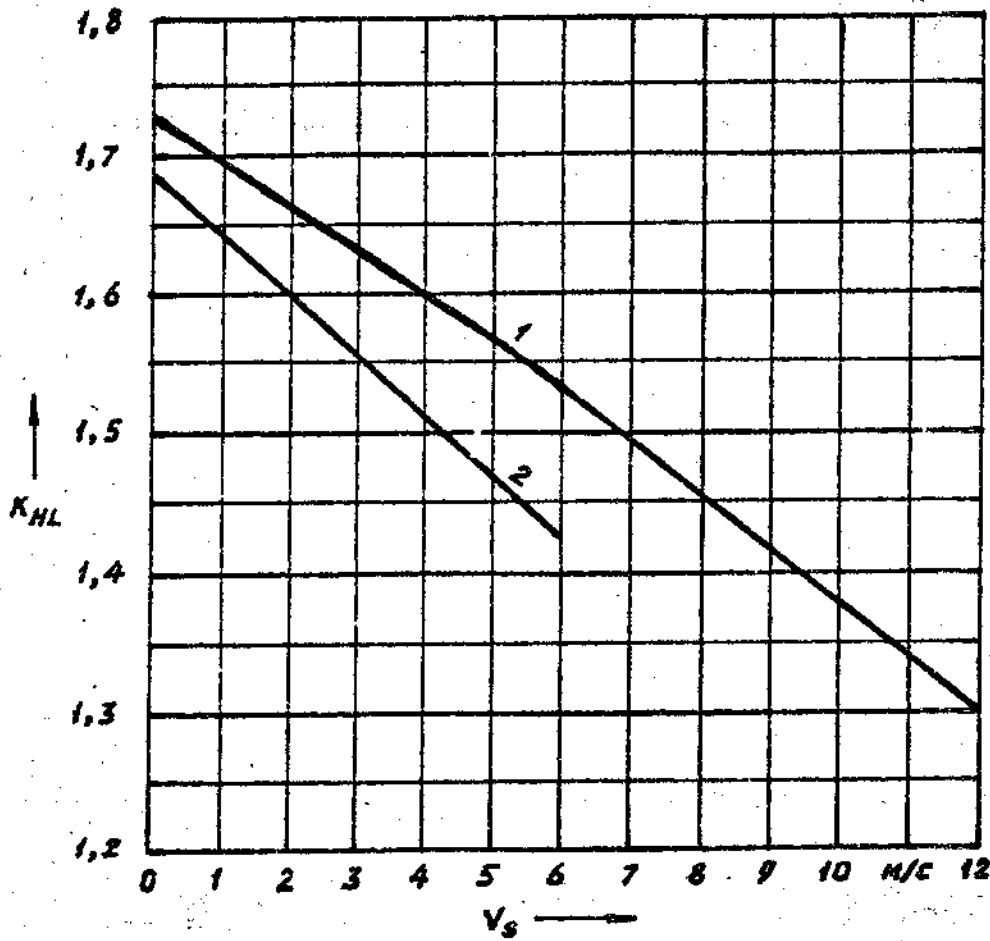
2 - для червячных колес из СЧ 15 при $H_T \leq 350$ HB

При отсутствии приработки, во избежание заедания, значения
следует уменьшить в 2 раза. Максимальная скорость скольжения
равна 2 м/с. Материал червяка - сталь.

Черт.2.10

| | | | |
|-----|--------------|-------------------------------------|--------------|
| 486 | Полн. и дата | Взам. инд. Инв. Инд. Инв. Инд. Инв. | Кали. и дата |
| | 17.08.86 | | |

График для определения коэффициента K_{HL} передач группы А



- 1 - для червячных колес из Br01001 ;
- 2 - для червячных колес из Br9ЖЗЛ

Черт.2.II

| | | | | |
|-----------|----------------|-------------|-----------|--------------|
| Инв.№подл | Подп. и дата | Взам. инв.№ | Инв.№дусл | Подп. и дата |
| 486 | Школов 2.01.87 | | | |

2.4.4. Проектировочный расчет по контактным напряжениям

2.4.4.1. Проектировочный расчет служит для определения делительного диаметра червячного колеса d_2 и использования его значения для дальнейших расчетов.

2.4.4.2. Ориентировочное значение делительного диаметра червячного колеса d_2 , мм, определяют по формуле

$$d_2 = k_z \sqrt[3]{\frac{(T_2 + T_{пр2}) k_p z_2}{10 q' (\sigma'_{нр})^2}}, \quad (2.81)$$

где k_z , T_2 , $T_{пр2}$, k_p , z_2 , q' , $\sigma'_{нр}$ определяют по табл. 2.22

Таблица 2.22

| Наименование параметра | Обозначение | Расчетная формула и указание |
|--|-----------------|--|
| 1. Исходная расчетная нагрузка, Н·м | T_2 | Определяют по п.2.4.2.4 |
| 2. Число зубьев червячного колеса | z_2 | $z_2 = z_1 u$, округляют до ближайшего целого числа, но не менее 24. По принятому z_2 уточняют окончательное значение передаточного числа u |
| 3. Коэффициент, учитывающий число заходов червяка | k_z | Принимают: при числе заходов червяка $z_1 \leq 2$ $k_z = 137$; при числе заходов червяка $z_1 = 4$ $k_z = 142$ |
| 4. Предварительное значение коэффициента диаметра червяка | q' | Принимают $q' \geq 0,25 z_2$ |
| 5. Предварительное значение допускаемого контактного напряжения, МПа | $\sigma'_{нр}$ | $\sigma'_{нр} = \sigma'_{нр0} k_{нл}$ |
| 5.1. Предварительное значение допускаемого контактного напряжения, соответствующего 10^7 циклов перемены напряжений в материале червячного колеса, МПа | $\sigma'_{нр0}$ | Определяют для материалов: БрО10Ф1 по табл.2.21, п.1, причем $\sigma'_{нр0} = \sigma_{нр0}$; БрА9ЭЗД по графику (см. черт.2.9); ЛМПА57-3-1 по графику (см. черт.2.9); |

Изд. № 0011 Полн. и дата
Взам. инв. № 001.87
486

Продолжение табл. 2.22

| Наименование параметра | Обозначение | Расчетная формула и указание |
|--|-----------------------------|---|
| | | <p>СЧ15, СЧ20 по графику (см. черт. 2.10), причем для БрАЖЗЛ, ЛМЦА57-3-1 и серых чугунов предварительно задают скорость скольжения v_s'</p> |
| <p>5.2. Предварительное значение коэффициента долговечности</p> | <p>K'_{HL}</p> | <p>Для передач ручного привода $K'_{HL} = K_{HL} = 1,73$.</p> <p>Для передач группы А определяют по графику (см. черт. 2.11) по предварительно заданной скорости скольжения;</p> <p>для ЛМЦА57-3-1 $K'_{HL} = K_{HL} = 1$.</p> <p>Для передач группы В определяют: при БрОЮФ1 по формуле</p> $K'_{HL} = \sqrt[8]{\frac{10^7}{N_{HE2}}}$ <p>но принимают K'_{HL} не более 1,14; при $N_{HE2} > 25 \cdot 10^7$ принимают $K'_{HL} = 0,67$, N_{HE2} определяют по табл. 2.21, п. 2.1;</p> <p>для остальных материалов, приведенных в п. 5.1 данной таблицы,</p> $K'_{HL} = 1$ |
| <p>6. Момент от действия пружин на червячном колесе, Н·м</p> | <p>$T_{пр2}$</p> | <p>Определяют по п. 2.4.2.6</p> |
| <p>7. Коэффициент, учитывающий неравномерность распределения нагрузки между двумя частями разрезного червячного колеса</p> | <p>K_p</p> | <p>Для червячной передачи с разрезным червячным колесом $K_p = 2,5 - 3,0$.</p> <p>Для червячной передачи с неразрезным червячным колесом и двумя червяками $K_p = 1$</p> |

2.4.4.3. По найденному значению d_2' определяют предварительное значение модуля m' , мм

$$m' = \frac{d_2'}{z_2} \quad (2.82)$$

| | | | | |
|----------|--------------|------------|------------|--------------|
| Ив. ЭПОД | Подп. и дата | Взам. инв. | Инв. №доку | Подп. и дата |
| 486 | ММММ 8.01.87 | | | |

Принимают ближайшее значение модуля и соответствующее ему значение коэффициента диаметра червяка q по [9] ближайшее к предварительному значению q' , после этого уточняют d_2' (при БрОИСФ для передач группы В $d_2' = d_2$)

$$d_2' = z_2 m. \quad (2.83)$$

2.4.4.4. Определяют делительный диаметр червяка d_1 , мм, и делительный угол подъема γ , ... $^{\circ}$, ... $'$, ... $''$

$$d_1 = m q; \quad (2.84)$$

$$t q \gamma = \frac{z_1}{q} \quad (2.85)$$

и уточняют скорость скольжения по формуле (2.80).

2.4.4.5. При применении БрА9ЖЗЛ, ЛМЦА57-3-1 или серого чугуна и $v_s \leq v_s'$ диаметр d_2 не уточняют, при $v_s > v_s'$ производят уточнение по формуле (2.86)

$$d_2 = d_2' \sqrt[3]{\left(\frac{\sigma_{НР}'}{\sigma_{НР}}\right)^2}, \quad (2.86)$$

где $\sigma_{НР}$ определяют по п.2.4.3.2.

2.4.4.6. При применении для червячных колес БрОЮФ1:

для передач группы А диаметр d_2 равен d_2' , определенному по формуле (2.83), если $v_s \leq v_s'$ и значение модуля m взято из [9] с округлением в большую сторону; при невыполнении этих условий диаметр d_2 определяют по формуле (2.86), либо производят проверочный расчет по контактным напряжениям по п.2.4.3.

Для передач группы В при $q = q'$ и при модуле m , взятом из [9], с округлением в большую сторону проверочный расчет по п.2.4.3 не производят; при невыполнении этих условий проводят расчет по п.2.4.3.

2.4.4.7. Производят геометрический расчет по [21], принимая коэффициент смещения червяка $x = -0.5$.

2.4.4.8. Если при форме зубчатого венца червячного колеса, вы-

| | | | |
|--------------|-----|--------------|--|
| Инв. № подл | 486 | Подп. и дата | |
| Взам. инв. | | Инв. № подл | |
| Подп. и дата | | Инв. № подл | |
| | | Инв. № подл | |

полненной по схеме I (табл.2.19), будет принято значение

$$b_2 \leq 0,75 d_{a1} \text{ при } z_1 \leq 2 \text{ или } b_2 \leq 0,67 \text{ при } z_1 = 4;$$

или форма зубчатого венца выполнена по схеме 2 (табл.2.19), то следует произвести проверочный расчет по п.2.4.3.

2.4.4.9. Степень точности передачи назначают по [23], для чего определяют окружную скорость v_1 , м/с, червяка по формуле

$$v_1 = \frac{d_1 n_1}{19000} \quad (2.87)$$

2.4.4.10. Производят расчет по пп.2.4.5, 2.4.6.

2.4.4.11. Для передач группы В производят проверочный расчет на нагрев по разделу 3 [28].

2.4.5. Проверочный расчет по изгибным напряжениям

2.4.5.1. Для обеспечения изгибной прочности необходимо выполнить условие

$$\sigma_F \leq \sigma_{FR} \quad (2.88)$$

где σ_F - расчетное изгибное напряжение, МПа, определяют по табл.2.20;

σ_{FR} - допускаемое напряжение на переходной поверхности зуба червячного колеса, определяют по п.2.4.5.2.

Параметры, входящие в формулы по определению σ_F (табл.2.20) определяют по табл.2.23

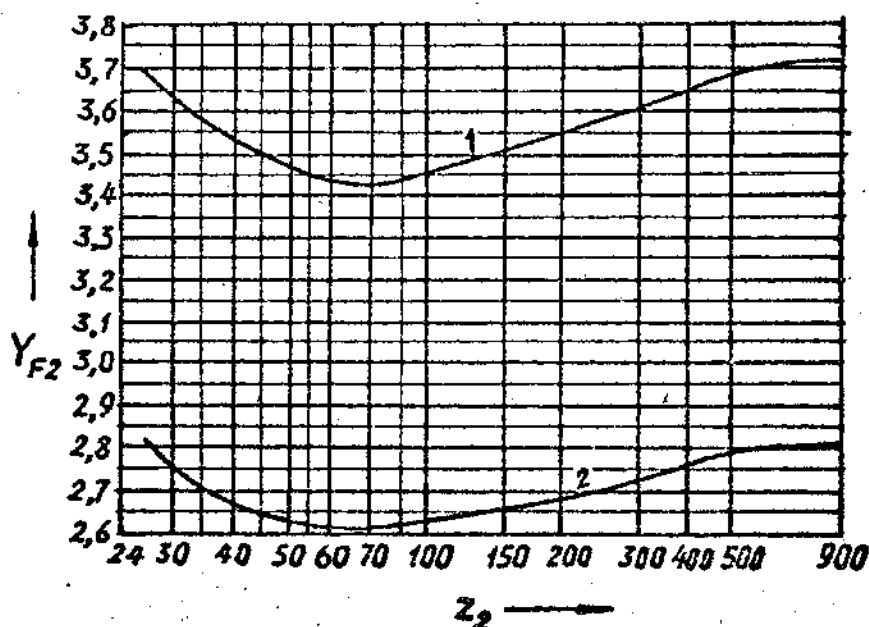
Таблица 2.23

| Наименование параметра | Обозначение | Расчетная формула и указание |
|---|-------------|------------------------------|
| 1. Исходная расчетная нагрузка, Н·м | T_2 | Определяют по п.2.4.2.4 |
| 2. Момент от действия пружин на червячном колесе, Н·м | $T_{пр2}$ | Определяют по п.2.4.2.6 |
| 3. Коэффициент, учитывающий неравномерность распределе- | K_p | Определяют по п.2.4.3.1 |

Инв. №подл. 486
 Подп. и дата 8.01.87
 Инв. №инв. 8.01.87
 Подп. и дата

Продолжение табл. 2. 23

| Наименование параметра | Обозначение | Расчетная формула и указание |
|---|-------------|-------------------------------------|
| ния нагрузки между двумя частями разрезного червячного колеса | | |
| 4. Коэффициент, учитывающий форму зуба | Y_{F2} | Определяют по графику (черт. 2. 12) |
| 5. Угол обхвата червяка червячным колесом, ... | θ | Определяют по табл. 2. 19 |

График для определения коэффициента Y_{F2} 

$$1 - s_0^* = 0,500 \pi;$$

$$2 - s_0^* = 0,425 \pi$$

Черт. 2. 12

| | | | | | |
|--------|--------|--------------|------------|-------------|----------------|
| Изд. № | Исполл | Полн. и дата | Взам. иншк | Инд. № доул | Издл. и дата |
| 486 | | | | | Исполл 8.01.87 |

2.4.5.2. Допускаемое напряжение на переходной поверхности зуба червячного колеса σ_{FP} , МПа, определяют по формуле

$$\sigma_{FP} = \sigma_{FP}^0 K_{FL} \quad (2.89)$$

где σ_{FP}^0 , K_{FL} определяют по табл. 2.24.

Таблица 2.24

| Наименование параметра | Обозначение | Расчетная формула и указание |
|---|-----------------|--|
| 1. Допускаемое напряжение на переходной поверхности зуба червячного колеса при числе циклов перемены напряжений $n_{\Sigma} = 10^6$, МПа | σ_{FP}^0 | Определяют по табл. 2.25. |
| 2. Коэффициент долговечности | K_{FL} | <p>Для передач группы А $K_{FL} = 1,5$</p> <p>Для передач группы В определяют для червячных колес из БрО10Ф1, БрА9ЖЛ, ЛМЦА57-3-1 по формуле</p> $K_{FL} = \sqrt{\frac{9 \cdot 10^6}{N_{FE2}}};$ <p>если $K_{FL} > 1,5$, то принимают $K_{FL} = 1,5$; если $N_{FE2} > 25 \cdot 10^7$, то принимают $K_{FL} = 0,55$; для червячных колес из серых чугунов $K_{FL} = 1$</p> |
| 2.1. Эквивалентное число циклов перемены напряжений | N_{FE2} | <p>Определяют в зависимости от характера циклограммы нагружения:</p> <p>при постоянной нагрузке</p> $N_{FE2} = n_{\Sigma} = N_{\Sigma} \quad (\text{см. черт. 2.8.});$ <p>при ступенчатой циклограмме нагружения</p> |

| | | | | | |
|-----------|--------------|------------|-----------|-----------|--------------|
| Мин. лист | Подп. и дата | Взам. инв. | Инв. инв. | Мин. лист | Подп. и дата |
| 486 | 01.08.87 | | | | |

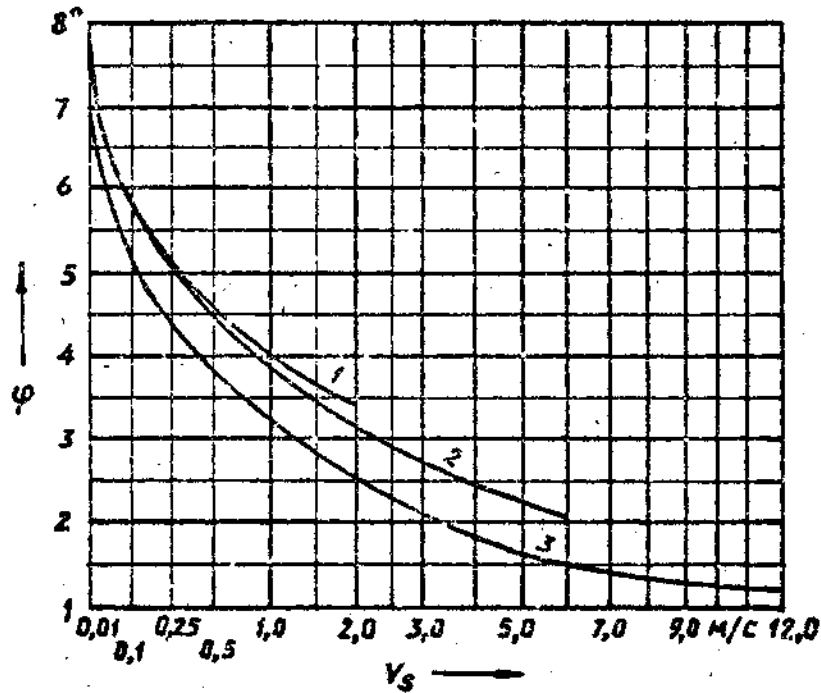
Продолжение табл. 2.24

| Наименование параметра | Обозначение | Расчетная формула и указание |
|------------------------|-------------|---|
| | | $N_{FE2} = \sum_i \left\{ \left[\frac{T_2(i) + T_{пр2}}{T_2 + T_{пр2}} \right]^9 n_{ц2(i)} \right\}$ <p>где $T_2(i)$ - нагрузка, соответствующая i-й ступени циклограммы нагружения,</p> <p>$n_{ц2(i)}$ - число циклов перемены напряжений за срок службы при действии нагрузки</p> |

Таблица 2.25

| Марка материала | Способ получения заготовки | Временное сопротивление разрыву σ_B , МПа | Твердость | σ_{FP}^D , МПа | σ_{FPC}^I , МПа | Исполн. и дата |
|-----------------|----------------------------|--|------------|-----------------------|------------------------|----------------|
| БрО10Ф1 | Литье в кокиль | 250 | 90 НВ | 55 | 40 | Исполн. и дата |
| БрА9ЖЗЛ | Литье в кокиль | 400 | 100 НВ | 77 | 64 | Исполн. и дата |
| ЛМцА57-3-1 | Поковки | 450 | 115 НВ | 86 | 72 | Исполн. и дата |
| СЧ 15 | Отливки | 150 | 163-229 НВ | 38 | 24 | Исполн. и дата |
| СЧ 20 | | 200 | 170-241 НВ | 48 | 30 | |

График для определения ориентировочного значения
 угла трения φ червячной передачи при работе
 червячного колеса из указанных материалов
 по стальному червяку

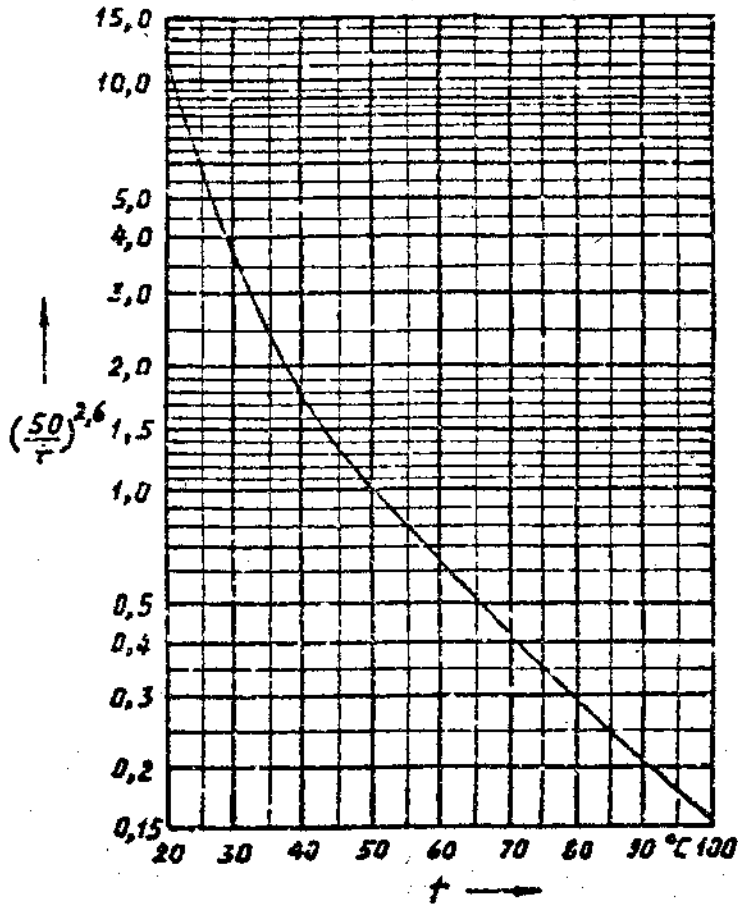


- 1 - для ДМЦА57-3-I или серого чугуна ;
- 2 - для БрАЖЗД ;
- 3 - для БрОЦФ1

Черт. 2.13

| | | | |
|--------------|---------------|--------------|--------------|
| Имя, Подпись | Подп. и дата | Имя, Подпись | Подп. и дата |
| 486 | Мавис 8.01.87 | | |

График для определения отношения $(\frac{50}{t})^{2,6}$

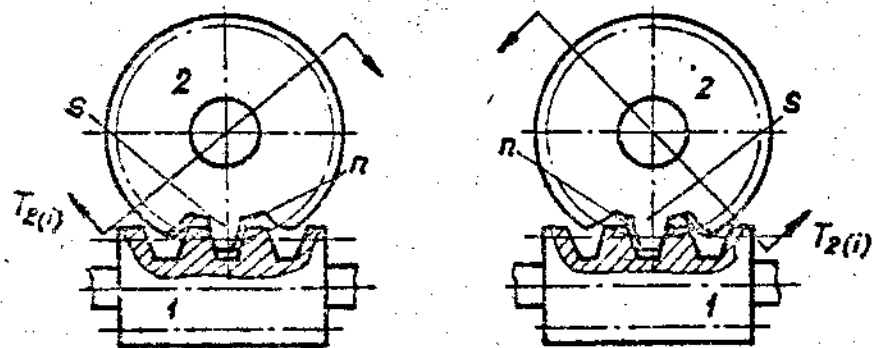
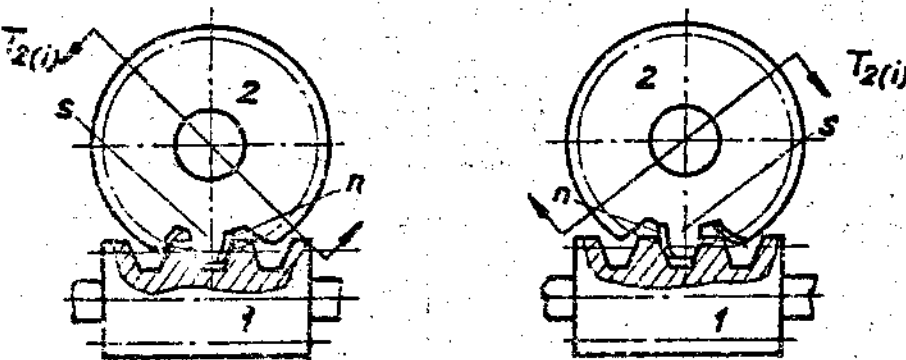


Черт. 2.14

| | | | | |
|----------|----------------|--------------|----------|---------------|
| И.В. ЛЮЛ | Полн. и дата | Взам. инв. № | Испол. № | Испол. и дата |
| 484 | Исполн 8.01.87 | | | |

Таблица 2.27

Определение КПД, учитывающего потери в зацеплении, η_3 червячной передачи с разрезным червячным колесом и неразрезным червяком при ведомом червячном колесе

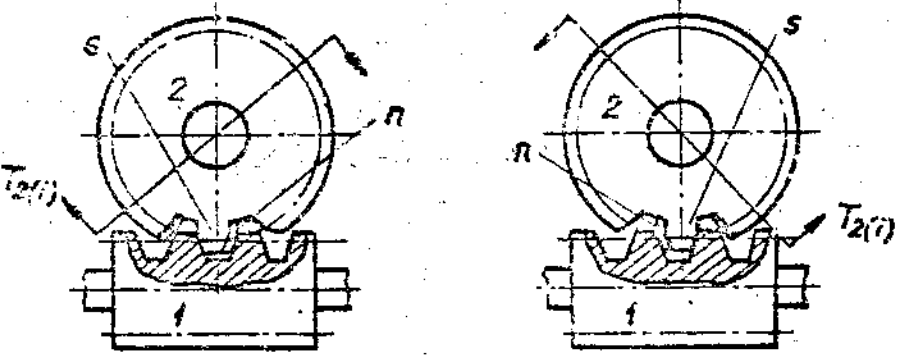
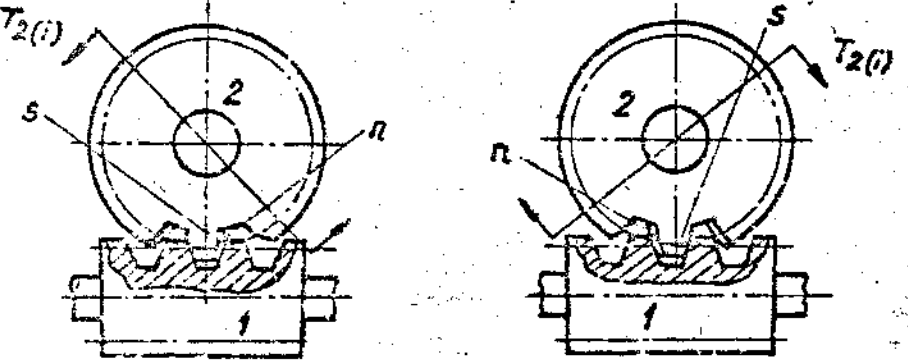
| Действие момента $T_2(i)$, схема передачи | γ | Формула по определению η_3 | |
|---|--------------------|---|---|
| | | Нагрузка переменная | Нагрузка постоянная |
| Внешний момент $T_2(i)$ прижимает к червяку закрепляемую на валу часть червячного колеса  Схемы 1, 4, 6, 7 по табл. 2.16 Схемы 2, 3, 5, 8 по табл. 2.16 | $\gamma < \varphi$ | $\eta_3 = \frac{T_2(i)}{T_1(i) u}$ где $T_1(i) = \frac{[T_2(i) + T_{np2}] \operatorname{tg}(\gamma + \varphi) + T_{np2} \operatorname{tg}(\varphi - \gamma)}{u \operatorname{tg} \gamma}$ | $\eta_3 = \frac{\operatorname{tg} \gamma}{(1 + \kappa_{np}) \operatorname{tg}(\gamma + \varphi) + \kappa_{np} \operatorname{tg}(\gamma - \varphi)}$ |
| | $\gamma > \varphi$ | $\eta_3 = \frac{T_2(i)}{T_1(i) u}$ где $T_1(i) = \frac{[T_2(i) + T_{np2}] \operatorname{tg}(\gamma + \varphi) - T_{np2} \operatorname{tg}(\gamma - \varphi)}{u \operatorname{tg} \gamma}$ | $\eta_3 = \frac{\operatorname{tg} \gamma}{(1 + \kappa_{np}) \operatorname{tg}(\gamma + \varphi) - \kappa_{np} \operatorname{tg}(\gamma - \varphi)}$ |
| Внешний момент $T_2(i)$ не прижимает к червяку закрепляемую на валу часть червячного колеса  Схемы 1, 4, 6, 7 по табл. 2.16 Схемы 2, 3, 5, 8 по табл. 2.16 | $\gamma < \varphi$ | $\eta_3 = \frac{T_2(i)}{T_1(i) u}$ где $T_1(i) = \frac{T_{np2} \operatorname{tg}(\gamma + \varphi) + [T_{np2} - T_2(i)] \operatorname{tg}(\varphi - \gamma)}{u \operatorname{tg} \gamma}$ | $\eta_3 = \frac{\operatorname{tg} \gamma}{\kappa_{np} \operatorname{tg}(\gamma + \varphi) + (\kappa_{np} - 1) \operatorname{tg}(\gamma - \varphi)}$ |
| | $\gamma > \varphi$ | $\eta_3 = \frac{T_2(i)}{T_1(i) u}$ где $T_1(i) = \frac{T_{np2} \operatorname{tg}(\gamma + \varphi) - [T_{np2} - T_2(i)] \operatorname{tg}(\gamma - \varphi)}{u \operatorname{tg} \gamma}$ | $\eta_3 = \frac{\operatorname{tg} \gamma}{\kappa_{np} \operatorname{tg}(\gamma + \varphi) - (\kappa_{np} - 1) \operatorname{tg}(\gamma - \varphi)}$ |

Примечание. Угол трения φ определяют по табл. 2.26, п. I. I

486
 Инв. № 8.01.87
 Подпись
 Дата

Таблица 2.28

Определение КПД, учитывающего потери в зацеплении, η_3 червячной передачи с разрезным червячным колесом и неразрезным червяком при ведущем червячном колесе

| Действие момента $T_2(i)$, схема передачи | γ | Формула по определению η_3 | |
|---|--------------------|---|---|
| | | Нагрузка переменная | Нагрузка постоянная |
| <p>Внешний момент $T_2(i)$ прижимает к червяку закрепляемую на валу часть разрезного червячного колеса</p>  <p>Схемы 1, 4, 6, 7 по табл. 2.16 Схемы 2, 3, 5, 8 по табл. 2.16</p> | $\gamma < \varphi$ | $\eta_3 = \frac{T_1(i) u}{T_2(i)}$ <p>где $T_1(i) = \frac{[T_2(i) + T_{np2}] \operatorname{tg}(\varphi - \gamma) + T_{np2} \operatorname{tg}(\gamma + \varphi)}{u \operatorname{tg} \gamma}$</p> | $\eta_3 = \frac{(1 + K_{np}) \operatorname{tg}(\varphi - \gamma) + K_{np} \operatorname{tg}(\gamma + \varphi)}{\operatorname{tg} \gamma}$ |
| | $\gamma > \varphi$ | $\eta_3 = \frac{T_1(i) u}{T_2(i)}$ <p>где $T_1(i) = \frac{[T_2(i) + T_{np2}] \operatorname{tg}(\gamma - \varphi) - T_{np2} \operatorname{tg}(\gamma + \varphi)}{u \operatorname{tg} \gamma}$</p> | $\eta_3 = \frac{(1 + K_{np}) \operatorname{tg}(\gamma - \varphi) - K_{np} \operatorname{tg}(\gamma + \varphi)}{\operatorname{tg} \gamma}$ |
| <p>Внешний момент $T_2(i)$ не прижимает к червяку закрепляемую на валу часть разрезного червячного колеса</p>  <p>Схемы 1, 4, 6, 7 по табл. 2.16 Схемы 2, 3, 5, 8 по табл. 2.16</p> | $\gamma < \varphi$ | $\eta_3 = \frac{T_1(i) u}{T_2(i)}$ <p>где $T_1(i) = \frac{T_{np2} \operatorname{tg}(\varphi - \gamma) + [T_{np2} - T_2(i)] \operatorname{tg}(\gamma + \varphi)}{u \operatorname{tg} \gamma}$</p> | $\eta_3 = \frac{K_{np} \operatorname{tg}(\varphi - \gamma) + (K_{np} - 1) \operatorname{tg}(\gamma + \varphi)}{\operatorname{tg} \gamma}$ |
| | $\gamma > \varphi$ | $\eta_3 = \frac{T_1(i) u}{T_2(i)}$ <p>где $T_1(i) = \frac{T_{np2} \operatorname{tg}(\gamma - \varphi) - [T_{np2} - T_2(i)] \operatorname{tg}(\gamma + \varphi)}{u \operatorname{tg} \gamma}$</p> | $\eta_3 = \frac{K_{np} \operatorname{tg}(\gamma - \varphi) - (K_{np} - 1) \operatorname{tg}(\gamma + \varphi)}{\operatorname{tg} \gamma}$ |

Примечание. Угол трения φ определяют по табл. 2.26, п. I-I.

ГОСТ 92-0096-86
 4 96
 3.01.87

Таблица 2.29

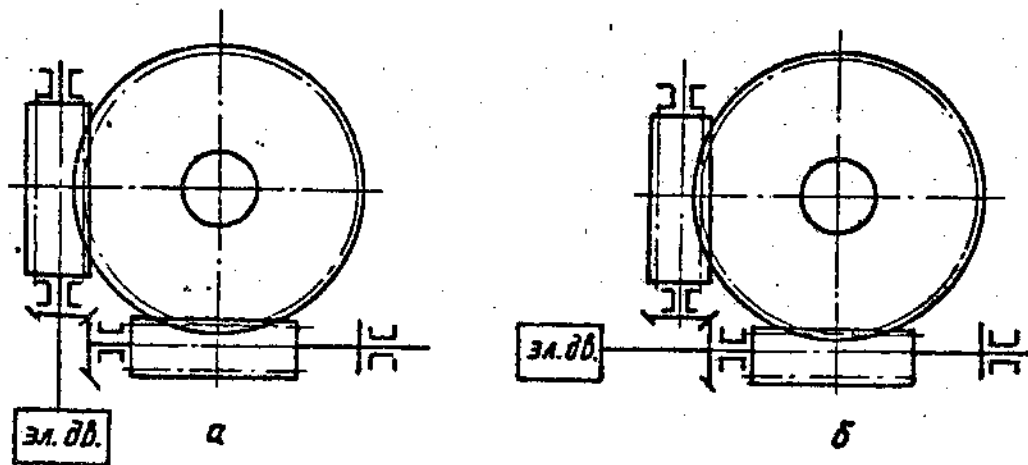
Рекомендуемые значения кинематической вязкости ν_{50} , мм²/с,
при температуре $t = 50$ °С

| Условия работы | Скорость скольжения v_s , м/с | Смазка | Давление подачи смазки, МПа | ν_{50} , мм ² /с |
|-----------------|---------------------------------|--------------------------|-----------------------------|---------------------------------|
| Средней тяжести | 0 - I | Погружением | - | 450 |
| | 0 - 2,5 | | - | 270 |
| Тяжелые | 0 - 5 | | - | 180 |
| Любые | 5 - 10 | Струйная или погружением | - | 120 |
| | 10 - 15 | Струйная под давлением | 0,07 | 85 |
| | 15 - 25 | | 0,20 | 60 |
| | Св. 25 | | 0,30 | 45 |

Име. Инст. Подг. и дата Взам. инв. Инв. Кдусл. Подп. и дата.
486 Шайба 8.01.87

11.04.84

Червячная передача с двумя червяками может быть выполнена по схеме на черт. 2.16



Черт. 2.16

Схема на черт. 2.16, а более целесообразна, чем схема на черт. 2.16, б, поэтому в настоящем стандарте только она и рассматривается.

2.5.2. Исходные данные

2.5.2.1. Исходные данные для проверочного расчета приведены в табл. 2.17; дополнительно задают усилие F_{np} , Н, создаваемое поджимным устройством.

2.5.2.2. Исходные данные для проекторочного расчета по п. 2.4.2.2.

2.5.3. Проверочный расчет по контактным напряжениям производят по п. 2.4.3, учитывая, что момент T_{np2} , Н·м, от действия поджимного устройства на червячном колесе определяют по формуле

$$T_{np2} = \frac{F_{np2} d_2}{2000} \quad (2.91)$$

2.5.4. Проекторочный расчет по контактным напряжениям производят по п. 2.4.4.

| | | | | | |
|------|---------|---------|------|---------|------|
| Изм. | Исполн. | Дата | Изм. | Исполн. | Дата |
| 486 | Исполн. | 8.01.87 | | | |

2.5.5. Проверочный расчет по изгибным напряжениям

2.5.5.1. Для обеспечения изгибной прочности необходимо выполнить условие

$$\sigma_F \leq \sigma_{FP} \quad (2.92)$$

где σ_F определяют по п.2.4.5.1;

σ_{FP} - по табл. 2.30

Таблица 2.30

| Материал червячного колеса | Формула по определению σ_{FP} , МПа | |
|----------------------------|---|---|
| | Внешний момент прижимает червячное колесо к червяку $\frac{1}{S}$ | Внешний момент прижимает червячное колесо к червяку $\frac{1}{\eta}$ |
| БрО10Ф1 | $\sigma_{FP} = \frac{3,7 \sigma'_{FPC} K_{FL}}{2,7 + \left(\frac{K_{HP}}{1 + K_{HP}}\right)}$ | $\sigma_{FP} = \frac{3,7 \sigma'_{FPC} K_{FL}}{2,7 + \left(\frac{K_{HP} - 1}{K_{HP} + 1}\right)}$ |
| БрА9ЖЗЛ | $\sigma_{FP} = \frac{5,9 \sigma'_{FPC} K_{FL}}{4,9 + \left(\frac{K_{HP}}{1 + K_{HP}}\right)}$ | $\sigma_{FP} = \frac{5,9 \sigma'_{FPC} K_{FL}}{4,9 + \left(\frac{K_{HP} - 1}{K_{HP} + 1}\right)}$ |
| ЛМЦА57-3-1 | $\sigma_{FP} = \frac{6,1 \sigma'_{FPC} K_{FL}}{5,1 + \left(\frac{K_{HP}}{1 + K_{HP}}\right)}$ | $\sigma_{FP} = \frac{6,1 \sigma'_{FPC} K_{FL}}{5,1 + \left(\frac{K_{HP} - 1}{K_{HP} + 1}\right)}$ |
| Серый чугун | $\sigma_{FP} = \frac{2,7 \sigma'_{FPC} K_{FL}}{1,7 + \left(\frac{K_{HP}}{1 + K_{HP}}\right)}$ | $\sigma_{FP} = \frac{2,7 \sigma'_{FPC} K_{FL}}{1,7 + \left(\frac{K_{HP} - 1}{K_{HP} + 1}\right)}$ |

Исполн. и дата

Исполн. и дата

Взам. инв. Инв. бланк

Исполн. и дата

486

Исполн. 20.01.87

Параметры, входящие в формулы табл. 2.30 определяют:

σ_{FRC}' по табл. 2.25;

K_{FL} по табл. 2.24, п. 2;

$$K_{np} = \frac{T_{np2}}{T_2(t)}, \quad (2.93)$$

($K_{np} = 1,2 - 1,4$)

2.56. Определение коэффициента полезного действия (КПД)

2.5.6.1. КПД червячной передачи определяют по формуле:

$$\eta = \eta_z \eta_n \eta_p, \quad (2.94)$$

где η_z, η_p определяют по табл. 2.31;

η_n - по табл. 2.26, п. 2

Таблица 2.31

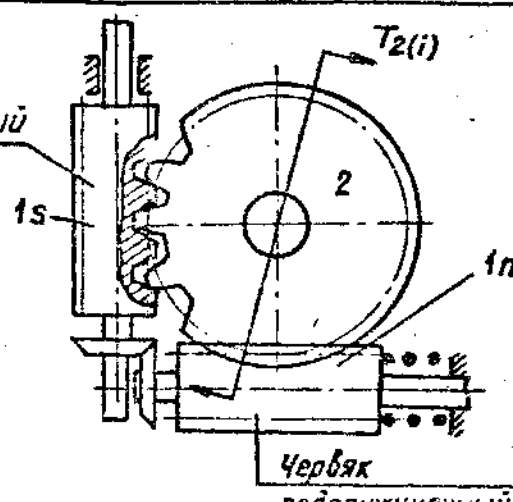
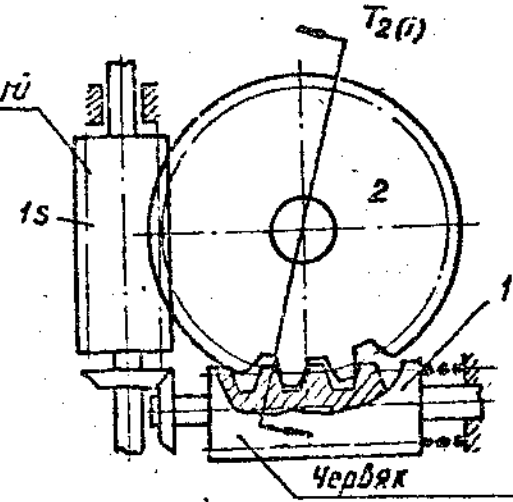
| Наименование параметра | Обозначение | Расчетная формула и указание |
|---|-------------|---|
| 1. КПД, учитывающий потери в зацеплении | η_z | Определяют: при ведомом червячном колесе по табл. 2.32; при ведущем червячном колесе по табл. 2.33 |
| 2. КПД, учитывающий потери на разбрызгивание и размешивание масла | η_p | Определяют по табл. 2.26, п. 3. При расположении червячного колеса и двух червяков в горизонтальной плоскости и погружении в масло обоих червяков в формулу по определению η_p вместо b подставляют сумму длин нарезанной части обоих червяков. |

2.5.6.2. КПД червячной передачи определяют для каждого участка циклограммы нагружения.

Инт. Бюро Подп. и дата Взам. инв. и инв. № Подп. и дата
 486 11.04.87

Таблица 2.32

Определение КПД, учитывающего потери в зацеплении, η_3 червячной передачи с неразрезным червячным колесом и двумя неразрезными червяками при ведомом червячном колесе

| Схема действия момента | γ | Формула по определению η_3 | |
|---|--------------------|---|---|
| | | Нагрузка переменная | Нагрузка постоянная |
| <p>Червяк жестко соединенный с валом</p>  <p>Червяк подпружиненный</p> <p>Внешний момент $T_{2(i)}$ прижимает червячное колесо к червяку 1s</p> | $\gamma < \varphi$ | $\eta_3 = \frac{T_{2(i)}}{T_{1(i)} u}$ <p>где $T_{1(i)} = \frac{[T_{2(i)} + T_{np2}] \operatorname{tg}(\gamma + \varphi) \eta_{кп} + T_{np2} \operatorname{tg}(\varphi - \gamma)}{u \operatorname{tg} \gamma \eta_{кп}}$</p> | $\eta_3 = \frac{\operatorname{tg} \gamma \eta_{кп}}{(1 + \kappa_{np}) \operatorname{tg}(\gamma + \varphi) \eta_{кп} + \kappa_{np} \operatorname{tg}(\varphi - \gamma)}$ |
| | $\gamma > \varphi$ | $\eta_3 = \frac{T_{2(i)}}{T_{1(i)} u}$ <p>где $T_{1(i)} = \frac{[T_{2(i)} + T_{np2}] \operatorname{tg}(\gamma + \varphi) - T_{np2} \operatorname{tg}(\gamma - \varphi) \eta_{кп}}{u \operatorname{tg} \gamma}$</p> | $\eta_3 = \frac{\operatorname{tg} \gamma}{(1 + \kappa_{np}) \operatorname{tg}(\gamma + \varphi) - \kappa_{np} \operatorname{tg}(\gamma - \varphi) \eta_{кп}}$ |
| <p>Червяк жестко соединенный с валом</p>  <p>Червяк подпружиненный</p> <p>Внешний момент $T_{2(i)}$ не прижимает червячное колесо к червяку 1s</p> | $\gamma < \varphi$ | $\eta_3 = \frac{T_{2(i)}}{T_{1(i)} u}$ <p>где $T_{1(i)} = \frac{T_{np2} \operatorname{tg}(\gamma + \varphi) + [T_{np2} - T_{2(i)}] \operatorname{tg}(\varphi - \gamma) \eta_{кп}}{u \operatorname{tg} \gamma \eta_{кп}}$</p> | $\eta_3 = \frac{\operatorname{tg} \gamma \eta_{кп}}{\kappa_{np} \operatorname{tg}(\gamma + \varphi) + (\kappa_{np} - 1) \operatorname{tg}(\varphi - \gamma) \eta_{кп}}$ |
| | $\gamma > \varphi$ | $\eta_3 = \frac{T_{2(i)}}{T_{1(i)} u}$ <p>где $T_{1(i)} = \frac{T_{np2} \operatorname{tg}(\gamma + \varphi) - [T_{np2} - T_{2(i)}] \operatorname{tg}(\gamma - \varphi) \eta_{кп}}{u \operatorname{tg} \gamma \eta_{кп}}$</p> | $\eta_3 = \frac{\operatorname{tg} \gamma \eta_{кп}}{\kappa_{np} \operatorname{tg}(\gamma + \varphi) - (\kappa_{np} - 1) \operatorname{tg}(\gamma - \varphi) \eta_{кп}}$ |

Примечание. Угол трения φ определяют по табл. 2.26, п. I. I ; $\eta_{кп}$ - КПД конической передачи, соединяющей оба червяка ($\eta_{кп} = 0,95$) ; $\kappa_{np} = \frac{T_{np2}}{T_{2(i)}}$

ИМБ. № 486 Подпись и дата: 28.04.87

3.5. Последовательность геометрического расчета

3.5.1. По принятому в п.3.4 значению угла зацепления α_{rW} по черт.3.1 определяют значение $B = \frac{1000 X_{\Sigma}}{Z_1 + Z_2}$ и затем коэффициент суммы смещений X_{Σ} , который будет отрицательным.

3.5.2. По значению $\frac{1000 X_{\Sigma}}{Z_1 + Z_2} = B$ определяют по черт.3.2 значение $A = \frac{1000 \Delta y}{Z_1 + Z_2}$ и затем коэффициент уравнительного смещения Δy .

3.5.3. Разбивают X_{Σ} на X_1 и X_2 причем $X_2 < 0$.

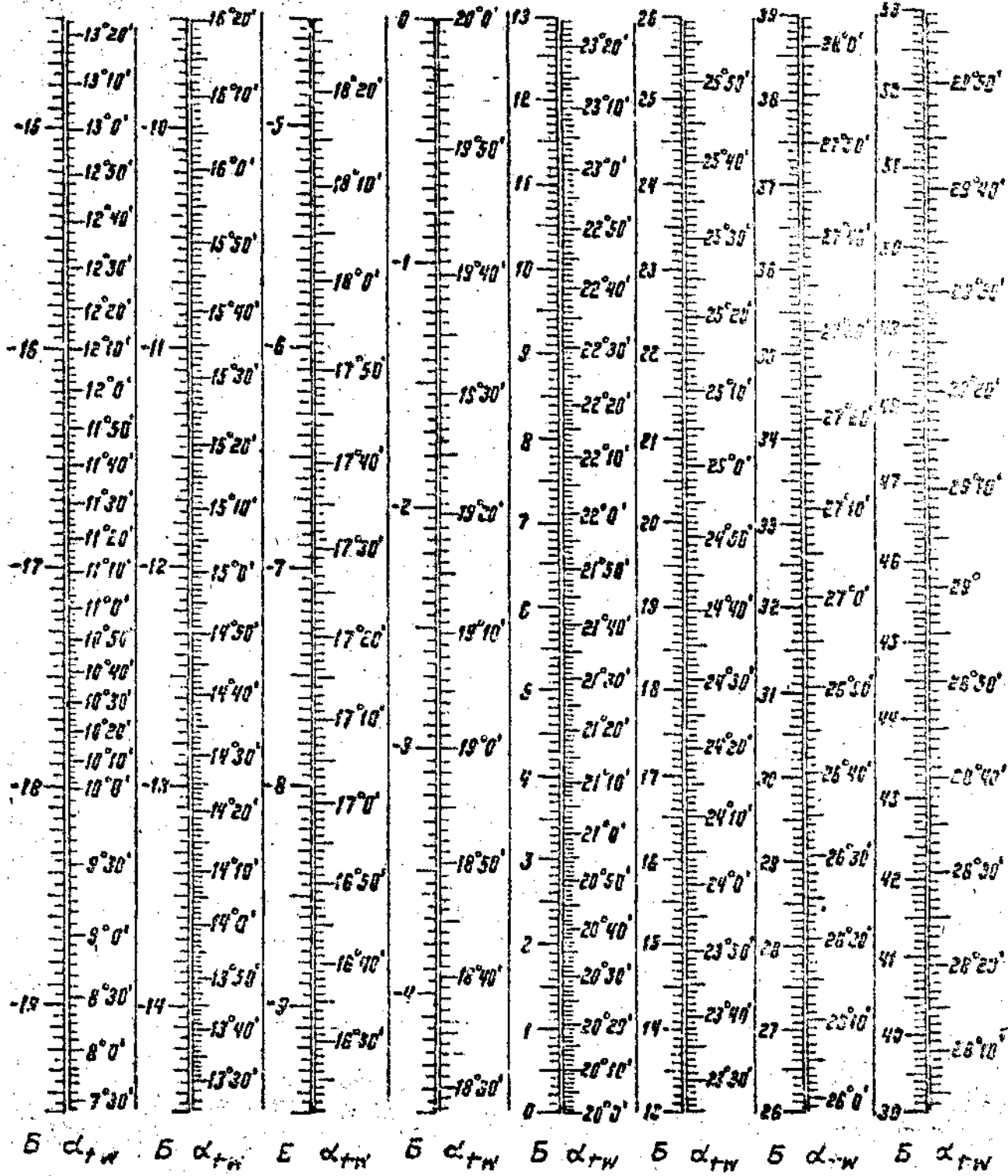
Методом проб определяют такие значения X_1 и X_2 , чтобы обеспечивалось качество зацепления по геометрическим показателям по [17].

3.5.4. По принятым значениям X_1 и X_2 рассчитывают геометрические размеры передачи по [17].

3.6. Расчет прочности следует производить по [25].

| | | |
|----------|-----------------------|-------------------|
| ИВ. РУСЛ | ПОДП. И ДАТА | ПОСЛ. ПОП. И ДАТА |
| 486 | Майков 8.01.87 | |
| | ВЗАИМ. ИНЖ. ИНВ. КЛУБ | |

Номограмма для определения вспомогательной величины B
в зависимости от α_{TW}

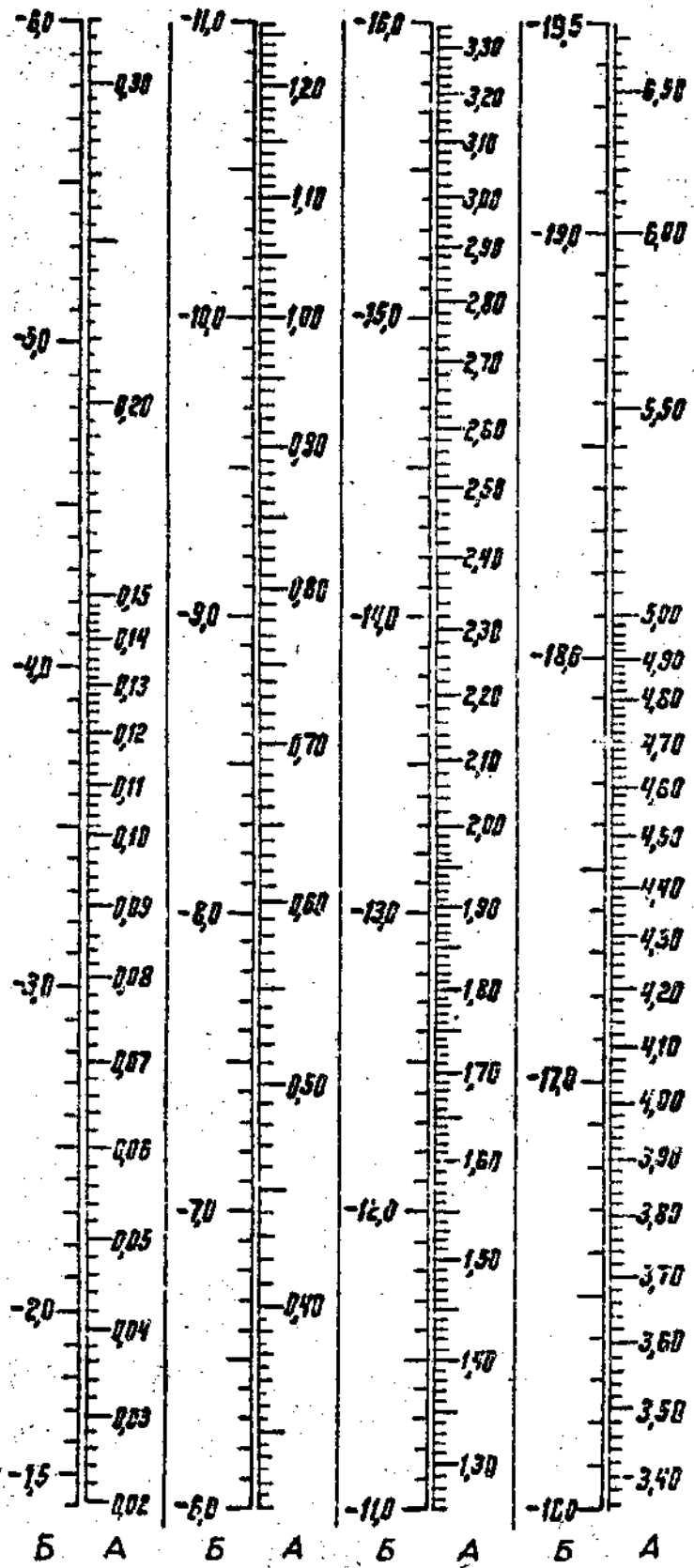


$$B = \frac{1000 \times \Sigma}{Z_1 + Z_2}$$

Черт. 3.1

| | | | | | | | |
|--------------|---------|--------------|---------|--------------|---------|--------------|---------|
| Имя, Фамилия | Подпись |
| 456 | | | | | | | |

Номограмма для определения вспомогательной величины А при заданном коэффициенте χ_{Σ} ($\alpha = 20^\circ$, $\chi_{\Sigma} < 0$)



$$B = \frac{1000 \chi_{\Sigma}}{Z_1 + Z_2}$$

$$A = B \frac{1000}{2} \left(\frac{\cos \alpha}{\cos \alpha_{tw}} - 1 \right), \text{ inv } \alpha_{tw} = B \frac{2 \operatorname{tg} \alpha}{1000} + \operatorname{inv} \alpha; A = \frac{1000 \Delta y}{Z_1 + Z_2}$$

Черт. 3.2

| | | | | |
|-------------|--------------|------------|-------------|--------------|
| Имя, Яблоде | Подп. и дата | Взгм. инв. | Ивв. Яблоде | Подп. и дата |
| А.С.Б. | 21.08.87 | | | |

4. РАСЧЕТ ЦИЛИНДРИЧЕСКИХ ПЕРЕДАЧ С РЕГУЛИРУЕМЫМ БОКОВЫМ ЗАЗОРОМ ПРИ ПОСТОЯННОМ МЕЖОСЕВОМ РАССТОЯНИИ

4.1. Общие положения

4.1.1. Принципиальная схема расчета приведена на черт. 4.1.

4.1.2. Термины и обозначения, примененные в настоящем стандарте соответствуют [16] и [17]. Дополнительные термины и обозначения приведены в табл. 4.2, 4.4, 4.5, 4.6.

4.1.3. Порядок расчета передач соответствует приведенному в примере 6 справочного приложения I.

4.1.4. Указания к оформлению рабочих чертежей приведены в справочном приложении 2.

4.1.5. Возможность регулирования бокового зазора в рассматриваемых передачах обеспечена за счет осевого перемещения одного зубчатого колеса относительно другого и клиновидной формы зубьев (черт. 4.2), полученной стандартным инструментом (червячной фрезой или долбяком) при нарезании с непрерывно изменяющимся коэффициентом смещения. Зацепление регулируют как при монтаже передачи, так и при необходимости в процессе эксплуатации.

Несмотря на внешнее сходство с коническими зубчатыми колесами, рассматриваемые колеса цилиндрические поскольку их оси параллельны.

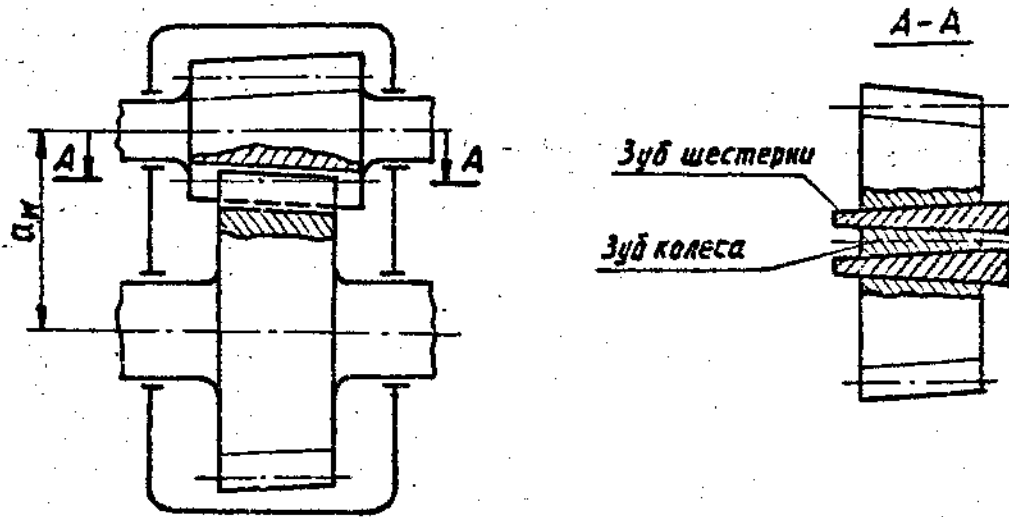
4.1.6. Нарезание клиновидных зубьев может быть осуществлено при помощи приспособления, схематично изображенного на черт. 4.3.

Приспособление состоит из копира, закрепленного на фрезерном суппорте, пальца и пружины, прикрепленной к салазкам стола.

При вертикальном перемещении фрезерного суппорта копир отжимает стол станка. Палец постоянно прижимается к копиру пружиной. Рабочая поверхность копира, соприкасающаяся с пальцем плоская. Она образует с осью станка угол ω , равный углу токарной заготовки нарезаемого зубчатого колеса (см. черт. 4.3).

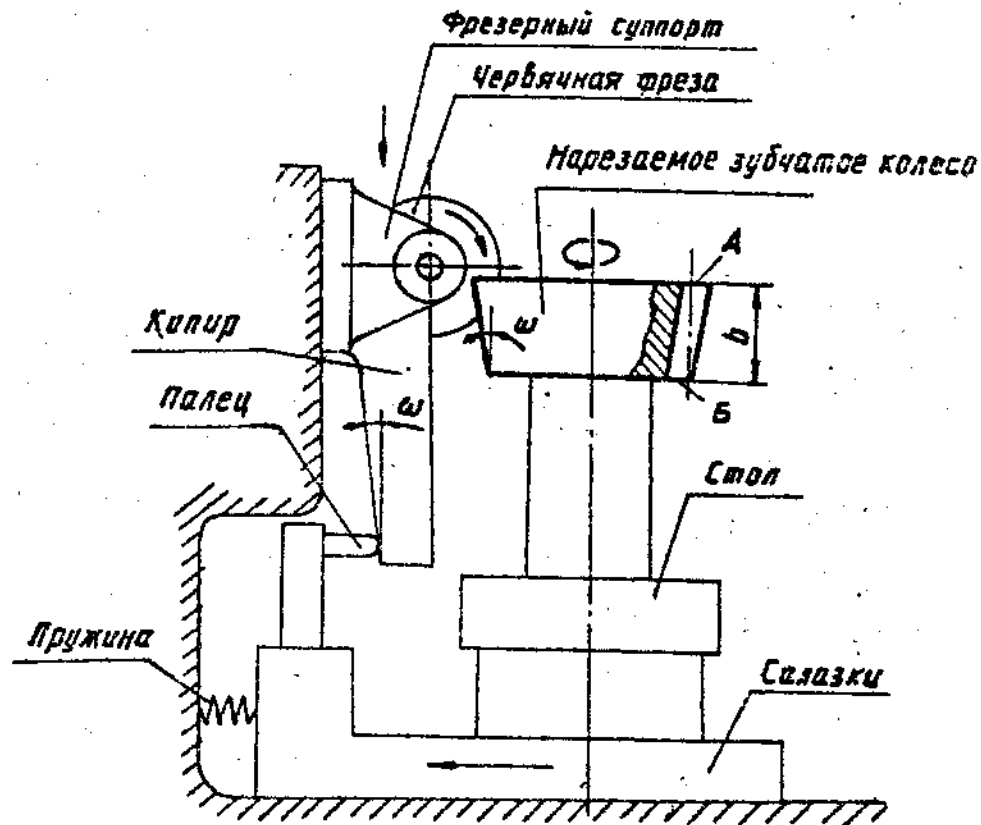
| | | | | |
|---------|-------------|------------|-------------|-------------|
| Исполн. | Год. и дата | Взам. инв. | Инд. докум. | Год. и дата |
| 486 | 1987 | | | |

Схема прямозубой цилиндрической передачи с регулируемым боковым зазором.



Черт. 4.2

Схема нарезания зубчатых колес на зубофрезерном станке с использованием приспособления для изменения расстояния между осями нарезаемого зубчатого колеса и червячной фрезы



Черт. 4.3

| | | | | | |
|---------------|-----|--------------|--------------|---------------|--------------|
| Мин. № докум. | 486 | Полн. и дата | Взам. инв. № | Инв. № докум. | Подп. и дата |
| | | | | УН00008 | 8.01.87 |

4.2. Расчет геометрии

4.2.1. Расчетом определяют номинальные размеры зубчатых колес.

4.2.2. При отсутствии в обозначениях параметров индексов "1" и "2", относящихся соответственно к шестерне и колесу, следует иметь в виду любое зубчатое колесо передачи. Буква, стоящая после обозначения параметра, указывает торец зубчатого колеса. Букву А - ставят на торец с наибольшим диаметром вершин зубьев, букву Б - на противоположный торец.

4.2.3. Обозначения параметров, приводимых на рабочих чертежах зубчатых колес отмечены знаком .

Таблица 4.1

Исходные данные для расчета

Инв. №подл 486
 Подл. и дата 21.04.87
 Взам. инв. № Инв. №дусл Подл. и дата

| Наименование параметра | Обозначение |
|---|--------------------------------|
| Число зубьев шестерни | <input type="checkbox"/> Z_1 |
| Число зубьев колеса | <input type="checkbox"/> Z_2 |
| Модуль, мм | <input type="checkbox"/> m |
| Делительный диаметр шестерни, мм | <input type="checkbox"/> d_1 |
| Делительный диаметр колеса, мм | <input type="checkbox"/> d_2 |
| Межосевое расстояние, мм | <input type="checkbox"/> a_w |
| Ширина венца колеса, мм | <input type="checkbox"/> b_2 |
| Нормальный исходный контур по [14] | - |
| Степень точности и вид сопряжения по нормам бокового зазора по [27] | - |
| Твердость рабочих поверхностей зубьев: | |
| шестерни | H_{HRC1} |
| колеса | H_{HRC2} |

Таблица 4.2

Расчет коэффициентов смещения и ширины зубчатого венца шестерни

| Наименование параметра | Обозначение | Расчетная формула и указание |
|--|----------------------|--|
| I. Наибольший боковой зазор, мкм | j_{nmax} | $j_{nmax} = j_{nmin} + (T_{H1} + T_{H2} + 2 fa) 2 \sin \alpha$ Увеличивают на 15 % |
| I.1. Гарантированный боковой зазор, мкм | j_{nmin} | Определяют по разделу 3 [27], используя виды сопряжения H, D |
| I.2. Допуск на смещение исходного контура, мкм шестерни колеса | T_{H1} T_{H2} | То же |
| I.3. Предельные отклонения межосевого расстояния, мкм | $\pm f_a$ | " |
| 2. Угол конуса вершин зубчатого колеса, °, ...', ..." | ω | Принимают предварительно равным $\omega = 2^\circ - 2,5^\circ$ Окончательное значение ω может быть лимитировано S_{lat} , см. табл. 4.4, или приемлемой величиной Δb , см. п. 5 |
| 3. Угол сужения зуба на делительном цилиндре, °, ...', ..." | γ | $tg \gamma = tg \omega tg \alpha$ |
| 4. Разность ширин зубчатых венцов шестерни и колеса, мм | Δb | $\Delta b = \frac{j_{nmax}}{2 tg \gamma}$ |
| 5. Ширина зубчатого венца шестерни, мм | b_1 | $b_1 = b_2 + \Delta b$ Округляют до ближайшего большего целого числа |

Изм. №10011 | Подп. и дата | Инв. №докум | Подп. и дата | Взам. инв. № | Инв. №докум | Подп. и дата

486. | | | | | | |

Продолжение табл. 4.2

| Наименование параметра | Обозначение | Расчетная формула и указание |
|---|--------------|---|
| 6. Разность коэффициентов смещения шестерни на торцах А и Б (черт. 1 справочного приложения 2) | ΔX_1 | $\Delta X_1 = X_1^A - X_1^B = \frac{b_1 \operatorname{tg} \omega}{m}$ |
| 7. Разность коэффициентов смещения колеса на торцах А и Б (черт. 2 справочного приложения 2) | ΔX_2 | $\Delta X_2 = X_2^A - X_2^B = \frac{b_2 \operatorname{tg} \omega}{m}$ |
| 8. Коэффициент смещения шестерни на торце Б | X_1^B | Принимают $X_1^B \geq X_{1min}$ |
| 8.1. Коэффициент наименьшего смещения | X_{min} | $X_{min} = 1 - 0,0584 z$ Для $z = 8 - 20$ определяют по табл. 4.3 |
| 9. Коэффициент смещения шестерни на торце А | X_1^A | $X_1^A = X_1^B + \Delta X_1$ При $X_1^A > X_{1min}$ необходимо сделать проверку качества зацепления по табл. 4.4 |
| 10. Коэффициент смещения колеса на торце А | X_2^A | Принимают $X_2^A = -X_1^B$ при $X_z = 0$ |
| 11. Коэффициент смещения колеса на торце Б | X_2^B | $X_2^B = X_2^A - \Delta X_2$ при $X_z = 0$ |

486
 Инв. № Подл. и дата
 8.01.87
 Инв. № Подл. и дата
 8.01.87

Таблица 4.3

Значение χ_{\min} для прямозубых зубчатых колес

| Число зубьев z | | | | | | | | | | | |
|----------------|-------|-------|-------|-------|-------|-------|-------|-------|-------|--------|--------|
| 8 | 9 | 10 | 11 | 12 | 13 | 14 | 15 | 16 | 17 | 18 | 19 |
| 0,532 | 0,474 | 0,416 | 0,358 | 0,300 | 0,241 | 0,182 | 0,124 | 0,065 | 0,006 | -0,052 | -0,110 |

Таблица 4.4

Проверка нормальной толщины на поверхности вершин

| Наименование параметра | Обозначение | Расчетная формула и указание |
|---|----------------------|---|
| I. Нормальная толщина зуба на поверхности вершин у торца А, мм | $S_{\text{па}}^A$ | $S_{\text{па}}^A \approx S_{\text{ав}}^{A*} m$ <p>Принимают $S_{\text{па}}^A \geq 0,3 m$ при однородной структуре материала и $S_{\text{па}}^A \geq 0,4 m$ при поверхностном упрочнении зубьев (азотировании, цементации)</p> <p>Если условия не выполнены, то уменьшают величину угла $\alpha_{\text{тв}}$ и снова производят расчет коэффициентов смещения исходного контура шестерни и колеса</p> |
| I.I. Окружная толщина зуба на окружности вершин шестерни у торца А, выраженная в долях модуля | $S_{\text{ав}}^{A*}$ | <p>Определяют по формуле</p> $S_{\text{ав}}^{A*} = z \left(\frac{I}{2} + \frac{2x \operatorname{tg} \alpha}{z} + \operatorname{inv} 20^\circ - \operatorname{inv} \alpha_a \right)$ |
| I.I.I. Угол профиля зуба в точке на окружности вершин, ... °, ... " | α_a | $\cos \alpha_a = \frac{d \cos 20^\circ}{d_a}$ |

Изд. и дата

Взам. инв. №

486

Таблица 4.5

Расчет диаметров зубчатых колес и высоты зуба

| Наименование параметра | Обозначение | Расчетная формула и указание |
|--|--------------------------|--|
| 1. Максимальная величина изменения радиального зазора в передаче, мм | Δc | $\Delta c = \Delta h \operatorname{tg} \omega,$ Δb - по табл. 4.2, п. 4 |
| 2. Диаметр вершин зубьев шестерни, мм на торце А на торце Б | d_{a1}^A d_{a1}^B | $d_{a1}^A = d_1 + 2(h_a^* + x_1^A)m - 2\Delta c$ $d_{a1}^B = d_1 + 2(h_a^* + x_1^B)m - 2\Delta c$ |
| 3. Диаметр вершин зубьев колеса, мм на торце А на торце Б | d_{a2}^A d_{a2}^B | $d_{a2}^A = d_2 + 2(h_a^* + x_2^A)m - 2\Delta c$ $d_{a2}^B = d_2 + 2(h_a^* + x_2^B)m - 2\Delta c$ |
| 4. Высота зуба, мм | h | $h = 2,25m - \Delta c$ |

Инв. № подл. 486
 Подп. и дата
 Инв. № подл. 8.01.87
 Инв. № подл. 8.01.87
 Инв. № подл. 8.01.87

Таблица 4.6

Расчет толщины по хорде и высоты до хорды

| Наименование параметра | Обозначение | Расчетная формула и указание |
|---|--|---|
| 1. Толщина по хорде зуба на делительном диаметре шестерни, мм на торце А на торце Б | $\begin{matrix} \bar{s}_1^A \\ \bar{s}_1^B \end{matrix}$ | $\bar{s}_1^A = d_1 \sin\left(\frac{\frac{\pi}{2} + 2x_1^A \operatorname{tg}\alpha}{z_1}\right)$ $\bar{s}_1^B = d_1 \sin\left(\frac{\frac{\pi}{2} + 2x_1^B \operatorname{tg}\alpha}{z_1}\right)$ |
| 2. Толщина по хорде зуба на делительном диаметре колеса, мм на торце А на торце Б | $\begin{matrix} \bar{s}_2^A \\ \bar{s}_2^B \end{matrix}$ | $\bar{s}_2^A = d_2 \sin\left(\frac{\frac{\pi}{2} + 2x_2^A \operatorname{tg}\alpha}{z_2}\right)$ $\bar{s}_2^B = d_2 \sin\left(\frac{\frac{\pi}{2} + 2x_2^B \operatorname{tg}\alpha}{z_2}\right)$ |
| 3. Высота до хорды зуба шестерни, мм на торце А на торце Б | $\begin{matrix} \bar{h}_{a1}^A \\ \bar{h}_{a1}^B \end{matrix}$ | $\bar{h}_{a1}^A = 0,5 \left[d_{a1}^A - d_1 \cos\left(\frac{\frac{\pi}{2} + 2x_1^A \operatorname{tg}\alpha}{z_1}\right) \right]$ $\bar{h}_{a1}^B = 0,5 \left[d_{a1}^B - d_1 \cos\left(\frac{\frac{\pi}{2} + 2x_1^B \operatorname{tg}\alpha}{z_1}\right) \right]$ |
| 4. Высота до хорды зуба колеса, мм на торце А на торце Б | $\begin{matrix} \bar{h}_{a2}^A \\ \bar{h}_{a2}^B \end{matrix}$ | $\bar{h}_{a2}^A = 0,5 \left[d_{a2}^A - d_2 \cos\left(\frac{\frac{\pi}{2} + 2x_2^A \operatorname{tg}\alpha}{z_2}\right) \right]$ $\bar{h}_{a2}^B = 0,5 \left[d_{a2}^B - d_2 \cos\left(\frac{\frac{\pi}{2} + 2x_2^B \operatorname{tg}\alpha}{z_2}\right) \right]$ |

Изв. №100/1 Изв. №100/2 Изв. №100/3 Изв. №100/4 Изв. №100/5
 Полн. и дата Изв. №100/6 Изв. №100/7 Изв. №100/8 Изв. №100/9
 Полн. и дата Изв. №100/10 Изв. №100/11 Изв. №100/12 Изв. №100/13
 Полн. и дата Изв. №100/14 Изв. №100/15 Изв. №100/16 Изв. №100/17
 Полн. и дата Изв. №100/18 Изв. №100/19 Изв. №100/20 Изв. №100/21
 Полн. и дата Изв. №100/22 Изв. №100/23 Изв. №100/24 Изв. №100/25
 Полн. и дата Изв. №100/26 Изв. №100/27 Изв. №100/28 Изв. №100/29
 Полн. и дата Изв. №100/30 Изв. №100/31 Изв. №100/32 Изв. №100/33
 Полн. и дата Изв. №100/34 Изв. №100/35 Изв. №100/36 Изв. №100/37
 Полн. и дата Изв. №100/38 Изв. №100/39 Изв. №100/40 Изв. №100/41
 Полн. и дата Изв. №100/42 Изв. №100/43 Изв. №100/44 Изв. №100/45
 Полн. и дата Изв. №100/46 Изв. №100/47 Изв. №100/48 Изв. №100/49
 Полн. и дата Изв. №100/50 Изв. №100/51 Изв. №100/52 Изв. №100/53
 Полн. и дата Изв. №100/54 Изв. №100/55 Изв. №100/56 Изв. №100/57
 Полн. и дата Изв. №100/58 Изв. №100/59 Изв. №100/60 Изв. №100/61
 Полн. и дата Изв. №100/62 Изв. №100/63 Изв. №100/64 Изв. №100/65
 Полн. и дата Изв. №100/66 Изв. №100/67 Изв. №100/68 Изв. №100/69
 Полн. и дата Изв. №100/70 Изв. №100/71 Изв. №100/72 Изв. №100/73
 Полн. и дата Изв. №100/74 Изв. №100/75 Изв. №100/76 Изв. №100/77
 Полн. и дата Изв. №100/78 Изв. №100/79 Изв. №100/80 Изв. №100/81
 Полн. и дата Изв. №100/82 Изв. №100/83 Изв. №100/84 Изв. №100/85
 Полн. и дата Изв. №100/86 Изв. №100/87 Изв. №100/88 Изв. №100/89
 Полн. и дата Изв. №100/90 Изв. №100/91 Изв. №100/92 Изв. №100/93
 Полн. и дата Изв. №100/94 Изв. №100/95 Изв. №100/96 Изв. №100/97
 Полн. и дата Изв. №100/98 Изв. №100/99 Изв. №100/100 Изв. №100/101

ПРИЛОЖЕНИЕ I

Справочное

ПРИМЕРЫ РАСЧЕТОВ

I. ПРОЕКТИРОВОЧНЫЙ РАСЧЕТ ДЛИТЕЛЬНО РАБОТАЮЩЕЙ ЦИЛИНДРИЧЕСКОЙ ПЕРЕДАЧИ ВНЕШНЕГО ЗАЦЕПЛЕНИЯ (ПЕРЕДАЧА ГРУППЫ В) С РАЗРЕЗНЫМ ЗУБЧАТЫМ КОЛЕСОМ

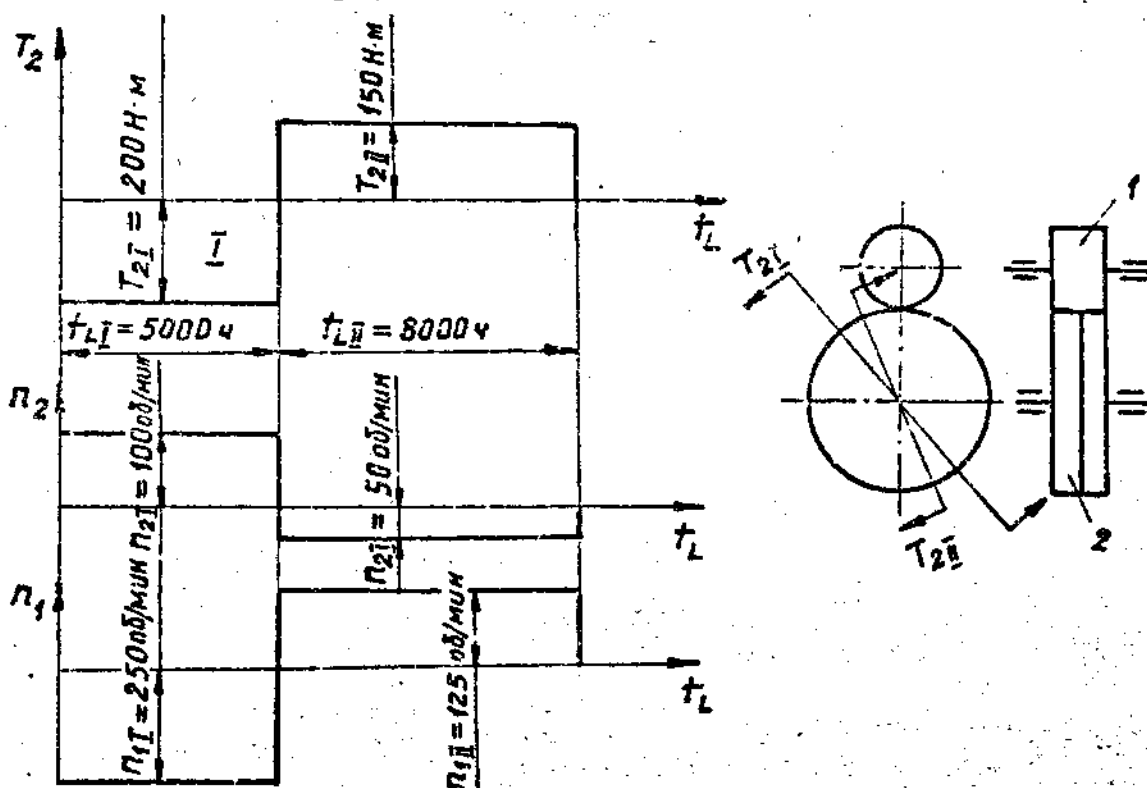
I.1. Исходные данные для расчета приведены в табл. 1.

I.2. Расчет ориентировочного значения делительного диаметра шестерни приведен в табл. 2.

I.3. Определение исходных данных для геометрического расчета (по найденному значению d_f) приведено в табл. 3

I.4. График нагружения, приведенный на черт. I, преобразуем в приведенную циклограмму нагружения (п. 2.1.3 настоящего стандарта).

График нагружения колеса



Черт. I

Инв. № подл. Подп. и дата Взам. инв. № Инв. № подл. Подп. и дата
486 8.01.87

Для приведенной циклограммы нагружения определяем следующие параметры :

моменты на шестерне по формулам (п.2.1.2 настоящего стандарта) учитывая , что на участке I колесо ведомое :

$$T_{1I} = \frac{T_{2I}}{u \cdot \eta} ; \quad T_{1II} = \frac{T_{2II}}{u} \cdot \eta .$$

где η - КПД передачи, принимаем $\eta = 0,92$,

$$T_{1I} = \frac{200}{2,5 \cdot 0,92} = 87 \text{ Н.м} ; \quad T_{1II} = \frac{150}{2,5} \cdot 0,92 = 55 \text{ Н.м} ;$$

число циклов переменн напряжений $n_{ц(i)}$ за время действия нагрузки $T_{L(i)}$ по разделу I [25]

$$n_{ц(i)} = 60 \gamma_w n(i) t_{L(i)} , \quad \text{где } \gamma_w = 1 ;$$

для шестерни

$$n_{ц1I} = 60 \cdot 1 \cdot 250 \cdot 5000 = 75 \cdot 10^6 ;$$

$$n_{ц1II} = 60 \cdot 1 \cdot 125 \cdot 8000 = 60 \cdot 10^6 ;$$

для колеса

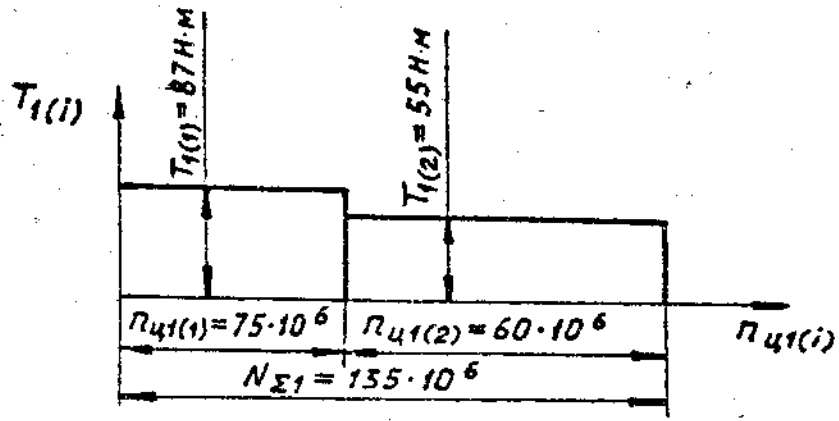
$$n_{ц2I} = 60 \cdot 1 \cdot 100 \cdot 5000 = 30 \cdot 10^6 ;$$

$$n_{ц2II} = 60 \cdot 1 \cdot 50 \cdot 8000 = 24 \cdot 10^6 .$$

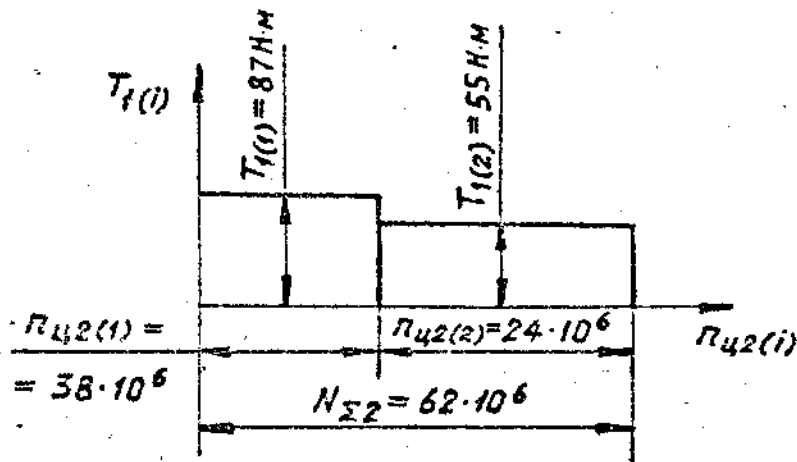
На приведенной циклограмме нагружения нагрузки, действующие на зубчатое колесо, принимаем положительными и располагаем в порядке уменьшения значений (черт.2)

| | | | | | |
|--------|---------|---------|--------|---------|------|
| Изм. № | Исполн. | Дата | Изм. № | Исполн. | Дата |
| 486 | Маслов | 8.07.87 | | | |

Приведенная циклограмма нагружения
шестерни



колеса



Черт. 2

| | | | | | | | | | |
|-----|--------|---------|--------|------|------|-----|--------|-------|--------|
| Имя | Исполн | Подп. | и дата | Взят | инж. | Имя | Исполн | Подп. | и дата |
| 486 | Машук | 8.01.87 | | | | | | | |

Таблица I

| Наименование параметра | Обозначение | Числовое значение, указание |
|--|-------------|--------------------------------------|
| Приведенная циклограмма нагружения | - | Черт. 2 |
| Вид передачи | - | Передача внешнего зацепления |
| Число зубьев шестерни | Z_1 | 20 |
| Передаточное число | u | 2,5 |
| Угол наклона | β | 0 |
| Вспомогательный параметр | Ψ_{bd} | 0,8 |
| Способ термической или химико-термической обработки | | |
| шестерни | - | Улучшение |
| колеса | - | Улучшение |
| Твердость поверхностей зубьев (средняя) | | |
| шестерни | H_{HB1} | 343 HB |
| колеса | H_{HB2} | 271 HB |
| Шлифование переходной поверхности зуба | | |
| шестерни | - | нет |
| колеса | - | нет |
| Деформационное упрочнение или электрохимическая обработка переходной поверхности | | |
| шестерни | - | нет |
| колеса | - | нет |
| Метод изготовления | | |
| шестерни | - | Обкатка исходной производящей рейкой |
| колеса | - | |
| Расположение опор | - | Симметричное |
| Разрезной элемент передачи | - | Колесо |

| | | | |
|--------|----------|--------|------|
| Изм. № | Дата | Изм. № | Дата |
| 486 | 08.07.87 | | |

Таблица 2

| Обозначение параметра | Номер таблицы, пункта, раздела или приложения | Расчетная формула, указание по определению и числовое значение |
|-----------------------|---|---|
| T_1 | Табл. 2.4, п. I | $N_{HE1} = \sum_T \left\{ \left[\frac{T_1(i)}{T_{1(i)}} \right]^3 n_{ц1(i)} \right\} =$ $= 75 \cdot 10^6 + \left(\frac{55}{87} \right)^3 \cdot 60 \cdot 10^6 = 90 \cdot 10^6$ $n_{ц1(i)} = 75 \cdot 10^6 > 0,03 N_{HE1} = 2,7 \cdot 10^6$ $\text{и } n_{ц1(i)} > 5 \cdot 10^4,$ <p>поэтому $T_1 = T_{1H} = T_{1F} = T_{1(i)} = 87 \text{ Н.м}$</p> |
| K_{np} | п. 2.2.2 | Принимаем $K_{np} = 1,4$ |
| T_{np1} | | $T_{np1} = K_{np} T_1 =$ $= 1,4 \cdot 87 = 123 \text{ Н.м}$ |
| K_{HB} | Раздел 2 [25] | Для $\psi_{bd} = 0,8$ $H_1 < 350 \text{ НВ}$, $H_2 < 350 \text{ НВ}$ и симметричным расположением опор $K_{HB} = 1,03$ |
| σ_{Hlimb} | | $\sigma_{Hlimb} = 2 H_{HB} + 70.$ $\sigma_{Hlimb1} = 2 \cdot 343 + 70 = 756 \text{ МПа};$ $\sigma_{Hlimb2} = 2 \cdot 271 + 70 = 612 \text{ МПа}$ |
| S_H | | $S_H = 1,1$ |
| N_{HD} | | <p>Для шестерни $H_1 = 343 \text{ НВ}$ $N_{HD1} = 34 \cdot 10^6$</p> <p>для колеса $H_2 = 271 \text{ НВ}$ $N_{HD2} = 20 \cdot 10^6$</p> |

ИНВ. УЛОМ | ИСП. | И ДАТА | ВЗЯМ. ИНВ. | ИНВ. | ДУСОД | ПОДП. И ДАТА
486 | Шамов | 8.01.87

Продолжение табл. 2

| Обозначение параметра | Номер таблицы, пункта, чертежа, раздела или приложения | Расчетная формула, указание по определению и числовое значение |
|-----------------------|--|--|
| N_{HE} | п. 2.2.7.7. | <p>Учитываем лишь ту часть циклограммы нагружения, в которой число циклов действия нагрузки меньше или равно $2,4 N_{HO}$</p> <p>Для шестерни $2,4 N_{HO1} = 2,4 \cdot 34 \cdot 10^6 = 81,6 \cdot 10^6 < N_{\Sigma 1} = 135 \cdot 10^6$, принимаем $N_{\Sigma 1} = 81,6 \cdot 10^6$;</p> <p>$n_{ц1(1)} = 75 \cdot 10^6$ $n_{ц1(2)} = 81,6 \cdot 10^6 - 75 \cdot 10^6 = 6,6 \cdot 10^6$.</p> <p>Для колеса $2,4 N_{HO2} = 2,4 \cdot 20 \cdot 10^6 = 48 \cdot 10^6 < N_{\Sigma 2} = 62 \cdot 10^6$, принимаем $N_{\Sigma 2} = 48 \cdot 10^6$;</p> <p>$n_{ц2(1)} = 38 \cdot 10^6$ $n_{ц2(2)} = 48 \cdot 10^6 - 38 \cdot 10^6 = 10^7$.</p> <p>$N_{HE1} = \sum_i \left\{ \left[\frac{T_1(i) + 2T_{пр1}}{T_{1H} + 2T_{пр1}} \right]^3 n_{ц(i)} \right\} =$</p> <p>$= 75 \cdot 10^6 + \left(\frac{55 + 2 \cdot 123}{87 + 2 \cdot 123} \right)^3 \cdot 6,6 \cdot 10^6 =$</p> <p>$= 80 \cdot 10^6$</p> <p>$N_{HE2}^n = \sum_i n_{ц(i)} =$</p> <p>$= 38 \cdot 10^6 + 10^7 = 48 \cdot 10^6$</p> |
| K_{HL} | Раздел 2 [25] | <p>$K_{HL1} = 1,0$ $\left(\frac{N_{HE1}}{N_{HO1}} = 2,35 \right)$</p> <p>$K_{HL2}^n = 1,0$ $\left(\frac{N_{HE2}^n}{N_{HO2}} = 2,4 \right)$</p> |

| | | | |
|------------|----------------|------------|--------------|
| Инв. подл. | полп. и дата | Инв. подл. | полп. и дата |
| 486 | Майков 8.01.87 | | |

Продолжение табл. 2

| Обозначение параметра | Номер таблицы, пункта, чертежа, раздела или приложения | Расчетная формула, указание по определению и числовое значение |
|-----------------------|--|---|
| σ_{HP1} | | $\sigma_{HP1} = \frac{0,9 \sigma_{Hlimb1} K_{HL1}}{S_H} =$ $= \frac{0,9 \cdot 756 \cdot I}{I, I} = 618 \text{ МПа}$ |
| σ_{HP2}^n | Табл. 2.4, п.4 | $\sigma_{HP2}^n = \frac{0,9 \sigma_{Hlimb2} K_{HL2}^n}{S_H} =$ $= \frac{0,9 \cdot 612 \cdot I}{I, I} = 501 \text{ МПа}$ |
| σ_{HP} | | $\sigma_{HP} = \min(\sigma_{HP1}; \sigma_{HP2}^n) = 501 \text{ МПа}$ |
| d_1 | П.2.2.6.2 | $d_1 = 770 \sqrt[3]{\frac{(T_{1H} + 2T_{HP1}) K_{H\beta} U + 1}{\psi_{bd} \sigma_{HP}^2} \frac{U}{U}} =$ $= 770 \sqrt[3]{\frac{(87 + 2 \cdot 123) \cdot 1,03}{0,8 \cdot 501^2} \cdot \frac{2,5 + 1}{2,5}} =$ $= 103 \text{ мм}$ |

Таблица 3

| Обозначение параметра | Номер таблицы, пункта, чертежа, раздела или приложения | Расчетная формула, указание по определению и числовое значение |
|-----------------------|--|---|
| z_2 | Табл.2.5 | $z_2 = z_1 U = 20 \cdot 2,5 = 50$ |
| m | | $m = \frac{d_1}{z_1} = \frac{103}{20} = 5,15 \text{ мм}$ <p>Принимаем ближайшее значение по разделу 4 [25]</p> $m = 5 \text{ мм}$ |

ИИР. ИПОЛ ПОИ. И ДАТБ ИЗАМ. ИВВ. ИВ. РДУСА ПОИ. И. ИАТЕ
 486 ИИР. ИПОЛ ПОИ. И ДАТБ ИЗАМ. ИВВ. ИВ. РДУСА ПОИ. И. ИАТЕ 8.01.87

Продолжение табл. 3

| Обозначение параметра | Номер таблицы, пункта, чертежа, раздела или приложения | Расчетная формула, указание по определению и числовое значение |
|-----------------------|--|---|
| b_w | Табл. 2.5 | $b_w = \psi_{bd} d_1 = 0,8 \cdot 103 = 82 \text{ мм}$ |
| b | | <p>Для шестерни</p> $b_1 = b_w = 82 \text{ мм}$ <p>Для части разрезного колеса, закрепленной на валу</p> $b_2^s = \frac{1 + K_{пр}}{1 + 2K_{пр}} b_1 = \frac{1 + 1,4}{1 + 2 \cdot 1,4} 82 = 52 \text{ мм}$ <p>Для части разрезного колеса, незакрепленной на валу</p> $b_2^n = b_1 - b_2^s = 82 - 52 = 30 \text{ мм}$ |

1.5. После проведения геометрического расчета по [17] проводим проверочные расчеты на контактную выносливость и выносливость по изгибу

| | |
|------------|----------------|
| Мин. Инскл | Подп. и дата |
| 486 | Майков 8.01.87 |
| Взам. инв. | Инв. Инв. |
| М. дубл. | Подп. и дата |

2. ПРОВЕРОЧНЫЙ РАСЧЕТ ДЛИТЕЛЬНО РАБОТАЮЩЕЙ ЦИЛИНДРИЧЕСКОЙ
ПЕРЕДАЧИ ВНЕШНЕГО ЗАЦЕПЛЕНИЯ (ПЕРЕДАЧА ГРУППЫ В) С
РАЗРЕЗНЫМ ЗУБЧАТЫМ КОЛЕСОМ

- 2.1. Исходные данные для расчета приведены в табл. 4.
2.2. Расчет на контактную выносливость приведен в табл. 5.
2.3. Расчет на выносливость при изгибе приведен в табл. 6.
2.4. Расчет КПД передачи при различных нагрузках приведен в табл. 7.

Таблица 4

| Наименование параметра | Обозначение | Расчет на контактную выносливость | Расчет на выносливость при изгибе |
|---|-------------|-----------------------------------|-----------------------------------|
| | | Числовое значение, указание | |
| Число зубьев : | | | |
| шестерни | Z_1 | | 20 |
| колеса | Z_2 | | 50 |
| Модуль , мм | m | | 5 |
| Угол наклона | β | | 0 |
| Коэффициент смещения | | | |
| шестерни | x_1 | | 0 |
| колеса | x_2 | | 0 |
| Рабочая ширина венца, мм | b_w | | 82 |
| Ширина венца , мм | | | |
| шестерни | b_1 | | 82 |
| части разрезного колеса, закрепленной на валу | b_2^s | | 52 |
| части разрезного колеса, незакрепленной на валу | b_2^n | | 30 |

Продолжение табл. 4

| Наименование параметра | Обозначение | Расчет на контактную выносливость | Расчет на выносливость при изгибе |
|---|-------------------|-----------------------------------|-----------------------------------|
| | | Числовое значение, указание | |
| Межосевое расстояние, мм | a_w | 175 | |
| Начальный диаметр, мм : | | | |
| шестерни | d_{w1} | 100 | - |
| колеса | d_{w2} | 250 | - |
| Делительный диаметр, мм: | | | |
| шестерни | d_1 | - | 100 |
| колеса | d_2 | - | 250 |
| Диаметр вершин зубьев, мм: | | | |
| шестерни | d_{a1} | - | 110 |
| колеса | d_{a2} | - | 260 |
| Коэффициент торцового перекрытия | ϵ_α | 1,656 | |
| Метод изготовления | | | |
| шестерни | - | Обкатка исходной | |
| колеса | - | производящей рейкой | |
| Степень точности передачи по нормам плавности по [27] | - | 8 | |
| Наличие модификации профиля зуба | - | Зубчатые колеса без модификации | |
| Шероховатость поверхности зуба по [10], мкм | | | |
| шестерни | R_a | - | 5,0(Rz20) |
| колеса | R_a | - | 5,0(Rz20) |

| | | | | | |
|--------|---------|---------|--------|---------|------|
| Изм. № | Исполн. | Дата | Изм. № | Исполн. | Дата |
| 486 | Ильин | 8.01.87 | | | |

Продолжение табл. 4

| Наименование параметра | Обозначение | Расчет на контактную выносливость | Расчет на выносливость при изгибе |
|---|-------------|-----------------------------------|-----------------------------------|
| | | Числовое значение, указание | |
| Окружная скорость, м/с | V | 1,2 | |
| Циклограмма нагружения | - | См. черт. 2 | |
| Реверсивность передачи | - | - | Реверсивная |
| Вид заготовки : шестерни колеса (закрепленная и незакрепленная на валу части) | - - - | - - - | Поковка Поковка |
| Марка стали : шестерни колеса (закрепленная и незакрепленная на валу части) | - - - | 40ХН2МА по [12] 40Х по [12] | |
| Способ термической или химико-термической обработки : шестерни колеса (закрепленная и незакрепленная на валу части) | - - - | Улучшение Улучшение | |
| Шлифование переходной поверхности зуба : шестерни колеса (закрепленная и незакрепленная на валу части) | - - - | - | Зубья не шлифованные |
| Деформационное упрочнение или электрохимическая обработка переходной поверхности : шестерни колеса (закрепленная и | - - - | - | Без упрочнения переход- |

Инв. № подл. 486
 Подп. и дата 8.01.87
 Взам. инв. № 8.01.87
 Инв. № инв. №
 Подп. и дата

Продолжение табл. 4

| Наименование параметра | Обозначение | Расчет на выносливость | Расчет на выносливость при изгибе |
|---|----------------|-----------------------------|-----------------------------------|
| | | Числовое значение, указание | |
| незакрепленная на валу части) | - | - | ной поверхности |
| Твердость поверхности зуба (средняя): шестерни колеса (закрепленная и незакрепленная на валу части) | H_1 H_2 | 343 НВ 271 НВ | |
| Расположение опор | - | Симметричное | |
| Вероятность неразрушения | - | - | 0,99 |
| Разрезной элемент передачи | - | Колесо | |
| Вид пружины | - | Растяжения | |
| Номер конструктивной схемы по табл. 2.1. | - | 3 | |

Таблица 5

| Обозначение параметра | Номер таблицы, пункта, чертежа, раздела или приложения | Расчетная формула, указание по определению и числовое значение |
|-----------------------|--|--|
| Z_H | Раздел 2 [25] | $Z_H = 1,76 \quad (K = 0)$ |
| Z_E | | $Z_E = \sqrt{\frac{4 - \epsilon_\alpha}{3}} = \sqrt{\frac{4 - 1,656}{3}} = 0,88$ |

Инв. №полл Подл. и дата Взам. инв. № Инв. №доул Подл. и дата

486 Майск 8.01.87

Продолжение табл. 5

| Обозначение параметра | Номер таблицы, пункта, чертежа, раздела или приложения | Расчетная формула, указание по определению и числовое значение |
|-----------------------|--|--|
| T_{1H} $T_{пр1}$ | Табл. 2 | $T_{1H} = 87 \text{ Н.м}$ $T_{пр1} = 123 \text{ Н.м}$ |
| $K_{H\beta}$ | Раздел 2 [25] | $K_{H\beta} = 1,03$ ($\psi_{bd} = 0,82$; $H_1 < 350 \text{ НВ}$, $H_2 < 350 \text{ НВ}$) |
| g_0 | | $g_0 = 0,6I$ (степень точности по нормам плавности 8, $m = 5 \text{ мм}$) |
| δ_H | | $\delta_H = 0,006$ ($H_1 = 343 \text{ НВ}$; $H_2 = 271 \text{ НВ}$ зубья прямые без модификации головки) |
| W_{HV} | | $W_{HV} = \delta_H g_0 v \sqrt{\frac{d_w}{u}} =$ $= 0,006 \cdot 6I \cdot 1,2 \sqrt{\frac{175}{2,5}} = 3,67 \text{ Н/мм}$ |
| K_{HV} | П.2.2.7.6 | $K_{HV} = 1 + Y_H ;$ $Y_H = \frac{W_{HV} b_1 d_{w1}}{2000 (T_{1H} + 2T_{пр1}) K_{H\alpha} K_{H\beta}} =$ $= \frac{3,67 \cdot 82 \cdot 100}{2000 (87 + 2 \cdot 123) 1 \cdot 1,03} = 0,04$ (для прямозубых передач $K_{H\alpha} = 1$) $K_{HV} = 1 + 0,04 = 1,04$ |
| σ_H | П.2.2.7.3 | $\sigma_H = \frac{12298 Z_H Z_E}{d_{w1}} \sqrt{\frac{T_{1H} + 2T_{пр1}}{b_1} \frac{u+1}{u} K_{H\beta} K_{HV}^2}$ $= \frac{12298 \cdot 1,76 \cdot 0,88}{100} \times$ $\sqrt{\frac{87 + 2 \cdot 123}{82} \cdot \frac{2,5 + 1}{2,5} 1,03 \cdot 1,04} = 470 \text{ МПа}$ |

ИНВ. КГ 041 Подп. и дата: 486
 Взам. инв. №: 8.01.87
 Подп. и дата:

Продолжение табл.5

| Обозначение параметра | Номер таблицы, пункта, чертежа, раздела или приложения | Расчетная формула, указание по определению и числовое значение |
|-----------------------------|--|---|
| K_{HL} | Раздел 2 [25] | $K_{HL1} = 1,0$; $K_{HL2}^n = 1,0$ (определены в табл.2) |
| σ_{Hlimb} ; S_H | | $\sigma_{Hlimb1} = 756$ МПа; $\sigma_{Hlimb2} = 612$ МПа (для обеих частей разрезного колеса); $S_H = 1,1$. Эти параметры определены в табл.2. |
| Z_R | | $Z_R = 0,90$ ($Rz = 20$ мкм) |
| Z_V | | $Z_V = 1$ ($v = 1,2$ м/с) |
| K_{HN} | | $K_{HN1} = 1$ ($d_{W1} = 100$ мм); $K_{HN2} = 1$ ($d_{W2} = 250$ мм) |
| σ_{HP1} | П.2.2.6.4 | $\sigma_{HP1} = \frac{\sigma_{Hlimb1} K_{HL1}}{S_H} Z_R Z_V K_{HN} =$ $= \frac{756 \cdot 1,0}{1,1} \cdot 0,9 \cdot 1 \cdot 1 = 618$ МПа |
| σ_{HP2}^n | | $\sigma_{HP2}^n = \frac{\sigma_{Hlimb2} K_{HL2}^n}{S_H} Z_R Z_V K_{HN} =$ $= \frac{612 \cdot 1,0}{1,1} \cdot 0,9 \cdot 1 \cdot 1 = 501$ МПа |
| σ_{HP} | П.2.2.6.4 | $\sigma_{HP} = \min(\sigma_{HP1}; \sigma_{HP2}^n);$ $\sigma_{HP} = 501$ МПа |

| | | | | |
|--------|-------------|--------------|--------|------|
| Изм. № | Дата | Взам. инв. № | Изм. № | Дата |
| 486 | Май 8.01.87 | | | |

Продолжение табл.5

| Обозначение параметра | Номер таблицы, пункта, чертежа, раздела или приложения | Расчетная формула, указание по определению и числовое значение |
|-----------------------|--|---|
| - | П.2.2.7.2. | <p>Для неразрезного зубчатого колеса необходимо выполнить условие</p> $\sigma_H \leq \sigma_{HP};$ <p>$\sigma_H = 470 \text{ МПа} < \sigma_{HP} = 501 \text{ МПа},$ условие прочности выполнено</p> |

Таблица 6

| Обозначение параметра | Номер таблицы, пункта, чертежа, раздела или приложения | Расчетная формула, указание по определению и числовое значение |
|-----------------------|--|--|
| T_{1F} | Черт. 2; раздел I [25] | $T_{1F} = T_{1(1)} = 87 \text{ Н.м} \quad (\rho_{ц1(1)} > 5 \cdot 10^4)$ |
| T_{np1} | П.2.2.2 | $T_{np1} = 123 \text{ Н.м}$ (определен в табл.2) |
| F_{TF1} | П.2.2.9.3 | $F_{TF1} = \frac{2000 (T_{1F} + 2 T_{np1})}{d_1} =$ $= \frac{2000 \cdot (87 + 2 \cdot 123)}{100} = 6660 \text{ Н}$ |
| F_{TF2}^S | | $F_{TF2}^S = \frac{2000 (T_{1F} + T_{np1})}{d_1} =$ $= \frac{2000 \cdot (87 + 123)}{100} = 4200 \text{ Н}$ |

Инв. № посл. Попн. и дата Взам. инв. № Инв. № посл. Попн. и дата
 486 ЖАК 8.01.87

Продолжение табл. 6

| Обозначение | Номер таблицы, пункта, чертежа, раздела или приложения | Расчетная формула, указание по определению и числовое значение |
|---------------|--|---|
| F_{TF2}^n | П.2.2.9.3 | $F_{TF2}^n = \frac{2000 T_{прт}}{d_1} =$ $= \frac{2000 \cdot 123}{100} = 2460 \text{ Н}$ |
| $K_{F\alpha}$ | Раздел 6 [25] | $K_{F\alpha} = 1$ (предварительное значение) |
| K_{FB} | | $K_{FB} = 1,07$ ($\psi_{bd} = 0,82$; $H_1 < 350 \text{ НВ}$; $H_2 < 350 \text{ НВ}$ и симметричном расположении опор) |
| g_0 | Раздел 2 [25] | $g_0 = 61$ |
| δ_F | Раздел 6 [25] | $\delta_F = 0,016$ |
| w_F | | $w_{FV} = \delta_F g_0 v \sqrt{\frac{d_w}{u}} =$ $= 0,016 \cdot 61 \cdot 1,2 \sqrt{\frac{175}{2,5}} = 9,8 \text{ Н/мм}$ |
| γ_F | | $\gamma_F = \frac{w_{FV} b_w}{F_{TF} K_{FB} K_{F\alpha}} =$ $= \frac{9,8 \cdot 82}{6660 \cdot 1,07 \cdot 1} = 0,113;$ |
| K_{FV} | | $K_{FV} = 1 + \gamma_F = 1 + 0,113 = 1,113$ |
| Y_F | | <p>При обработке шестерни и колеса исходной производящей рейкой</p> $Y_{F1} = 4,15 \quad (Z_{V1} = Z_1 = 20 ; x_1 = 0)$ $Y_{F2} = 3,73 \quad (Z_{V2} = Z_2 = 50 ; x_2 = 0)$ |
| | | |

| | | |
|--------|---------|---------|
| Изм. № | Исполн. | Дата |
| 486 | Ильин | 8.01.87 |

Продолжение табл.6

| Обозначение параметра | Номер таблицы, пункта, чертежа, раздела или приложения | Расчетная формула, указание по определению и числовое значение |
|-----------------------|--|---|
| Y_E | Раздел 6 [25] | $Y_E = I$ (предварительное значение) |
| σ_{F1} | П.2.2.9.3 | $\sigma_{F1} = \frac{F_{TF1} K_{F\alpha} K_{FB} K_{FV}}{b_1 m} Y_{F1} Y_E =$ $= \frac{6660 \cdot I \cdot I,07 \cdot I,II3}{82 \cdot 5} 4,15 \cdot I = 80 \text{ МПа}$ |
| σ_{F2}^S | П.2.2.9.4 | $\sigma_{F2}^S = \frac{F_{TF2}^S K_{F\alpha} K_{FB} K_{FV}}{b_2^S m} Y_{F2} Y_E =$ $= \frac{4200 \cdot I \cdot I,07 \cdot I,II3}{52 \cdot 5} 3,73 \cdot I = 71,6 \text{ МПа}$ |
| σ_{F2}^n | П.2.2.9.5 | $\sigma_{F2}^n = \frac{F_{TF2}^n K_{F\alpha} K_{FB} K_{FV}}{b_2^n m} Y_{F2} Y_E =$ $= \frac{2460 \cdot I \cdot I,07 \cdot I,II3}{30 \cdot 5} 3,73 \cdot I = 72,8 \text{ МПа}$ |
| σ_{Flimb}^D | Раздел 6 [25] | $\sigma_{Flimb}^D = 1,8 H_{HB} ;$ $\sigma_{Flimb1}^D = 1,8 \cdot 343 = 617 \text{ МПа};$ $\sigma_{Flimb2}^D = 1,8 \cdot 271 = 488 \text{ МПа}$ |
| K_{Fg} | | $K_{Fg1} = K_{Fg2} = I$ |
| K_{Fd} | | $K_{Fd1} = K_{Fd2} = I$ |
| K_{FC1} | П.2.2.9.6 | $K_{FC1} = 0,65$ |
| K_{FC2} | П.2.2.9.7 | $K_{FC2} = I$ |

ЧЕР. КОМП. ПОДП. И ДАТА ВЗАИМ. ИНЖ. ЖЕДУСД ПОДП. И ДАТА
 486
 МАИ 8.01.87

Продолжение табл. 6

| Обозначение параметра | Номер таблицы, пункта, чертежа, раздела или приложения | Расчетная формула, указание по определению и числовое значение |
|-----------------------|--|--|
| S_F' | Раздел 6 [25] | $S_F' = 1,76$ |
| S_F'' | | $S_{F1}'' = S_{F2}'' = 1$ |
| S_F | | $S_F = S_F' S_F'' = 1,76 \cdot 1 = 1,76$ |
| m_F | | $m_F = 6$ ($H_1 < 350$ НВ; $H_2 < 350$ НВ) |
| N_{FE} | П.2.2.9.8 | <p>Проверяем условия для исключения из расчета N_{FE} малых нагрузок</p> $\frac{0,7 \sigma_{Flimb1}^D}{S_F} = \frac{0,7 \cdot 617}{1,76} = 245 \text{ МПа;}$ $\frac{0,7 \sigma_{Flimb2}^D}{S_F} = \frac{0,7 \cdot 488}{1,76} = 194 \text{ МПа}$ $\sigma_{F1(1)} = \sigma_{F1} = 80 \text{ МПа (определено выше)}$ $\sigma_{F1(2)} = \sigma_{F1} \frac{T_{1(2)} + 2 T_{np1}}{T_{1F} + 2 T_{np1}} =$ $= 80 \frac{55 + 2 \cdot 123}{87 + 2 \cdot 123} = 72,3 \text{ МПа;}$ $\sigma_{F2(1)}^S = \sigma_{F2}^S = 70 \text{ МПа (определено выше)}$ $\sigma_{F2(2)}^S = \sigma_{F2}^S \frac{T_{1(2)} + T_{np1}}{T_{1F} + T_{np1}} =$ $= 70 \frac{55 + 123}{87 + 123} = 59 \text{ МПа;}$ |

| | | |
|-------------|----------------|-------------|
| Инд. исполл | Подп. и дата | Изд. и дата |
| 486 | Ильин 30.04.87 | |
| Инд. инв. | Инд. инв. | Изд. и дата |
| | | |

Продолжение табл. 6

| Обозначение параметра | Номер таблицы, пункта, чертежа, раздела или приложения | Расчетная формула, указание по определению и числовое значение |
|-----------------------|--|---|
| | П.2.2.9.8 | Исключаем из расчета нагрузки, которые соответствуют значения σ_F меньше, чем $\frac{0,7 \sigma_{FLimb}^0}{S_F}$, за исключением расчетной $N_{FE1} = n_{41(1)} = 75 \cdot 10^6;$ $N_{FE2}^S = n_{2(1)} = 38 \cdot 10^6;$ $N_{FE2}^n = n_{42(1)} + n_{42(2)} =$ $= 38 \cdot 10^6 + 24 \cdot 10^6 = 62 \cdot 10^6$ |
| N_{FD} | Раздел 6 [25] | $N_{FD} = 4 \cdot 10^6$ |
| K_{FL} | | $K_{FL1} = I \quad (N_{FE1} > N_{FD});$ $K_{FL2}^S = I \quad (N_{FE2}^S > N_{FD});$ $K_{FL2}^n = I \quad (N_{FE2}^n > N_{FD})$ |
| σ_{FLim} | | $\sigma_{FLim1} = \sigma_{FLimb1}^0 K_{Fg1} K_{Fd1} K_{FE1} K_{FL1} =$ $= 617 \cdot I \cdot I \cdot 0,65 \cdot I = 401 \text{ МПа};$ $\sigma_{FLim2}^S = \sigma_{FLimb2}^0 K_{Fg2} K_{Fd2} K_{FE2} K_{FL2}^S =$ $= 488 \cdot I \cdot I \cdot I \cdot I = 488 \text{ МПа};$ $\sigma_{FLim2}^n = \sigma_{FLimb2}^S = 488 \text{ МПа}$ |
| Y_S | | $Y_S = 0,96 \quad (m = 5 \text{ мм})$ |
| Y_R | | $Y_R = I \quad (R_z = 20 \text{ мкм})$ |
| K_{XF} | | $K_{XF1} = I \quad (\sigma_{a1} = 110 \text{ МПа});$ $K_{XF2} = I \quad (\sigma_{a2} = 260 \text{ МПа})$ |

Инв. № 486
 Подп. и дата
 8.01.87
 Инв. № 486
 Подп. и дата

Продолжение табл. 6

| Обозначение параметра | Номер таблицы, пункта, чертежа, раздела или приложения | Расчетная формула, указание по определению и числовое значение |
|-----------------------|--|--|
| σ_{FP} | Раздел 6 [25] | $\sigma_{FP} = \frac{\sigma_{Flim}}{S_F} Y_S Y_R K_{XF};$ $\sigma_{FP1} = \frac{401}{1,76} \cdot 0,96 \cdot I \cdot I = 219 \text{ МПа};$ $\sigma_{FP2}^S = \frac{488}{1,76} \cdot 0,96 \cdot I \cdot I = 266 \text{ МПа};$ $\sigma_{FP2}^n = \frac{488}{1,76} \cdot 0,96 \cdot I \cdot I = 266 \text{ МПа}$ |

П.2.2.9.2

$$\sigma_{F1} = 80 \text{ МПа} < \sigma_{FP1} = 219 \text{ МПа};$$

$$\sigma_{F2}^S = 70 \text{ МПа} < \sigma_{FP2}^S = 266 \text{ МПа};$$

$$\sigma_{F2}^n = 70 \text{ МПа} < \sigma_{FP2}^n = 266 \text{ МПа},$$

условия прочности выполнены, поэтому уточнение $K_{F\alpha}$ и Y_E не производим

5.5. Расчет КПД передачи при различных нагрузках приведен в табл. 7; $T_{пр2} = K_{пр} T_2 = 1,4 \cdot 200 = 280 \text{ Н}\cdot\text{м}.$

Таблица 7

| Обозначение параметра | Номер таблицы, пункта, чертежа, раздела или приложения | Расчетная формула, указание по определению и числовое значение |
|-----------------------|--|--|
| $\eta_3(I)$ | Табл. 2.6, п. I | На участке I (см. черт. I) нагрузка T_{2I} прижимает к неразрезному зубчатому колесу (шестерне) закрепленную на валу часть разрезного зубчатого колеса |

Имя, фамилия, инициалы, дата
 486
 2008.01.27

Продолжение табл.7

| Обозначение параметра | Номер таблицы, пункта, чертежа, раздела или приложения | Расчетная формула, указание по определению и числовое значение |
|-----------------------|--|--|
| | Табл. 2.С, п.1 | $\eta_3 = \frac{1}{1 + \psi \left(2 \frac{T_{np2}}{T_{2(I)}} + 1 \right)}$ <p>где $\psi = 2,3 f \left(\frac{1}{z_1} + \frac{1}{z_2} \right)$.</p> <p>Коэффициент трения f принимаем 0,12</p> $\psi = 2,3 \cdot 0,12 \left(\frac{1}{20} + \frac{1}{50} \right) = 0,019$ $\eta_{3(I)} = \frac{1}{1 + 0,019 \left(2 \frac{280}{200} + 1 \right)} = 0,93$ |
| $\eta_{3(II)}$ | Табл.2.6, п.2 | <p>На участке II (см. черт.1) нагрузка T_{2II} не прижимает к неразрезному зубчатому колесу (шестерне) закрепленную на валу часть разрезного зубчатого колеса</p> $\eta_{3(II)} = \frac{1}{1 + \psi \left(2 \frac{T_{np2}}{T_{2II}} - 1 \right)}$ $= \frac{1}{1 + 0,019 \left(2 \frac{280}{200} - 1 \right)} = 0,966$ |
| η_n | Раздел 10 [25] | $\eta_n = 0,995 \text{ (опоры трения качения)}$ |
| γ_{so} | | <p>Определяем параметр x</p> $x = \frac{H_{HV} \sigma_H^2}{10^5 \gamma}$ <p>H_{HV} - наименьшее значение твердости поверхностей зубьев шестерни и колеса,</p> <p>$H = 272 \text{ HV}$;</p> <p>σ_H - наименьшее значение из σ_H , σ_H^s.</p> $\sigma_H = \sigma_H^s = 466 \text{ МПа};$ |

Инв. № докл. 486
 Подп. и дата 8.01.87
 Инв. № докл. 486
 Подп. и дата 8.01.87

Продолжение табл. 7

| Обозначение параметра | Номер таблицы, пункта, чертежа, раздела или приложения | Расчетная формула, указание по определению и числовое значение |
|-----------------------|--|--|
| | | $x = \frac{272 \cdot 466^2}{10^5 \cdot 1,2} = 492$ |
| | | $\nu_{50} = 125 \text{ мм}^2/\text{с}$ |
| n | Раздел 10 [25] | $n = 2,81 (\nu_{50} = 125 \text{ мм}^2/\text{с})$ |
| ν_t | | При $t = 70^\circ \text{C}$ $\left(\frac{50}{t}\right)^n = 0,38$ $\nu_t = \nu_{50} \left(\frac{50}{t}\right)^n = 125 \cdot 0,38 = 47,5 \text{ мм}^2/\text{с}$ |
| η_p | | Смазка окунанием $\eta_p = 1 - \frac{10,4 \nu b_w \sqrt{\frac{\nu_t}{z_1 + z_2}}}{100 N} =$ $= 1 - \frac{10,4 \cdot 1,2 \cdot 82 \sqrt{\frac{47,5}{20+50}}}{100 \cdot 220} = 0,962$ |
| | | $N = 220 \text{ кВт}$ |
| η | П.2.2.10.1 | $\eta = \eta_3 \eta_n \eta_p ;$ $\eta_I = 0,93 \cdot 0,995 \cdot 0,962 = 0,89 ;$ $\eta_{II} = 0,966 \cdot 0,995 \cdot 0,962 = 0,925$ |

| | | | | |
|--------|----------|--------------|---------------|-------------|
| Изм. № | Дата | Взам. инв. № | Изм. № докум. | Изд. и дата |
| 486 | 20.01.87 | | | |

3. ПРОВЕРОЧНЫЙ РАСЧЕТ ДЛИТЕЛЬНО РАБОТАЮЩЕЙ КОНИЧЕСКОЙ ПЕРЕДАЧИ (ПЕРЕДАЧА ГРУППЫ В) С РАЗРЕЗНЫМ ЗУБЧАТЫМ КОЛЕСОМ

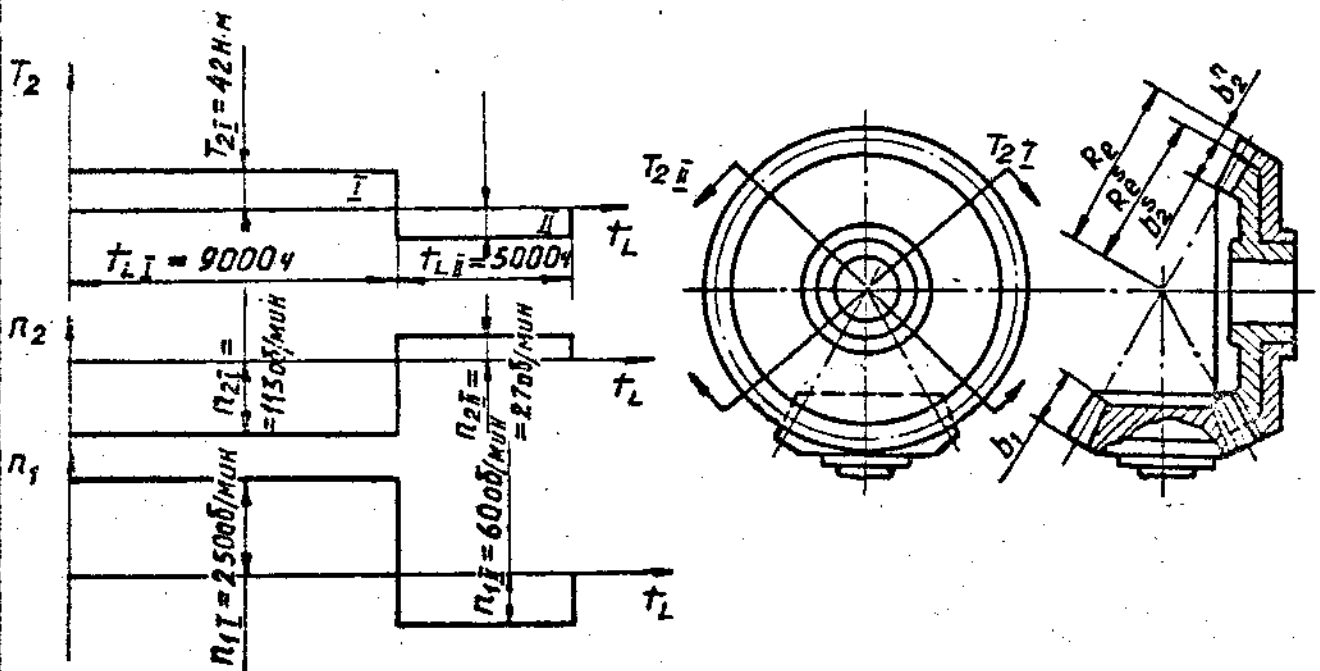
3.1. Исходные данные для расчета приведены в табл.8.

3.2. Расчет КПД зацепления при различных нагрузках приведен в табл.9.

3.3. Расчет на контактную выносливость приведен в табл.10.

3.4. Расчет на выносливость при изгибе приведен в табл.11.

График нагружения и схема действия моментов



Черт.3

Инв. № подл. Подп. и дата. Взам. инв. №. Инв. № подл. Подп. и дата.
486 8.01.87

Таблица 8

| Наименование параметра | Обозначение | Расчет на контактную выносливость | Расчет на выносливость при изгибе |
|---|--------------------|-----------------------------------|-----------------------------------|
| | | Числовое значение, указание | |
| Число зубьев : шестерни колеса | z_1 | | 18 |
| | z_2 | | 40 |
| Внешний окружной модуль, мм | m_e | | 7 |
| Межосевой угол, ...° | Σ | | 90 |
| Внешнее конусное расстояние, мм | R_e | | 131,5 |
| Радиус закругления резцов, мм | ρ_{ko} | | 1,8 |
| Ширина зубчатого венца, мм: шестерни части разрезного колеса, закрепленной на валу части разрезного колеса, незакрепленной на валу | b_1 | | 40 |
| | b_2^s | | 27,3 |
| | b_2^n | | 12,7 |
| Передаточное число | u | | 2,22 |
| Внешний делительный диаметр шестерни, мм | d_{e1} | | 108 |
| Окружная скорость, (на окружности d_1), м/с | v_m | | 1,21 |
| Степень точности передачи по [29] | - | | 8 |
| Шероховатость поверхности зуба по [10], мкм: | | | |
| | шестерни колеса | R_a R_a | 2,5 2,5 |

| | | | | |
|------------|----------------|------------|------------|--------------|
| Инв. №подл | Подп. и дата | Взам. инв. | Инв. №дубл | Подп. и дата |
| 486 | Ширков 8.01.87 | | | |

Продолжение табл. 8

| Наименование параметра | Обозначение | Расчет на контактную выносливость | Расчет на выносливость при изгибе |
|---|----------------|---|-----------------------------------|
| | | Числовое значение, указание | |
| Циклограмма нагружения | - | См. черт. 4 | |
| Реверсивность передачи | - | | Реверсивная |
| Марка стали : шестерни колеса (закрепленная и незакрепленная на валу части) | - | | 40X 40X |
| Способ термической или химико-термической обработки : шестерни колеса (закрепленная и незакрепленная на валу части) | - - | | Улучшение Улучшение |
| Твердость поверхности зуба (средняя) : шестерни колеса (закрепленная и незакрепленная на валу части) | H_1 H_2 | | 304 HB 249 HB |
| Расположение опор | - | Шестерня и колесо имеют двухсторонние опоры | |
| Разрезной элемент передачи | - | Колесо | |
| Число оборотов за время одного цикла нагрузки: шестерни колеса | - - | - - | 2240 1010 |

Инв. № 486
 Подп. и дата
 Взам. инв. № 8.01.87
 Инв. № 486
 Подп. и дата
 Взам. инв. № 8.01.87

Продолжение табл. 8

| Наименование параметра | Обозначение | Расчет на контактную выносливость | Расчет на выносливость при изгибе |
|--|--------------------------|-----------------------------------|-----------------------------------|
| | | Числовое значение, указание | |
| Число реверсов за один цикл нагрузки | — | I | |
| Температура смазочного масла, °C | | Обычные условия | |
| Момент от действия пружин, Н.м | $T_{пр2}$ | 54,5 | |
| Конструктивная схема | — | Табл. 2.8, п. I и черт. 3 | |
| Угол делительного конуса шестерни колеса | δ_1 δ_2 | 21° 13' 40" 65° 46' 20" | |

Таблица 9

| Обозначение параметра | Номер таблицы, пункта, чертежа, раздела или приложения | Расчетная формула, указание по определению и числовое значение |
|-----------------------|--|--|
| η_{3I} | Табл. 2.15, п. I | <p>На участке I (см. черт. 3) нагрузка T_{2I} прижимает к неразрезному зубчатому колесу (шестерне) закрепленную на валу часть разрезного зубчатого колеса</p> $\eta_3 = \frac{1}{1 + \psi \left(2 \frac{T_{пр2}}{T_{2(I)}} + 1 \right)}$ |

Мин. Инвент. Полн. и дата
Взам. инв. Инв. Инвент. Полн. и дата

486
Июль 8.01.87

Продолжение табл. 9

| Обозначение параметра | Номер таблицы, пункта, чертежа, раздела или приложения | Расчетная формула, указание по определению и числовое значение |
|-----------------------|--|--|
| | Табл. 2.15, п. 1 | <p>где $\psi = 3,7 f \left(\frac{\cos \delta_1}{z_1} + \frac{\cos \delta_2}{z_2} \right)$.</p> <p>Коэффициент трения f принимаем 0,12</p> $\psi = 3,7 \cdot 0,12 \left(\frac{\cos 24^\circ 13' 40''}{18} + \frac{\cos 65^\circ 46' 20''}{40} \right) = 0,03$ $\eta_{3I} = \frac{1}{1 + 0,03 \left(2 \frac{54,5}{42} + 1 \right)} = 0,9$ |
| η_{3II} | Табл. 2.15, п. 2 | <p>На участке II (см. черт. 3) нагрузка T_{2II} не прижимает к неразрезному зубчатому колесу (шестерне) зафиксированную на валу часть разрезного зубчатого колеса</p> $\eta_{3II} = \frac{1}{1 + 0,03 \left(2 \frac{T_{пр2}}{T_{2(i)}} - 1 \right)} = \frac{1}{1 + 0,03 \left(2 \frac{54,5}{39} - 1 \right)} = 0,95$ |

3.5. График нагружения (см. черт. 3) преобразуем в приведенную циклограмму нагружения (п. 2.1.3 настоящего стандарта).

Для приведенной циклограммы нагружения определяем следующие параметры:

моменты на шестерне по формулам (п. 2.1.2 настоящего стандарта) учитывая, что на участках I и II колесо - ведомое (п. 2.1.1)

$$T_{II} = \frac{T_{2I}}{u \eta} = \frac{42}{2,22 \cdot 0,9} = 21 ;$$

Инв. № подл. 486
 Подп. и дата 08.01.87
 Разр. и дата
 Инв. № подл.
 Подп. и дата

$$T_{1\bar{II}} = \frac{T_{2\bar{II}}}{u \eta} = \frac{39}{2,22 \cdot 0,95} = 18,5,$$

где $\eta = \eta_{3I} = 0,9$ и $\eta = \eta_{3\bar{II}} = 0,95$ при расчете $T_{1\bar{I}}$ и $T_{1\bar{II}}$ соответственно см. п.2.1.2.

Число циклов перемены напряжений $n_{(i)}$ за время действия нагрузки $T_{1(i)}$ определяют по разделу I [26]

$$n_{ц(i)} = 60 \gamma_w n_{(i)} T_{L(i)}, \quad \text{где } \gamma_w = 1;$$

для шестерни:

$$n_{ц1(1)} = 60 \cdot 1 \cdot 250 \cdot 9000 = 135 \cdot 10^6$$

$$n_{ц1(2)} = 60 \cdot 1 \cdot 60 \cdot 5000 = 18 \cdot 10^6$$

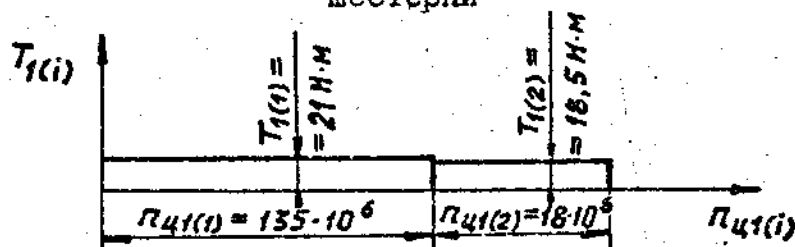
для колеса:

$$n_{ц2(1)} = 60 \cdot 1 \cdot 113 \cdot 9000 = 61 \cdot 10^6$$

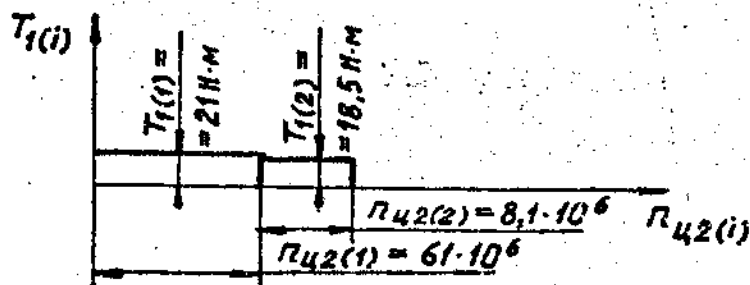
$$n_{ц2(2)} = 60 \cdot 1 \cdot 27 \cdot 5000 = 8,1 \cdot 10^6$$

На приведенной циклограмме нагружения нагрузки, действующие на зубчатое колесо, принимаем положительными и располагаем в порядке уменьшения значений (черт.4)

Приведенная циклограмма нагружения шестерни



колеса



Черт.4

| | | | |
|--------------|--------------|--------------|--------------|
| Инв. № подл. | Взам. инв. № | Инв. № докл. | Подп. и дата |
| 486 | ИИИИИ | 8.01.87 | |

Таблица 10

| Обозначение параметра | Номер таблицы, пункта, чертежа, раздела или приложения | Расчетная формула, указание по определению и числовое значение |
|-----------------------|--|--|
| J_H | Раздел 2 [26] | При $\alpha_n = 20^\circ$, $\beta_n = 0$, $\Sigma = 90^\circ$, $Z_1 = 18$, $Z_2 = 40$, $J_H = 0,075$ |
| Z_H | | $Z_H = \sqrt{\frac{1}{J_H}} = \sqrt{\frac{1}{0,075}} = 3,65$ |
| Z_M | | Для стальных зубчатых колес $Z_M = 234 \text{ Н}^{1/2}/\text{мм}$ |
| T_1 | П. 2.3.2 | При $n_{цт1} = 135 \cdot 10^6 > 200$ принимаем $T_1 = T_{1H} = T_{1F} = T_1 = 21 \text{ Н.м}$ |
| $T_{пр1}$ | | $T_{пр1} = k_{пр} T_1 = 1,3 \cdot 21 = 27,3 \text{ Н.м}$, где $k_{пр} = \frac{T_{пр2}}{T_2} = \frac{54,5}{42} = 1,3$ |
| K_V | Раздел 2 [26] | Для степени точности 8 по [29] и $v_m = 1,21 \text{ м/с}$ $K_V = 1,3$ |
| K_B | | При двухсторонних опорах у шестерни и колеса $K_B = 1,05$ |
| σ_H | Табл. 2.13 | $\sigma_H = \frac{Z_H Z_M}{d_{e1}} \sqrt{\frac{2000 (T_{1H} + 2T_{пр1}) K_V K_B}{b}}$ $= \frac{3,65 \cdot 234}{108} \sqrt{\frac{2000(21 + 2 \cdot 27,3) \cdot 1,3 \cdot 1,5}{40}}$ $= 568 \text{ МПа}$ |
| d_{e1}^s | Табл. 2.12 | $d_{e1}^s = d_{e1} \frac{R_e - b^n}{R_e} = 108 \frac{131,5 - 12,7}{131,5} = 97,56$ |

Числ. Жлоил Подп. и дата
 486
 Инв. инв. Инв. Ждусл Подп. и дата
 8.01.87

Продолжение табл. 10

| Обозначение параметра | Номер таблицы, пункта, чертежа, раздела или приложения | Расчетная формула, указание по определению и числовое значение |
|-----------------------|--|---|
| σ_H^S | Табл. 2.13 | $\sigma_H^S = \frac{Z_H Z_M}{d_{E1}^S} \sqrt{\frac{2000 (T_{1H} + T_{пр1}) K_V K_\beta}{b^S}} =$ $= \frac{3,65 \cdot 234}{97,56} \sqrt{\frac{2000(21+27,3) \cdot 1,8 \cdot 1,05}{27,3}} =$ $= 608 \text{ МПа}$ |
| σ_H^H | | $\sigma_H^H = \frac{Z_H Z_M}{d_{E1}^H} \sqrt{\frac{2000 T_{пр1} K_V K_\beta}{b^H}} =$ $= \frac{3,65 \cdot 234}{108} \sqrt{\frac{2000 \cdot 27,3 \cdot 1,3 \cdot 1,05}{12,7}} =$ $= 605 \text{ МПа}$ |
| N_{H0} | Раздел 2 [26] | $N_{H01} = 25 \cdot 10^6 \text{ при } H_1 = 304 \text{ НВ ;}$ $N_{H02} = 12,5 \cdot 10^6 \text{ при } H_2 = 249 \text{ НВ}$ |
| K_{HL2} | П.2.3.9.4 | <p>При $n_{ц1I} = 135 \cdot 10^6 > N_{H01} = 25 \cdot 10^6$ $n_{ц2I} = 61 \cdot 10^6 > N_{H02} = 12,5 \cdot 10^6$ $K_{HL2} = 1$ (для обеих частей разрезного колеса)</p> |
| σ_{Hlimb2}^0 | Раздел 2 [26] | <p>Для прямозубых зубчатых колес из легированных улучшенных сталей при $H_2 = 249 \text{ НВ}$ $\sigma_{Hlimb2}^0 = 3,2 H_{HB} = 3,2 \cdot 249 =$ $= 797 \text{ МПа}$ (для обеих частей колеса)</p> |
| Z_R | | <p>При шероховатости поверхности $Ra = 2,5$ $Z_R = 1$</p> |
| K_L | | $K_L = 1$ |

| | | | | |
|-------------|----------------|------------|--------------|-------------|
| Изм.-исполн | Подп. и дата | Взам. инв. | Инв. №докум. | Изд. и дата |
| 486 | Уралов 8.01.87 | | | |

Продолжение табл. 10

| Обозначение параметра | Номер таблицы, пункта, чертежа, раздела или приложения | Расчетная формула, указание по определению и числовое значение |
|-----------------------|--|---|
| K_f | | При температуре смазочного масла $t = 65^{\circ}\text{C} \quad K_f = 1$ |
| S_H | Раздел 2 [26] | $S_H = 1,25$ при максимальной надежности |
| σ_{HP2}^S | П. 2.3.9.4 | $\sigma_{HP2}^S = \frac{\sigma_{Hlimb2}^0}{S_H} K_{HL2} Z_R K_L K_f = \frac{797}{1,25} \cdot 1 \cdot 1 \cdot 1 \cdot 1 =$ $= 638 \text{ МПа}$ |
| σ_{HP2}^n | П. 2.3.9.4 | $\sigma_{HP2}^n = \sigma_{HP2}^S = 638 \text{ МПа}$ |
| - | П. 2.3.9.2 | <p>Для части разрезного зубчатого колеса, закрепленной на валу необходимо выполнить условие</p> $\sigma_H^S \leq \sigma_{HP}^S$ $\sigma_{H2}^S = 608 \text{ МПа} < \sigma_{HP2}^S = 638 \text{ МПа}$ <p>Для части разрезного зубчатого колеса, незакрепленной на валу необходимо выполнить условие</p> $\sigma_H^n \leq \sigma_{HP}^n$ $\sigma_{H2}^n = 605 \text{ МПа} < \sigma_{HP2}^n = 638 \text{ МПа}$ <p>Условия прочности выполнены.</p> |

| | | | | |
|--------|----------------|--------------|-------------|--------------|
| Изм. № | Подп. и дата | Взам. инв. № | Инв. № дусл | Подп. и дата |
| 486 | Иванов 8.01.87 | | | |

Продолжение табл. II

| Обозначение параметра | Номер таблицы, пункта, чертежа, раздела или приложения | Расчетная формула, указание по определению и числовое значение |
|-----------------------|--|--|
| σ_{F2}^s | Табл. 2. I4 | $\sigma_{F2}^s = \frac{2000(T_{IF} + T_{np1}) K_Y K_B K_X Y_{F2}}{b^s d_{e1}^s m_e^s} =$ $\frac{2000(2I+27,3)I,30 \cdot I,05 \cdot 0,72 \cdot 4,237}{27,3 \cdot 97,56 \cdot 7} =$ $= 2I \text{ МПа}$ $d_{e1}^s \text{ определено в табл. I0}$ |
| σ_{F2}^n | | $\sigma_{F2}^n = \frac{2000 T_{np1} K_Y K_B K_X Y_{F2}}{b^n d_{e1} m_e} =$ $= \frac{2000 \cdot 27,3 \cdot I,05 \cdot I,30 \cdot 0,72 \cdot 4,237}{I2,7 \cdot I08 \cdot 7} =$ $= 23,2 \text{ МПа}$ |
| σ_{FLimb}^c | П. 2.3. II.4 | <p>Для прямоугольных зубчатых колес из легированных улучшенных сталей</p> <p>при $H_1 = 304 \text{ НВ}$ $\sigma_{FLimb1}^c = 135 \text{ МПа}$;</p> <p>при $H_2 = 249 \text{ НВ}$ $\sigma_{FLimb2}^c = 118 \text{ МПа}$</p> <p>(для обеих частей колеса)</p> |
| N_{FD} | | $N_{FD1} = N_{FD2} = 6 \cdot 10^6$ |
| K_{FL} | | <p>При $\rho_{u1(1)} = 135 \cdot 10^6 > N_{FD1} = 6 \cdot 10^6$</p> <p>$K_{FL1} = I$;</p> <p>При $\rho_{u2(1)} = 61 \cdot 10^6 > N_{FD2} = 6 \cdot 10^6$</p> <p>$K_{FL2} = I$</p> <p>(для обеих частей колеса)</p> |

| | | | | |
|------------|----------------|-------------|------------|--------------|
| Мин. №подл | Подп. и дата | Взаим. инв. | Инв. №досл | Подп. и дата |
| 486 | Иванов 8.01.87 | | | |

Продолжение табл. II

| Обозначение параметра | Номер таблицы, пункта, чертежа, раздела или приложения | Расчетная формула, указание по определению и числовое значение |
|-----------------------|--|---|
| S_F | | $S_F = 2$ |
| Π | Раздел 4 [26] | $\Pi = I + \frac{0,43 P}{\sqrt[12]{W}}$ <p>$P = I$, так как $T_{IF}' = T_{IF}$</p> $W_1 = \frac{2240}{I} = 2240$ $\Pi_1 = I + \frac{0,43}{\sqrt[12]{2240}} = I + \frac{0,43}{1,90} = I + 0,23 =$ $= 1,23$ $\Pi_2 = I \text{ (по п.2.3.II.5)}$ |
| σ_{FP} | | $\sigma_{FP} = \frac{\sigma_{FLimb}^0 K_{FL}}{S_F \Pi}$ $\sigma_{FP1} = \frac{135 \cdot I}{2 \cdot 1,23} = 54,9 \text{ МПа;}$ $\sigma_{FP2}^S = \frac{118 \cdot I}{2 \cdot I} = 59 \text{ МПа;}$ $\sigma_{FP2}^n = \frac{118 \cdot I}{2 \cdot I} = 59 \text{ МПа}$ |
| - | п.2.3.II.2 | $\sigma_{F1} = 18 \text{ МПа} < \sigma_{FP1} = 54,9 \text{ МПа;}$ $\sigma_{F2}^S = 21,5 \text{ МПа} < \sigma_{FP2}^S = 59 \text{ МПа;}$ $\sigma_{F2}^n = 23,2 \text{ МПа} < \sigma_{FP2}^n = 59 \text{ МПа}$ <p>Условия прочности выполнены</p> |

Имя, Имя Отч. Имя Фамилия
 486
 Имя, Имя Отч. Имя Фамилия
 Имя, Имя Отч. Имя Фамилия
 Имя, Имя Отч. Имя Фамилия
 Имя, Имя Отч. Имя Фамилия

4. ПРОВЕРОЧНЫЙ РАСЧЕТ ЧЕРВЯЧНОЙ ПЕРЕДАЧИ С РАЗРЕЗНЫМ ЧЕРВЯЧНЫМ КОЛЕСОМ

4.1. Исходные данные (табл. II)

4.1.1. Схема действия моментов на передачу показана на черт. 5.

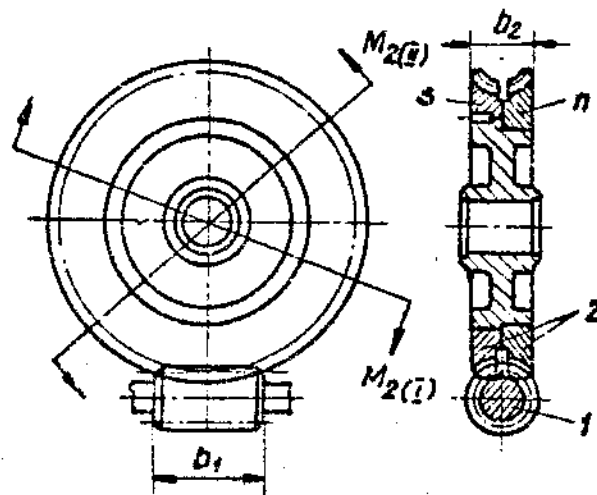
4.1.2. Циклограмма нагружения приведена на черт. 7.

4.2. Проверочный расчет на контактную выносливость приведен в табл. 12.

4.3. Проверочный расчет на выносливость при изгибе приведен в табл. 13.

4.4. Расчет коэффициента полезного действия приведен в табл. 14 (КПД определяют для каждой ступени нагружения).

Схема действия моментов



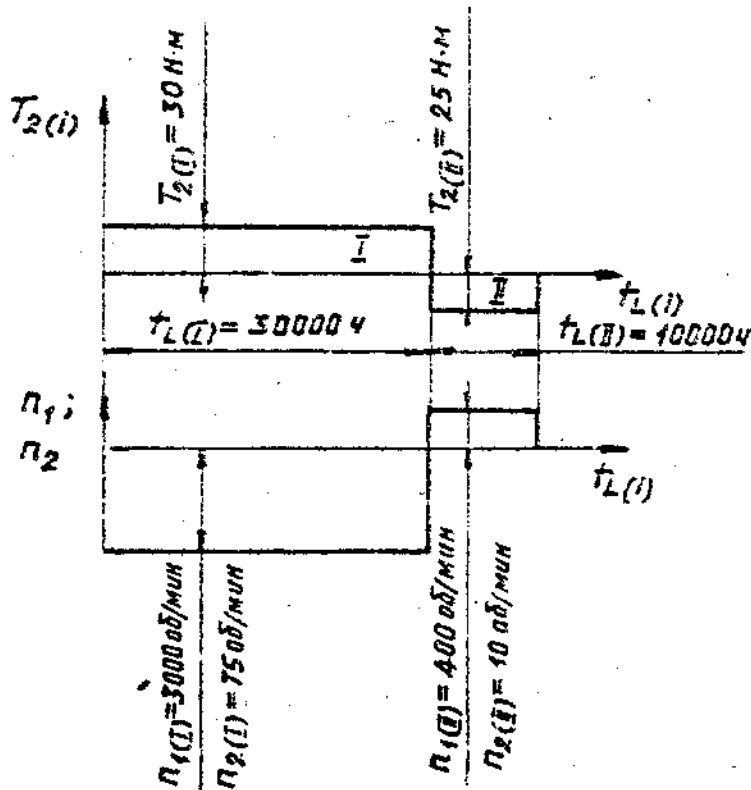
1 - неразрезной червяк ;

2 - разрезное червячное колесо

Черт. 5

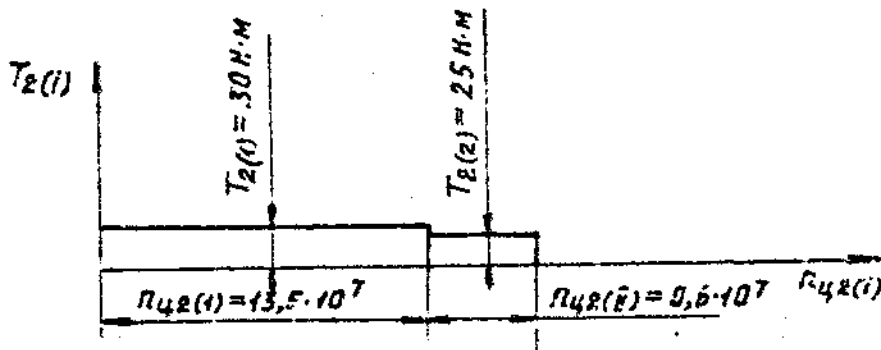
| | | | | |
|-----------|--------------|------------|-----------|--------------|
| Ив. Епидл | Подп. и дата | Взам. инв. | Ив. Епидл | Подп. и дата |
| 486 | Май 8.01.87 | | | |

График нагружения червячного колеса



Черт. 6

Циклограмма нагружения червячного колеса



Черт. 7

| | | | | |
|--------------|--------------|--------------|--------------|--------------|
| Имя, фамилия |
| 486 | Малыш | 8.01.87 | | |

Таблица II

Исходные данные

| Наименование параметра | Обозначение | Расчет по контактным напряжениям | | Расчет по изгибным напряжениям | |
|--|----------------|-----------------------------------|--|--------------------------------|--|
| | | Числовое значение, указание | | | |
| Число витков червяка | z_1 | 2 | | | |
| Число зубьев червячного колеса | z_2 | - | | 80 | |
| Модуль, мм | m | - | | 3 | |
| Коэффициент диаметра червяка | q | 12 | | | |
| Делительный диаметр, мм: червяка червячного колеса | d_1 | 36 | | | |
| | d_2 | 240 | | | |
| Делительный угол подъема | γ | $9^{\circ}27'44''$ | | | |
| Угол профиля исходного контура | α_x | 20° | | | |
| Коэффициент расчетной толщины исходного производящего червяка | S_0^* | - | | 0,5X | |
| Материал зубчатого венца червячного колеса | - | Br010Ф1 по [5] (литье в кокиль) | | | |
| Твердость рабочей поверхности витков червяка | H_1 | $H_1 > 45 \text{ HRC}_9$ | | - | |
| Характеристика нагружения: нагрузка циклограмма нагружения | - - | реверсивная см. черт.7 | | | |
| Характеристика механизма | 7 | Передача группы В | | | |
| Частота вращения, об/мин: червяка червячного колеса | n_1 n_2 | Черт.6 | | | |

Мпр. Исполн. Подп. и дата: 486
 Разм. Исполн. Испол. Подп. и дата: 8.01.87
 Исполн. Исполн. Испол. Подп. и дата:

Продолжение табл. II

| Наименование параметра | Обозначение | Расчет по контактным напряжениям | Расчет по изгибным напряжениям |
|---|-------------|----------------------------------|--------------------------------|
| | | Числовое значение, указание | |
| Степень точности передачи | - | 6 по [23] | |
| Коэффициент смещения червяка | x | - | 0 |
| Диаметр вершин витков червяка, мм | d_{a1} | 42 | |
| Ширина венца червячного колеса, мм | b_2 | $b_2 = 0,75 d_1 = 32$ | - |
| Форма зубчатого венца червячного колеса | - | Форма I (табл. 2.19) | |
| Момент от действия пружин, Н·м | $T_{пр2}$ | 39 | |
| Конструктивная схема | - | по табл. 2.16, п. 6 | |
| Ведущее звено | - | Червяк | |

Таблица 12

Проверочный расчет на контактную выносливость

| Обозначение | Номер таблицы, пункта, чертежа, раздела или приложения | Расчетная формула, указание и числовое значение |
|-------------|--|---|
| T_2 | П. 2.4.2.4 | $T_2 = T_{2(n)} = 30 \text{ Н·м}$, так как $n_{42(n)} = 13,5 \cdot 10^7 > 500$ (см. черт. 7 данного приложения) |
| K_p | П. 2.4.3.1 | $K_p = 2,5$ |

Инв. № подл. Подл. и дата Взам. инв. № Инв. № подл. Подл. и дата

486
 21.05.87

Продолжение табл. 12

| Обозначение | Номер таблицы, пункта, чертежа, раздела или приложения | Расчетная формула, указание и числовое значение |
|----------------|--|--|
| σ_H | Табл. 2.20 | При $z_1 = 2$, $q = 12$ и $b_2 = 0,75 d_{a1}$ $\sigma_H = \frac{16 \cdot 10^3}{d_2} \sqrt{\frac{\kappa_D (T_2 + T_{np2})}{d_1}} =$ $= \frac{16 \cdot 10^3}{240} \sqrt{\frac{2,5 \cdot (30 + 39)}{36}} = 146 \text{ МПа}$ |
| σ_{HPO} | Табл. 2.21, п. 1 | $\sigma_{HPO} = 228 \text{ МПа}$ ($H_I > 45 \text{ HRC}$, материал червячного колеса БрО10Ф1; литье в кокиль) |
| N_{HE2} | Табл. 2.21, п. 2.1 | $N_{HE2} = \sum_i \left\{ \left[\frac{T_2(i) + T_{np2}}{T_2 + T_{np2}} \right]^4 n_{u2(i)} \right\} =$ $= \left(\frac{30 + 39}{30 + 39} \right)^4 \cdot 13,5 \cdot 10^7 + \left(\frac{25 + 39}{30 + 39} \right)^4 \cdot 0,6 \cdot 10^7 =$ $= 13,9 \cdot 10^7$ |
| K_{HL} | Табл. 2.21, п. 2 | $K_{HL} = \sqrt[8]{\frac{10^7}{N_{HE2}}} = \sqrt[8]{\frac{10^7}{13,9 \cdot 10^7}} = 0,72$ |
| σ_{HP} | П. 2.4.3.2 | $\sigma_{HP} = \sigma_{HPO} \cdot K_{HL} = 228 \cdot 0,72 = 164 \text{ МПа}$ |
| - | П. 2.4.3.1 | $\sigma_H = 146 \text{ МПа} < \sigma_{HP} = 164 \text{ МПа},$ условие прочности выполнено. |

| | | | | | |
|--------|-------|----------|--------------|---------------|--------------|
| Изм. № | Подп. | И дата | Взам. инв. № | Инд. № докум. | Подп. и дата |
| 486 | | 08.01.87 | | | |

Таблица 13

Проверочный расчет на выносливость при изгибе

| Обозначение | Номер таблицы, пункта, чертежа, раздела или приложения | Расчетная формула, указание и числовое значение |
|------------------|--|--|
| T_2 ; K_p | Табл. 12 данного приложения | $T_2 = 30 \text{ Н}\cdot\text{м};$ $K_p = 2,5$ |
| Y_{F2} | Черт. 2.12 | $Y_{F2} = 3,45 \text{ (} z_2 = 80; s_o^* = 0,5 \pi \text{)}$ |
| σ_F | Табл. 2.20 | $\sigma_F = \frac{1,35 \cdot 10^3 (T_2 + T_{np2}) K_p Y_{F2}}{d_1 d_2 m \cos \gamma} =$ $= \frac{1,35 \cdot 10^3 \cdot (30 + 39) \cdot 2,5 \cdot 3,45}{36 \cdot 240 \cdot 3 \cdot 0,98639} = 31,4 \text{ МПа}$ |
| σ_{FP}^0 | Табл. 2.25 | $\sigma_{FP}^0 = 55 \text{ МПа}$ (материал червячного колеса Бр010Ф1) |
| N_{FE2} | Табл. 2.24, п. 2.1 | $N_{FE2} = \sum_i \left\{ \left[\frac{T_2(i) + T_{np2}}{T_2 + T_{np2}} \right]^9 n_{42(i)} \right\} =$ $= \left(\frac{30 + 39}{30 + 39} \right)^9 \cdot 13,5 \cdot 10^7 + \left(\frac{25 + 39}{30 + 39} \right)^9 \cdot 0,6 \cdot 10^7 =$ $= 13,8 \cdot 10^7$ |
| K_{FL} | Табл. 2.24, п. 2 | $K_{FL} = \sqrt[9]{\frac{10^6}{N_{FE2}}} = \sqrt[9]{\frac{10^6}{13,8 \cdot 10^7}} = 0,578$ |
| σ_{FP} | П. 2.4.5.2 | $\sigma_{FP} = \sigma_{FP}^0 \cdot K_{FL} = 55 \cdot 0,578 = 31,8 \text{ МПа}$ |
| - | П. 2.4.5.1 | $\sigma_F = 31,4 \text{ МПа} < \sigma_{FP} = 31,8 \text{ МПа},$ условие прочности выполнено |

Инв. № подл. Подл. и дата. Взам. инв. №. Инв. № подл. Подл. и дата.

436
Итого 8.01.87

Таблица I4

Определение КПД передачи

| Обозначение | Номер таблицы, пункта, чертежа, раздела или приложения | Расчетная формула, указание и числовое значение |
|-------------|--|---|
| v_s | П.2.4.3.2 | $v_s = \frac{d_1 n_1}{19000 \cos \gamma}$ $v_{s(I)} = \frac{36 \cdot 3000}{19000 \cdot 0,986} = 5,76 \text{ м/с ;}$ $v_{s(II)} = \frac{36 \cdot 400}{19000 \cdot 0,986} = 0,77 \text{ м/с}$ |
| φ | Черт.2.13 | $\varphi_{(I)} = 1^\circ 30' \text{ (} v_{s(I)} = 5,76 \text{ м/с, материал червячного колеса БрО10Ф1)}$ $\varphi_{(II)} = 3^\circ 24' \text{ (} v_{s(II)} = 0,77 \text{ м/с, материал червячного колеса БрЗ1СФ1)}$ |
| η_3 | Табл.2.27 | <p>Червячное колесо – ведомое.</p> <p>На участке I (см. черт.5 данного приложения) внешний момент $T_2(I)$ прижимает к червяку часть S колеса,</p> $\gamma = 9^\circ 27' 44'' > \varphi_{(I)} = 1^\circ 30'$ $T_1(I) = \frac{[T_2(I) + T_{np2}] \operatorname{tg}(\gamma + \varphi) - T_{np2} \operatorname{tg}(\gamma - \varphi)}{u \operatorname{tg} \gamma} =$ $= \frac{(30 + 39) \operatorname{tg}(9^\circ 27' 44'' + 1^\circ 30') - 39 \operatorname{tg}(9^\circ 27' 44'' - 1^\circ 30')}{40 \operatorname{tg} 9^\circ 27' 44''}$ $= 1,187 \text{ Н} \cdot \text{м}$ $\eta_{3(I)} = \frac{T_2(I)}{T_1(I) u}; \eta_{3(II)} = \frac{30}{1,187 \cdot 40} = 0,63$ <p>На участке II (см. черт.5 данного приложения) внешний момент $T_2(II)$ не прижимает к червяку часть S колеса,</p> $\gamma = 9^\circ 27' 44'' > \varphi_{(II)} = 3^\circ 24'$ $T_1(II) = \frac{T_{np2} \operatorname{tg}(\gamma + \varphi) - [T_{np2} - T_2(II)] \operatorname{tg}(\gamma - \varphi)}{u \operatorname{tg} \gamma} =$ |

Инв. № 001
 Подл. к табл. 2.27
 486
 13.10.8
 8.01.87

Продолжение табл. I4

| Обозначение | Номер таблицы, пункта, чертежа, раздела или приложения | Расчетная формула, указание и числовое значение |
|---------------|--|---|
| | | $\frac{39 \operatorname{tg}(9^{\circ} 27' 44'' + 3^{\circ} 24') - (39-25) \operatorname{tg}(9^{\circ} 27' 44'' - 3^{\circ} 24')}{40 \operatorname{tg} 9^{\circ} 27' 44''}$ $= 1,113 \text{ Н}\cdot\text{м}$ $\eta_{30} = \frac{T_2(\text{II})}{T_1(\text{II}) \nu} = \frac{25}{1,113 \cdot 40} = 0,56$ |
| η_n | Табл. 2.26, п. 2 | $\eta_n = 0,98$ (подшипники трения качения) |
| ν | Табл. 2.26, п. 3. I | <p>В масло погружен червяк.</p> $v_1(\text{I}) = \frac{d_1 n_1(\text{I})}{19000} = \frac{36 \cdot 3000}{19000} = 5,7 \text{ м/с.}$ $v_1(\text{II}) = \frac{d_1 n_1(\text{II})}{19000} = \frac{36 \cdot 400}{19000} = 0,76 \text{ м/с}$ |
| γ_{50} | Табл. 2.29 | $\gamma_{50(\text{I})} = 120 \text{ мм}^2/\text{с} \quad (v_1(\text{I}) = 5,7 \text{ м/с})$ $\gamma_{50(\text{II})} = 180 \text{ мм}^2/\text{с} \quad (v_1(\text{II}) = 0,76 \text{ м/с})$ |
| γ_f | Табл. 2.26, п. 3. 2 | $\gamma_f = \gamma_{50} \left(\frac{50}{f} \right)^{2,6}; \quad f = 70^{\circ};$ $\left(\frac{50}{70} \right)^{2,6} = 0,41 \text{ по графику (черт. 2. I4);}$ $\gamma_f(\text{I}) = 120 \cdot 0,41 = 49,2 \text{ мм}^2/\text{с};$ $\gamma_f(\text{II}) = 180 \cdot 0,41 = 73,8 \text{ мм}^2/\text{с}$ |
| η_p | Табл. 2.26, п. 3 | $\eta_p = 1 - \frac{v_1 b_1 \sqrt{v_1 \gamma_f}}{1,36 N_2 10^6}, \quad b_1 = 70 \text{ мм.}$ <p>где $N_2 = 1,05 \cdot 10^{-4} T_m n_m$,</p> $T_m = \frac{\sum T(i) t_L(i)}{\sum t_L(i)} =$ $= \frac{30 \cdot 30000 + 25 \cdot 10000}{30000 + 10000} = 28,75 \text{ Н}\cdot\text{м}$ $n_m = \frac{\sum n(i) t_L(i)}{\sum t_L(i)}$ |

Инв. № подл. Дата вв. в экз. Инв. № подл. Дата вв. в экз.

436 / 30187

Продолжение табл.14

| Обозначение | Номер таблицы, пункта, чертежа, раздела или приложения | Расчетная формула, указание и числовое значение |
|-------------|--|---|
| | | $n_m = \frac{75 \cdot 30000 + 10 \cdot 10000}{30000 + 10000} = 58,75 \text{ об/мин};$ $N_2 = 1,05 \cdot 10^{-4} \cdot 28,75 \cdot 58,75 = 0,177 \text{ кВт}$ $\eta_{p(I)} = 1 - \frac{5,7 \cdot 70 \sqrt{5,7 \cdot 49,2}}{1,36 \cdot 0,177 \cdot 10^6} = 0,972 ;$ $\eta_{p(II)} = 1 - \frac{0,76 \cdot 70 \sqrt{0,76 \cdot 73,8}}{1,36 \cdot 0,177 \cdot 10^6} = 0,998$ |
| 7 | П.2.4.6.I | $\eta = \eta_z \eta_n \eta_p ;$ $\eta_{(I)} = 0,63 \cdot 0,98 \cdot 0,972 = 0,600 ;$ $\eta_{(II)} = 0,56 \cdot 0,98 \cdot 0,998 = 0,548$ |

| | |
|--------------|---------------|
| Инв. № подл. | Подп. и дата |
| 486 | Машин 8.01.87 |
| Инв. № подл. | Взам. инв. № |
| | Инв. № подл. |
| | Подп. и дата |

5. ПРОВЕРОЧНЫЙ РАСЧЕТ ЧЕРВЯЧНОЙ ПЕРЕДАЧИ С ДВУМЯ ЧЕРВЯКАМИ

5.1. Исходные данные (табл.15)

5.1.1. Схема действия моментов на передачу показана на черт.8.

5.1.2. График нагружения приведен на черт.9.

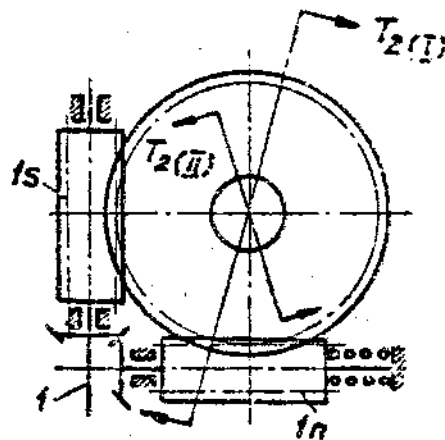
5.1.3. Циклограмма нагружения приведена на черт.10.

5.2. Проверочный расчет на контактную выносливость приведен в табл.16.

5.3. Проверочный расчет на выносливость при изгибе приведен в табл.17.

5.4. Расчет коэффициента полезного действия приведен в табл.18 (КПД определякт для каждой ступени нагружения).

Схема действия моментов



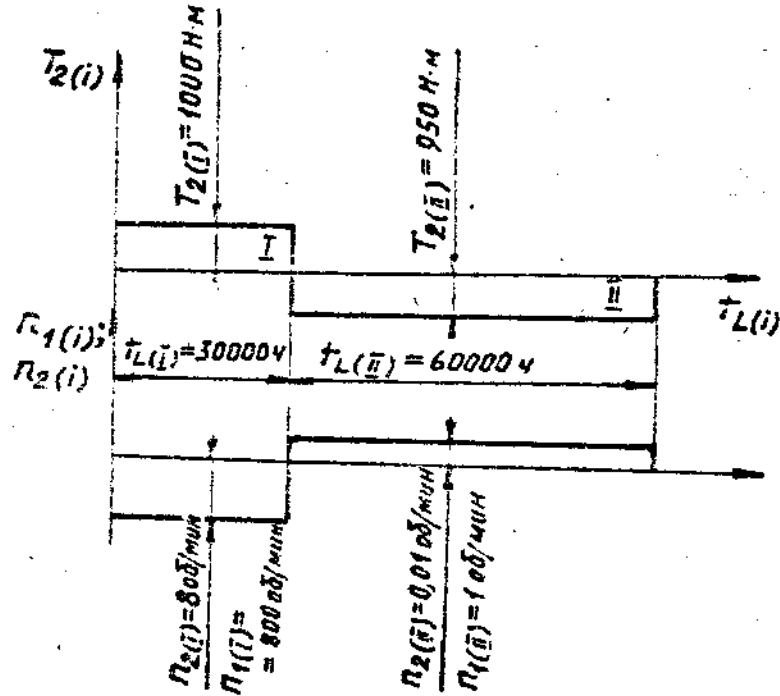
15 – червяк, закрепленный на валу I электродвигателя ;

1n – подпоужиненный червяк

Черт.8

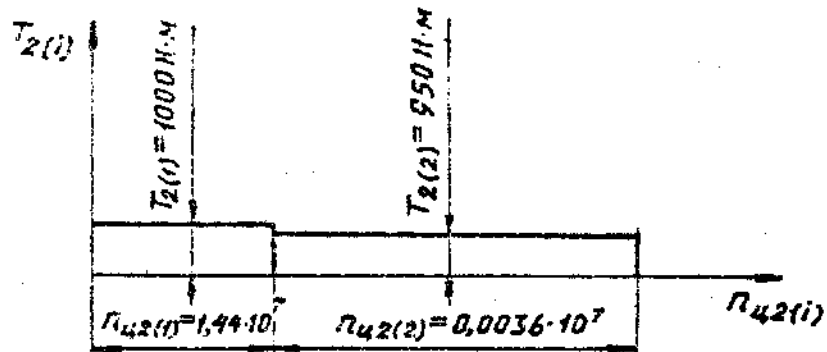
| | | | | |
|-------------|----------------|------------|-------------|--------------|
| Мин. проект | Полн. и дата | Взам. инв. | Мин. проект | Полн. и дата |
| 486 | Иванов 3.01.87 | | | |

График нагружения



Черт. 9

Циклограмма нагружения



Черт. 10

| | | | | |
|------------|--------------|------------|-------------|--------------|
| Имя, Ялоди | Почт. и лата | Взем. инеј | Ирв. Југосл | Полл. и лата |
| 486 | Живковс | 8.01.87 | | |

Таблица 15

Исходные данные

| Наименование параметра | Обозначение | Расчет по контактным напряжениям | Расчет по изгибным напряжениям |
|--|----------------|----------------------------------|--------------------------------|
| | | Числовое значение, указание | |
| Число витков червяка | Z_1 | I | |
| Число зубьев червячного колеса | Z_2 | - | 100 |
| Модуль, мм | m | - | 6 |
| Коэффициент диаметра червяка | q | 16 | |
| Делительный диаметр, мм: червяка червячного колеса | d_1 d_2 | 96 600 | |
| Делительный угол подъема | γ | $3^\circ 34' 55''$ | |
| Угол профиля исходного контура | α_x | 20° | |
| Коэффициент расчетной толщины исходного производящего червяка | S_0^* | - | $0,5\pi$ |
| Материал зубчатого венца червячного колеса | - | БрО10Ф1 по [5] (литье в кокиль) | |
| Твердость рабочей поверхности витков червяка | H_1 | $H_1 > 45 \text{ HRC}_3$ | - |
| Шероховатость рабочей поверхности витков червяка, мкм | Ra | 0,32 | - |
| Характеристика нагружения: нагрузка циклограмма нагружения | - - | реверсивная см. черт. 10 | |

Инв. № 486
 Подп. и дата
 1987 г. 01.01
 Инв. № 486
 Подп. и дата
 1987 г. 01.01

Продолжение табл. I5

| Наименование параметра | Обозначение | Расчет по контактным напряжениям | Расчет по изгибным напряжениям |
|---|----------------|---|--------------------------------|
| | | Числовое значение, указание | |
| Усилие, создаваемое подъемным устройством, Н | F_{np} | 4000 | |
| Характеристика механизма | - | Передача группы В | |
| Частота вращения, об/мин: червяка червячного колеса | n_1 n_2 | См. черт. 9 | |
| Степень точности передачи | - | 7 по [23] | |
| Коэффициент смещения червяка | x | - | 0 |
| Диаметр вершин витков червяка, мм | d_{a1} | 108 | |
| Ширина венца червячного колеса, мм | b_2 | $b_2 = 0,75 d_{a1} = 81$ | - |
| Длина нарезанной части червяка, мм | b_1 | 120 | |
| Форма зубчатого венца червячного колеса | - | Форма I (см. табл. 2.19 основного текста) | |

Таблица I6

Проверочный расчет на контактную выносливость

| Обозначение | Номер таблицы, пункта, чертежа, раздела или приложения | Расчетная формула, указание и числовое значение |
|-------------|--|---|
| T_{np2} | П. 2.5.3 | $T_{np2} = \frac{F_{np} d_2}{2000} = \frac{4000 \cdot 600}{2000} = 1200 \text{ Н}\cdot\text{м}$ |
| T_2 | П. 2.4.2.4 | $T_2 = T_2(1) = 1000 \text{ Н}\cdot\text{м}$ ($n_{ц2}(1) = 1,44 \cdot 10^7 > 500$) |

Дата: 01.08.87
 Подп. и дата: 01.08.87
 Инв. №: 486

Продолжение табл. 16

| Обозначение | Номер таблицы, пункта, чертежа, раздела или приложения | Расчетная формула, указание и числовое значение |
|----------------|--|---|
| K_p | П. 2.4.3.1 | $K_p = 1$ |
| σ_H | Табл. 2.20 | $\sigma_H = \frac{16 \cdot 10^5}{d_2} \sqrt{\frac{K_p (T_2 + T_{np2})}{d_p}} =$ $= \frac{16 \cdot 10^5}{600} \sqrt{\frac{1 (1000 + 1200)}{96}} = 128 \text{ МПа}$ |
| σ_{HPO} | Табл. 2.21, п. 1 | $\sigma_{HPO} = 228 \text{ МПа}$ ($H_I > 45 \text{ НПС}_3$, материал червячного колеса Br01001) |
| N_{HE2} | Табл. 2.21, п. 2.1 | $N_{HE2} = \sum_i \left\{ \left[\frac{T_2(i) + T_{np2}}{T_2 + T_{np2}} \right]^4 n_{4z(i)} \right\} =$ $= \left(\frac{1000 + 1200}{1000 + 1200} \right)^4 \cdot 1,44 \cdot 10^7 + \left(\frac{950 + 1200}{1000 + 1200} \right)^4 \cdot 0,0036 \times$ $\times 10^7 = 1,443 \cdot 10^7$ |
| K_{HL} | Табл. 2.21, п. 2 | $K_{HL} = \sqrt[3]{\frac{10^7}{N_{HE2}}} = \sqrt[3]{\frac{10^7}{1,443 \cdot 10^7}} = 0,955$ |
| σ_{HP} | П. 2.4.3.2 | $\sigma_{HP} = \sigma_{HPO} \cdot K_{HL} = 228 \cdot 0,955 = 218 \text{ МПа}$ |
| - | П. 2.4.3.1 | $\sigma_H = 128 \text{ МПа} < \sigma_{HP} = 218 \text{ МПа}$ <p>условие прочности выполнено</p> |

Исп. лист 486
 Дата 20.01.87
 Взам. инв. № 2.01.87
 Инв. № 486

Продолжение табл. 17

| Обозначение | Номер таблицы, пункта, чертежа, раздела или приложения | Расчетная формула, указание и числовое значение |
|-------------|--|---|
| | | $\sigma_{FR} = \frac{3,7 \cdot 40 \cdot 0,74}{2,7 + \left(\frac{1,2}{1,2+1}\right)} = 33,7 \text{ МПа}$ |
| - | П.2.5.5.1 | $\sigma_F = 29,8 \text{ МПа} < \sigma_{FR} = 33,7 \text{ МПа}$, условие прочности выполнено |

Таблица 18

Определение КПД передачи

| Обозначение | Номер таблицы, пункта, чертежа, раздела или приложения | Расчетная формула, указание и числовое значение |
|-------------|--|--|
| v_s | П.2.4.3.2 | $v_s = \frac{d_1 n_1}{19000 \cos \gamma}$ $v_{s(I)} = \frac{96 \cdot 800}{19000 \cos 3^\circ 34' 55''} = 4,05 \text{ м/с}$ $v_{s(II)} = \frac{96 \cdot 1}{19000 \cos 3^\circ 34' 55''} = 0,005 \text{ м/с}$ |
| φ | Черт.2.13 | $\varphi_{(I)} = 1^\circ 50'$ ($v_{s(I)} = 4,05 \text{ м/с}$, материал червячного колеса БрО10Ф1); $\varphi_{(II)} = 7^\circ 00'$ ($v_{s(II)} = 0,005 \text{ м/с}$, материал червячного колеса БрО10Ф1) |
| $\eta_{кп}$ | Табл.2.32 | $\eta_{кп} = 0,95$ |
| η_3 | | Червячное колесо ведомое Внешний момент $T_2(I)$ прижимает червячное колесо к червяку 1s $\gamma = 3^\circ 34' 55'' > \varphi_{(I)} = 1^\circ 50'$ $T_1(I) = \frac{[T_2(I) + T_{пр2}] \operatorname{tg}(\gamma + \varphi) - T_{пр2} \operatorname{tg}(\gamma - \varphi) \eta_{кп}}{u \operatorname{tg} \gamma}$ |

Изм. № 01 от 30.01.87
 Колл. и дата
 Взам. иншк.
 Иншк. № 30187
 186

Продолжение табл. I 7

| Обозначение | Номер таблицы, пункта, чертежа, раздела или приложения | Расчетная формула, указание и числовое значение |
|---------------|--|--|
| | | $u = \frac{z_2}{z_1} = \frac{100}{1} = 100$ $T_1(I) = \frac{(1000+1200) \operatorname{tg}(3^\circ 34' 55'' + 1^\circ 50')}{100 \operatorname{tg} 3^\circ 34' 55''} - \frac{1200 \operatorname{tg}(3^\circ 34' 55'' - 1^\circ 50') \cdot 0,95}{100 \operatorname{tg} 3^\circ 34' 55''} =$ $= 27,8 \text{ Н}\cdot\text{м}$ $\eta_{3(I)} = \frac{T_2(I)}{T_1(I) u} = \frac{1000}{27,8 \cdot 100} = 0,36$ <p>Внешний момент $T_2(II)$ не прижимает червячное колесо к червяку 1S , $\gamma = 3^\circ 34' 55'' < \varphi(II) = 7^\circ 00'$</p> $T_1(II) = \frac{T_{пр2} \operatorname{tg}(\gamma + \varphi) + [T_{пр2} - T_2(II)] \operatorname{tg}(\varphi - \gamma) \eta_{кп}}{u \operatorname{tg} \gamma \eta_{кп}}$ $= \frac{1200 \operatorname{tg}(3^\circ 34' 55'' + 7^\circ 00')}{100 \cdot \operatorname{tg} 3^\circ 34' 55'' \cdot 0,95} + \frac{(1200 - 950) \operatorname{tg}(7^\circ 00' - 3^\circ 34' 55'') \cdot 0,95}{100 \operatorname{tg} 3^\circ 34' 55'' \cdot 0,95} =$ $= 40,1 \text{ Н}\cdot\text{м}$ $\eta_{3(II)} = \frac{T_2(II)}{T_1(II) u} = \frac{950}{40,1 \cdot 100} = 0,237$ |
| η_n | Табл. 2.26, п. 2 | $\eta_n = 0,98$ (подшипники трения качения) |
| v | Табл. 2.26, п. 3. I | <p>Червяки погружены в масло</p> $v_1(I) = \frac{d_1 n_1(I)}{19000} = \frac{96 \cdot 800}{19000} = 4,04 \text{ м/с}$ $v_1(II) = \frac{d_1 n_1(II)}{19000} = \frac{96 \cdot 1}{19000} = 0,005 \text{ м/с}$ |
| γ_{50} | Табл. 2.29 | $\gamma_{50(I)} = \gamma_{50(II)} = 180 \text{ мм}^2/\text{с}$ |

Имя, Фамилия, Инициалы, Подпись, Дата
 486
 8.01.87

Продолжение табл. IV

| Обозначение | Номер таблицы, пункта, чертежа, раздела или приложения | Расчетная формула, указание и числовое значение |
|-------------|--|---|
| γ_+ | Табл. 2.26, п. 3.2 | $\gamma_+ = \gamma_{50} \left(\frac{50}{t} \right)^{2,6}; \quad t = 70 \text{ }^\circ\text{C}$ $\left(\frac{50}{70} \right)^{2,6} = 0,41 \text{ по графику (черт. 2.14)}$ $\gamma_{+(I)} = \gamma_{+(II)} = 180 \cdot 0,41 = 73,8 \text{ мм}^2/\text{с}$ |
| η_p | Табл. 2.26, п. 3 | $\eta_p = 1 - \frac{v_1 b_1 \sqrt{v_1 \gamma_+}}{1,36 N_2 10^6}; \quad b_1 = 120 \text{ мм}$ $N_2 = 1,05 \cdot 10^{-4} T_m n_m,$ <p>где $T_m = \frac{\sum T(i) t_{L(i)}}{\sum t_{L(i)}} =$</p> $= \frac{1000 \cdot 30000 + 950 \cdot 60000}{30000 + 60000} = 966,7 \text{ Н} \cdot \text{м};$ $n_m = \frac{\sum n(i) t_{L(i)}}{\sum t_{L(i)}} =$ $= \frac{800 \cdot 30000 + 1 \cdot 60000}{30000 + 60000} = 267,3 \text{ об/мин};$ $N_2 = 1,05 \cdot 10^{-4} 966,7 \cdot 267,3 = 27,13 \text{ кВт};$ $\eta_{p(I)} = 1 - \frac{4,04 \cdot 120 \sqrt{4,04 \cdot 73,8}}{1,36 \cdot 10^6 \cdot 27,13} = 0,9998 \approx 1$ $\eta_{p(II)} = 1 - \frac{0,005 \cdot 120 \sqrt{0,005 \cdot 73,8}}{1,36 \cdot 10^6 \cdot 27,13} = 1$ |
| η | П. 2.5.6.1 | $\eta = \eta_3 \eta_n \eta_p$ $\eta_{(I)} = 0,360 \cdot 0,98 \cdot 1 = 0,353;$ $\eta_{(II)} = 0,237 \cdot 0,98 \cdot 1 = 0,232$ |

Инв. № 486
 Колл. и дата
 Инв. № 8.01.87
 Инв. № 8.01.87
 Колл. и дата

Таблица 13

Расчет коэффициентов смещения исходного контура шестерни и колеса

| Обозначение | Номер таблицы или пункта | Расчетная формула, указание по определению и числовое значение |
|--------------|--------------------------|---|
| ω | Табл. 4.2, п. 2 | Принимаем $\omega = 2^\circ$ |
| γ | Табл. 4.2, п. 3 | $\operatorname{tg} \gamma = \operatorname{tg} \omega \operatorname{tg} \alpha =$ $= 0,03492077 \cdot 0,36397023 = 0,012710$ $\gamma = 0^\circ 43' 42''$ |
| $j_{n \min}$ | Табл. 4.2, п. 1.1 | Для $a_w = 1320$ мм и вида сопряжения D по [27] определяем $j_{n \min} = 0,195 \text{ мм}$ |
| $\pm f_a$ | Табл. 4.2, п. 1.3 | По [27] определяем $f_a = \pm 0,100 \text{ мм}$ |
| T_H | Табл. 4.2, п. 1.2 | По [27] определяем $F_{r1} = 0,09 \text{ мм} \quad F_{r2} = 0,14 \text{ мм}$ $T_{H1} = 0,160 \text{ мм} \quad T_{H2} = 0,250 \text{ мм}$ |
| $j_{n \max}$ | Табл. 4.2, п. 1 | $j_{n \max} = j_{n \min} + (T_{H1} + T_{H2} + 2 f_a) 2 \sin \alpha =$ $= 0,195 + (0,160 + 0,250 + 2 \cdot 0,100)$ $2 \cdot 0,3420201 = 0,612 \text{ мм}$ Принимаем $j_{n \max} = 0,7 \text{ мм}$ |
| Δb | Табл. 4.2, п. 4 | $\Delta b = \frac{j_{n \max}}{2 \operatorname{tg} \gamma} =$ $= \frac{0,7}{2 \cdot 0,012710} = 27,5 \text{ мм}$ |

Исполн. _____ Проверил _____ Дата _____
 Взам. инв. № _____ Инст. № _____ Дел. № _____
 456 10000033787

Продолжение табл. 19

| Обозначение | Номер таблицы или пункта | Расчетная формула, указание по определению и числовое значение |
|--------------|--------------------------|--|
| b_1 | Табл. 4.2, п. 5 | $b_1 = b_2 + \Delta b$ $= 160 + 27,5 = 187,5 \text{ мм}$ Принимаем $b_1 = 188 \text{ мм}$ |
| Δx_1 | Табл. 4.2, п. 6 | $\Delta x_1 = \frac{b_1 \operatorname{tg} \omega}{m} =$ $= \frac{188 \cdot 0,03492077}{16} = 0,409$ |
| Δx_2 | Табл. 4.2, п. 7 | $\Delta x_2 = \frac{b_2 \operatorname{tg} \omega}{m} =$ $= \frac{160 \cdot 0,03492077}{16} = 0,349$ |
| x_1^B | Табл. 4.2, п. 8 | Принимаем $x_1^B = 0,15 > x_{\min}$ для $z_1 = 15$ по табл. 4.3 |
| x_1^A | Табл. 4.2, п. 9 | $x_1^A = x_1^B + \Delta x_1 =$ $= 0,15 + 0,409 \approx 0,56$ <p>Проверяем качество зацепления по табл. 4.4</p> |
| x_2^A | Табл. 4.2, п. 10 | Принимаем при $x_z = 0$ $x_2^A = -x_1^B = -0,15$ |
| x_2^B | Табл. 4.2, п. 11 | $x_2^B = -x_2^A - \Delta x_2 =$ $= -0,15 - 0,349 = -0,5$ |

Таблица 20

Проверка нормальной толщины на поверхности вершин

| Обозначение | Номер таблицы или пункта | Расчетная формула, указание по определению и числовое значение |
|---------------|--------------------------|--|
| S_{av}^{A*} | Табл. 4.4, п. I.I | $S_{av}^{A*} = 15 \left(\frac{\sqrt{1}}{2} + 2 \cdot 0,56 \cdot \operatorname{tg} 20^\circ + 0,014904 - 0,12302 \right) = 0,45$ |
| S_{nat}^A | Табл. 4.4, п. I | $S_{nat}^A = S_{av}^{A*} m = 0,45 m$ Условие выполнено |

Окончательно принимаем коэффициенты смещения исходного контура:

для шестерни

на торце А - $x_1^A = 0,56$

на торце Б - $x_1^B = 0,15$

для колеса

на торце А - $x_2^A = -0,15$

на торце Б - $x_2^B = -0,50$

Таблица 21

Расчет основных геометрических параметров

| Обозначение | Номер таблицы или пункта | Расчетная формула, указание по определению и числовое значение |
|--------------------------|--------------------------|--|
| Δc | Табл. 4.5, п. I | $\Delta c = \Delta b + g \omega = 27,5 \cdot 0,03492077 = 0,96 \text{ мм}$ |
| d_{a1}^A d_{a1}^B | Табл. 4.5, п. 2 | $d_{a1}^A = d_1 + 2(h_a^* + x_1^A)m - 2\Delta c$ $d_{a1}^B = d_1 + 2(h_a^* + x_1^B)m - 2\Delta c$ $d_{a1}^A = 240 + 2(1 + 0,56)16 - 2 \cdot 0,96 = 288 \text{ мм}$ |

Подп. и дата

Взам. инж. Инв. Индуол

Подп. и дата

Иванов С.О.И.

406

Продолжение табл. 21

| Обозначение | Номер таблицы или пункта | Расчетная формула, указание по определению и числовое значение |
|--------------------------|--------------------------|---|
| | Табл. 4.5, п. 2 | $d_{a1}^B = 240 + 2(1 + 0,15)16 - 2 \cdot 0,96 = 274,88 \text{ мм}$ |
| d_{a2}^A d_{a2}^B | Табл. 4.5, п. 3 | $d_{a2}^A = d_2 + 2(h_a^* + x_2^A)m - 2\Delta c$ $d_{a2}^B = d_2 + 2(h_a^* + x_2^B)m - 2\Delta c$ $d_{a2}^A = 2400 + 2(1 - 0,15)16 - 2 \cdot 0,96 = 2425,28 \text{ мм}$ $d_{a2}^B = 2400 + 2(1 - 0,5)16 - 2 \cdot 0,96 = 2414,08 \text{ мм}$ |
| h | Табл. 4.5, п. 4 | $h = 2,25m - \Delta c =$ $= 2,25 \cdot 16 - 0,96 = 35,04 \text{ мм}$ |

Таблица 22

Расчет толщины по хорде и высоты до хорды
на делительном диаметре

| Обозначение | Номер таблицы или пункта | Расчетная формула, указание по определению и числовое значение |
|--------------------------------|--------------------------|--|
| \bar{s}_1^A \bar{s}_1^B | Табл. 4.6, п. I | $\bar{s}_1^A = d_1 \sin\left(\frac{\frac{\pi}{2} + 2x_1^A \operatorname{tg} \alpha}{z_1}\right) =$ $= 240 \cdot \frac{\sin(1,5708 + 2 \cdot 0,56 \operatorname{tg} 20^\circ)}{15}$ $= 240 \cdot 0,13189619 = 31,66 \text{ мм}$ |

Изм. № Подл. К дата Взам. Инв. № Инв. № Подл. И дата
486 27.01.87

Продолжение табл. 22

| Сбозначение | Номер таблицы или пункта | Расчетная формула, указание по определению и числовое значение |
|--|--------------------------|---|
| | | $\bar{h}_{a1}^B = 0,5 \left[244,88 - 240 \cos \left(\frac{1,57 + 2 \cdot 0,15}{15} \right) \frac{\operatorname{tg} 20^\circ}{15} \right] = 17,45 \text{ мм}$ |
| \bar{h}_{a2}^A \bar{h}_{a2}^B | Табл. 4.6, п. 4 | $\bar{h}_{a2}^A = 0,5 \left[d_{a2}^A - d_2 \cos \left(\frac{\frac{\pi}{2} + 2x_2^A \operatorname{tg} \alpha}{z_2} \right) \right]$ $\bar{h}_{a2}^B = 0,5 \left[d_{a2}^B - d_2 \cos \left(\frac{\frac{\pi}{2} + 2x_2^B \operatorname{tg} \alpha}{z_2} \right) \right]$ $\bar{h}_{a2}^A = 0,5 \left[2425,28 - 2400 \cos \left(\frac{1,57 + 2 \cdot (-0,15) \operatorname{tg} 20^\circ}{150} \right) \right] = 12,7 \text{ мм}$ $\bar{h}_{a2}^B = 0,5 \left[2414,08 - 2400 \cos \left(\frac{1,57 + 2 \cdot (-0,5) \operatorname{tg} 20^\circ}{150} \right) \right] = 7 \text{ мм}$ |

ИВ. ЭКОЛ Подп. и дата Взам. инв. Инв. № усл. Подп. и дата
 486 2000.01.01.87

ПРИЛОЖЕНИЕ 2

Справочное

УКАЗАНИЯ ПО ОФОРМЛЕНИЮ ЧЕРТЕЖЕЙ ЗУБЧАТЫХ КОЛЕС
ПЕРЕДАЧ С РЕГУЛИРУЕМЫМ БОКОВЫМ ЗАЗОРОМ

I. ЗУБЧАТЫЕ КОЛЕСА С ПЕРЕМЕННЫМ КОЭФФИЦИЕНТОМ СМЕЩЕНИЯ
ПО ДЛИНЕ ЗУБА

I.1. Чертежи зубчатых колес оформляют по [1], учитывая особенности для зубчатых колес с переменным коэффициентом смещения по длине зуба.

I.2. Примеры указания параметров зубчатого венца на чертежах шестерни и колеса приведены на черт. 1 и 2.

I.3. Степени точности 6-9 по [27]

Таблица I

Пояснения к оформлению чертежей зубчатых колес с переменным коэффициентом смещения по длине зуба

| Данные, приводимые на чертеже (обозначение или наименование) | Указание по определению или оформлению |
|--|--|
| 1. Геометрические параметры | Расчет производят по разделу 4 основного текста |
| 2. Предельные отклонения и допуски | <p>$E_{das}, E_{dai}; F_{da}; F_r;$ предельные отклонения базового посадочного отверстия определяют по разделу 2 [27] вид сопряжения В; предельные отклонения опорных шеек вала: степень точности по [27] по нормам контакта 6 ...квалитет по [24] 5 " 7, 8... " 6 " 9 ... " 7</p> |

| | | | | | |
|--------|---------|---------|------------|---------------|-------------|
| Изм. № | Исполн. | Дата | Взам. инв. | Инд. № докум. | Изд. и дата |
| 406 | М.И.И. | 8.01.87 | | | |

Продолжение табл. I

| Данные, приводимые на чертеже (обозначение или наименование) | Указание по определению или оформлению |
|--|--|
| 3. Шероховатость поверхности | Рекомендации приведены в табл. 2 |
| 4. Степень точности (первая часть таблицы параметров) | Указывают только степень точности по [7] |
| 5. $E_{cs}; T_c$ | Определяют по разделу 3 [27], по виду сопряжения В |
| 6. $\Delta \omega$ | <p>Значение $\Delta \omega, \dots$, для шестерни и колеса определяют по формуле</p> $\Delta \omega = 3438 \frac{0,5 E_{das} }{b_1}$ <p>где E_{das} определяют по разделу 2 [27] для шестерни.</p> |
| 7. Базовый торец | Назначение базового торца на чертеже производится конструктором совместно с технологом в зависимости от размеров зубчатого колеса |

| | | | | |
|------------|---------------|--------------|-------------|--------------|
| Инв. №подл | Подп. и дата | Взам. инв. № | Инв. №докум | Подп. и дата |
| 486 | Машин 8.01.87 | | | |

Таблица 2

Шероховатость поверхностей зубчатого колеса

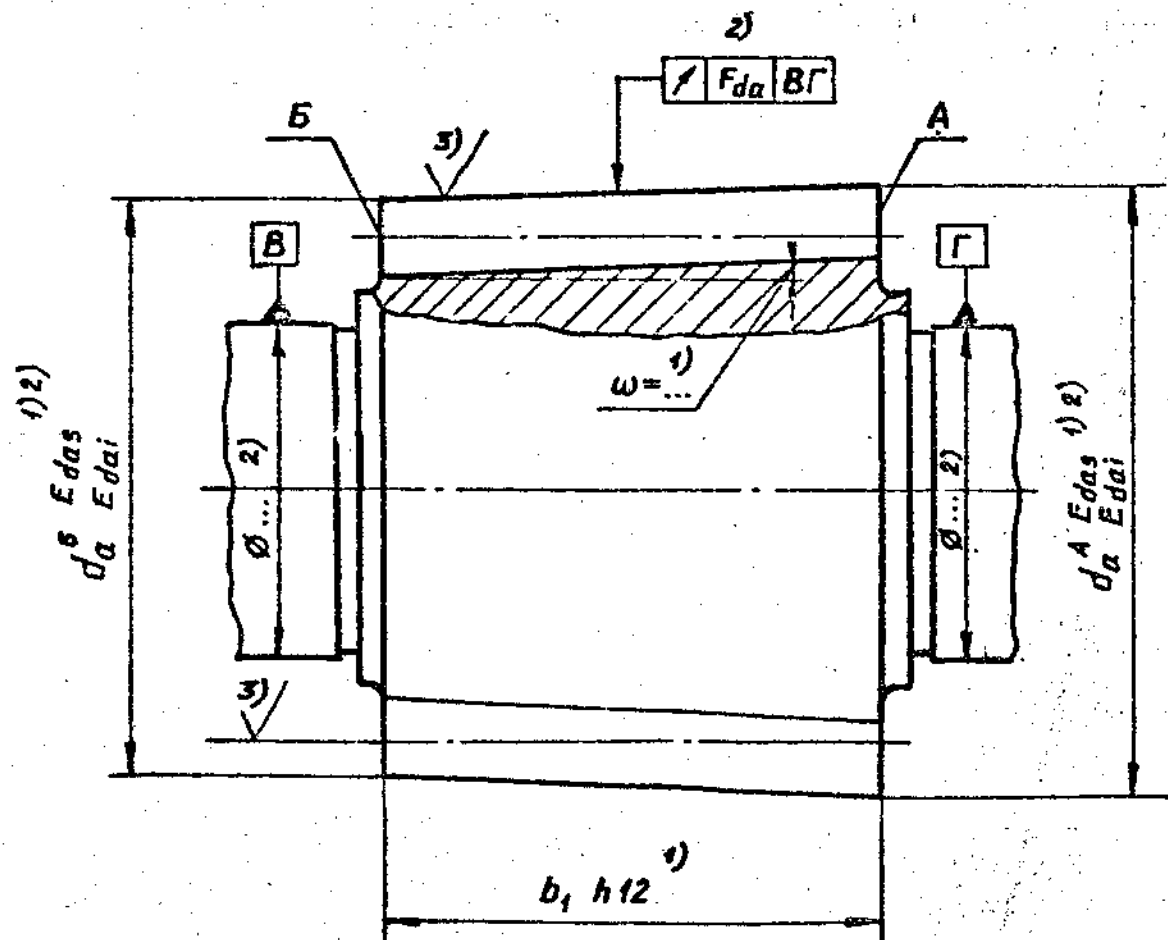
| Наименование поверхности | Степень точности по нормам контакта по [7] | Делительный диаметр d , мм | Модуль m , мм | Среднее арифметическое отклонение профиля Ra по [10] не грубее |
|--|--|------------------------------|-----------------|--|
| Боковая поверхность | 5 ; 6 | - | - | 1,6 |
| | 7 | - | $m \leq 10$ | 3,2 |
| | | - | $m > 10$ | 6,3 (Rz 25) |
| | 8 | - | - | 6,3 (Rz 25) |
| | 9 | - | - | 12,5 (Rz 50) |
| Поверхность вершин зубьев, не являющаяся базой для измерения | 5 - 9 | $d < 300$ | - | 12,5 (Rz 50) |
| | | $d \geq 300$ | - | 25 (Rz 100) |
| Поверхность вершин зубьев, являющаяся базой для измерения | 5 - 8 | $d < 1500$ | - | 3,2 |
| | | $d \geq 1500$ | - | 6,3 (Rz 25) |
| | 9 | - | - | 6,3 (Rz 25) |
| Торцовые плоскости | 5 - 7 | $d < 200$ | - | 3,2 |
| | | $d \geq 200$ | - | 6,3 (Rz 25) |
| | 8 | - | - | 6,3 (Rz 25) |
| | 9 | - | - | 12,5 (Rz 50) |

Примечание. Приведенные значения шероховатости, мкм, боковой поверхности зубьев допускается обеспечивать после обкатки

Исполн. Дата Изм. Конт. Изм. Дата Изм. и дата

486
Изм. 01.87

Вал-шестерня с переменным коэффициентом смещения по длине зуба



| | | |
|---|------------------|---|
| Модуль | m | |
| Число зубьев | Z | |
| Нормальный исходный контур | - | ГОСТ 13755-81 |
| Коэффициент смещения на торце А | x^A | 1) |
| Коэффициент смещения на торце Б | x^B | 1) |
| Степень точности по ГОСТ 1643-81 | - | 4) |
| Толщина по хорде зуба на торце А | \bar{s}_y^A | $\bar{s}_y^A E_{cs}^{1)5)}$ $\bar{s}_y^A (E_{cs} - T_c)$ |
| Высота до хорды на торце А | \bar{h}_{ay}^A | \bar{h}_{ay}^A 1) |
| Толщина по хорде зуба на торце Б | \bar{s}_y^B | $\bar{s}_y^B E_{cs}^{1)5)}$ $\bar{s}_y^B (E_{cs} - T_c)$ |
| Высота до хорды на торце Б | \bar{h}_{ay}^B | \bar{h}_{ay}^B 1) |
| Делительный диаметр | d | 1) |
| Обозначение чертежа сопряженного зубчатого колеса | | |

1. Комплекс показателей точности устанавливается изготовителем по ГОСТ 1643-81

2. Угол ω обеспечивается за счет изменения межосевого расстояния в процессе нарезания между зубчатым колесом и червячной фрезой

3. Допускается вместо измерения толщины зуба на торце Б производить контроль угла ω с допусковым отклонением $+\Delta\omega$ при изготовлении поверхности вершин зубьев и при нарезании зубьев

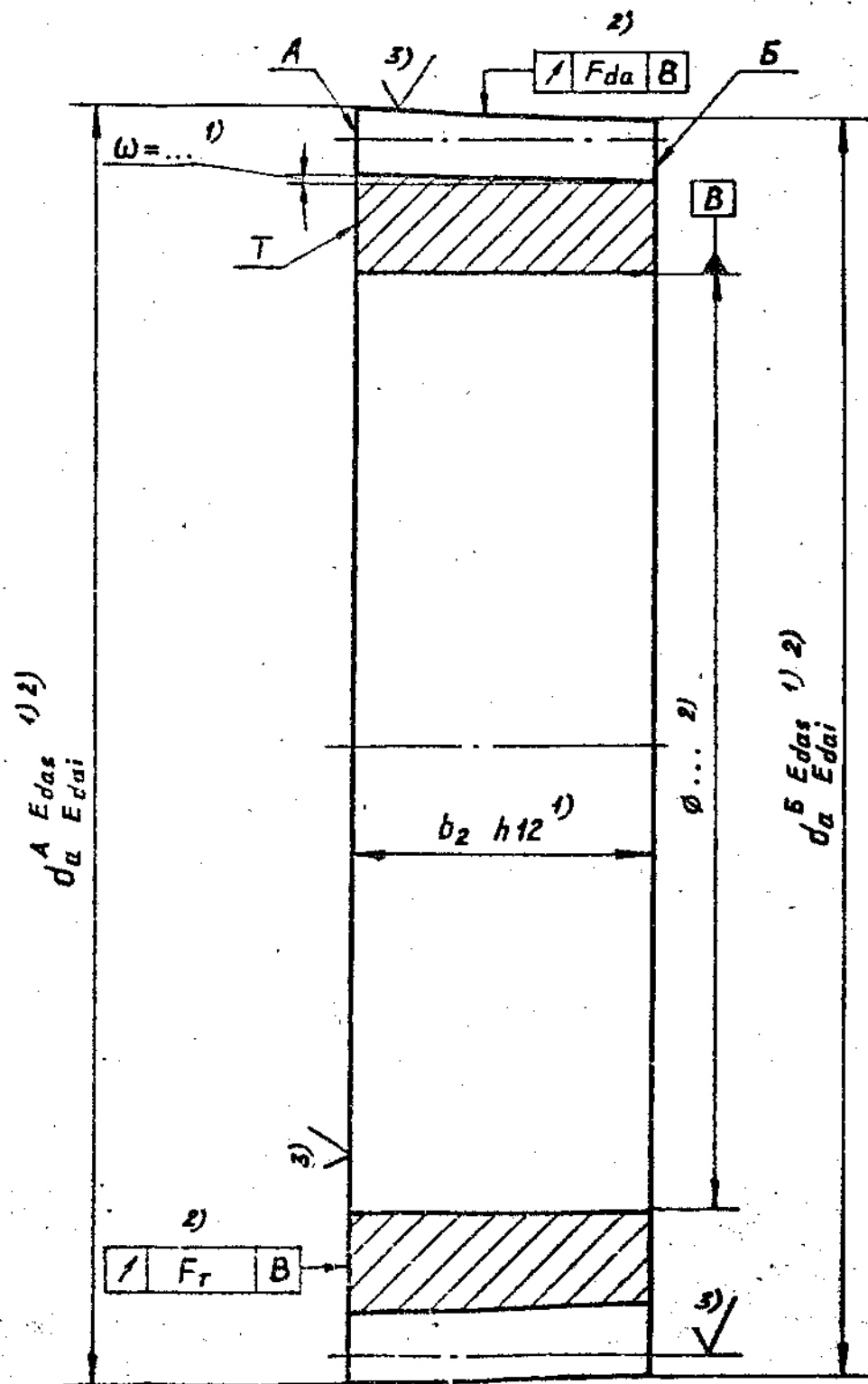
4. Нарезание данного зубчатого колеса и сопряженного с ним производить при неизменной установке копира

Цифрами со скобкой обозначены номера пунктов табл. I, в которой даны пояснения по оформлению чертежа

Черт. I

Инв. № подлин. 486
 Подпись и дата 27.01.87
 Взамен инв. № 10401. Подп. и дата

Колесо с переменным коэффициентом смещения по длине зуба



| | | |
|---|------------------|--|
| Модуль | m | |
| Число зубьев | z | |
| Нормальный исходный контур | - | ГОСТ 13755-81 |
| Коэффициент смещения на торце А | x^A | 1) |
| Коэффициент смещения на торце Б | x^B | 1) |
| Степень точности по ГОСТ 1643-81 | - | 4) |
| Толщина по хорде зуба на торце А | \bar{s}_y^A | $\bar{s}_y^A E_{cs}^{(1)5)}$ $(E_{cs} - T_c)$ |
| Высота до хорды на торце А | \bar{h}_{ay}^A | \bar{h}_{ay}^A 1) |
| Толщина по хорде зуба на торце Б | \bar{s}_y^B | $\bar{s}_y^B E_{cs}^{(1)5)}$ $(E_{cs} - T_c)$ |
| Высота до хорды на торце Б | \bar{h}_{ay}^B | \bar{h}_{ay}^B 1) |
| Делительный диаметр | d | 1) |
| Обозначение чертежа сопряженного зубчатого колеса | | |

1. Базовый торец - Т 7)
2. Комплекс показателей точности устанавливается изготовителем по ГОСТ 1643-81
3. Угол ω обеспечивается за счет изменения межосевого расстояния в процессе нарезания между зубчатым колесом и червячной фрезой
4. Допускается вместо измерения толщины зуба на торце А производить контроль угла ω с допусковым отклонением $+\Delta\omega$ 6) при изготовлении поверхности вершин зубьев и при нарезании зубьев
5. Нарезание данного зубчатого колеса и сопряженного с ним производить при неизменной установке копира

Цифрами со скобкой обозначены номера пунктов табл. I, в которой даны пояснения по оформлению чертежа

Черт. 2

ИВ. № подлин. 486
 Подпись и дата
 8.01.87
 Инв. № подл. 486
 Подп. и дата

2. ЦИЛИНДРИЧЕСКАЯ ПЕРЕДАЧА С РАЗРЕЗНЫМ ЗУБЧАТЫМ КОЛЕСОМ

2.1. Чертежи цилиндрических зубчатых колес оформляют по [1], учитывая особенности разрезных зубчатых колес.

2.2. Примеры указания параметров зубчатого венца на чертежах разрезных зубчатых колес в зависимости от способа нарезания (совместное или раздельное) приведены на черт. 3-6.

2.3. На чертеже неразрезного зубчатого колеса, сопряженного с разрезным, в таблице параметров указывают только степень точности по [7], допускаемые отклонения во второй части таблицы параметров назначают по виду сопряжения В.

Таблица 3

Пояснения к оформлению чертежей разрезных цилиндрических зубчатых колес

| Данные, приводимые на чертеже (обозначение или наименование) | Указание по определению или оформлению |
|--|--|
| 1. Геометрические параметры | Определяют для передач внешнего зацепления по [17] внутреннего зацепления по [19] |
| 2. Предельные отклонения и допуски | $E_{da1}, E_{da2}; F_{da}; F_T$; предельные отклонения базового посадочного отверстия определяют по разделу 2 [27], для вида сопряжения В |
| 3. F_T | Назначают в зависимости от ширины венца закрепляемой на валу части разрезного зубчатого колеса |
| 4. Шероховатость поверхности | Рекомендации по назначению приведены в табл. 2 |

Подл. и дата
 Инв. Инв. Инв.
 Подл. и дата
 486

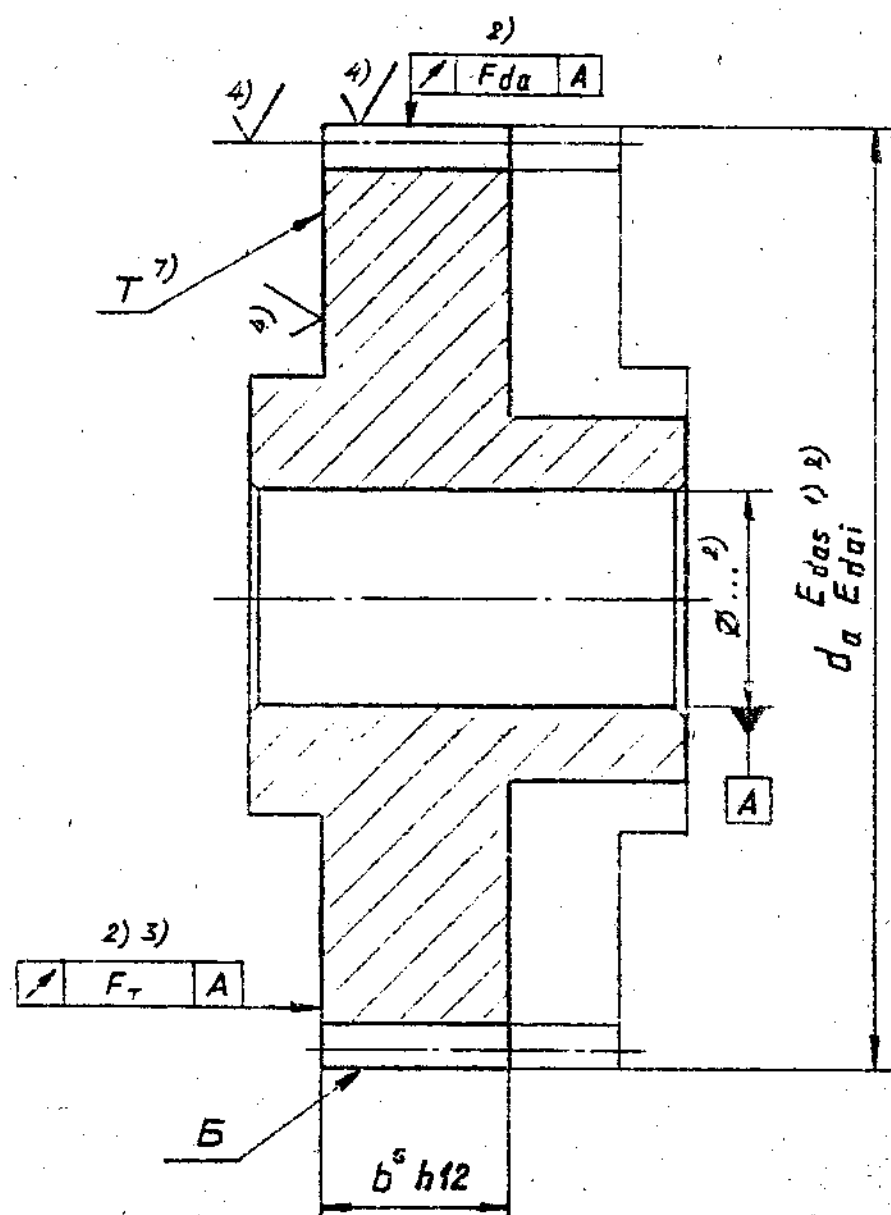
3.01.87

Продолжение табл.3

| | |
|---|---|
| Данные приводи- мые на чертеже (обозначение или наименование) | Указание по определению или оформлению |
| 5. Степень точности | Указывают только степень точности по [7]. При раздельном нарезании зубьев на незакреп- ляемую на валу часть разрезного зубчатого колеса допускается назначать на одну степень грубее, чем на закрепляемую на валу часть |
| 6. Вторая часть таблицы параметров | Указывают размеры, характеризующие взаимное положение разноименных профилей зуба (постоян- ная хорда \bar{S}_c или длина общей нормали W , или размер по роликам M') с допускаемыми отклонениями, которые определяют по разделу 3 [27] , для вида сопряжения В |
| 7. Базовый торец | Назначение базового торца на рабочем черте- же производит конструктор совместно с техноло- гом. |
| 8. Технические требования | При обработке зубчатого колеса зуборезным долбяком в том случае, если увеличение числа зубьев долбяка приведет к увеличению изгибных напряжений, которые превысят допустимые значе- ния, приводят: " Обработку зубьев зубчатого колеса произ- водить зуборезным долбяком с числом зубьев не более ..." |

| | | | | | |
|--------|---------------|--------|--------------|--------|--------------|
| Изм. № | Подп. и дата | Изм. № | Подп. и дата | Изм. № | Подп. и дата |
| 486 | Ильин 3.01.87 | | | | |

Закрепляемая на валу часть разрезного цилиндрического
зубчатого колеса (совместное нарезание зубьев)



| | | |
|---|----------|---------------|
| Модуль | <i>m</i> | |
| Число зубьев | <i>z</i> | |
| Нормальный исходный контур | - | ГОСТ 15755-81 |
| Коэффициент смещения | <i>x</i> | |
| Степень точности по ГОСТ 1643-81 | - | 5) |
| 6) | | 4) |
| Делительный диаметр | <i>d</i> | [] 1) |
| Высота зуба | <i>h</i> | [] 1) |
| Обозначение чертежа сопряженного зубчатого колеса | | |

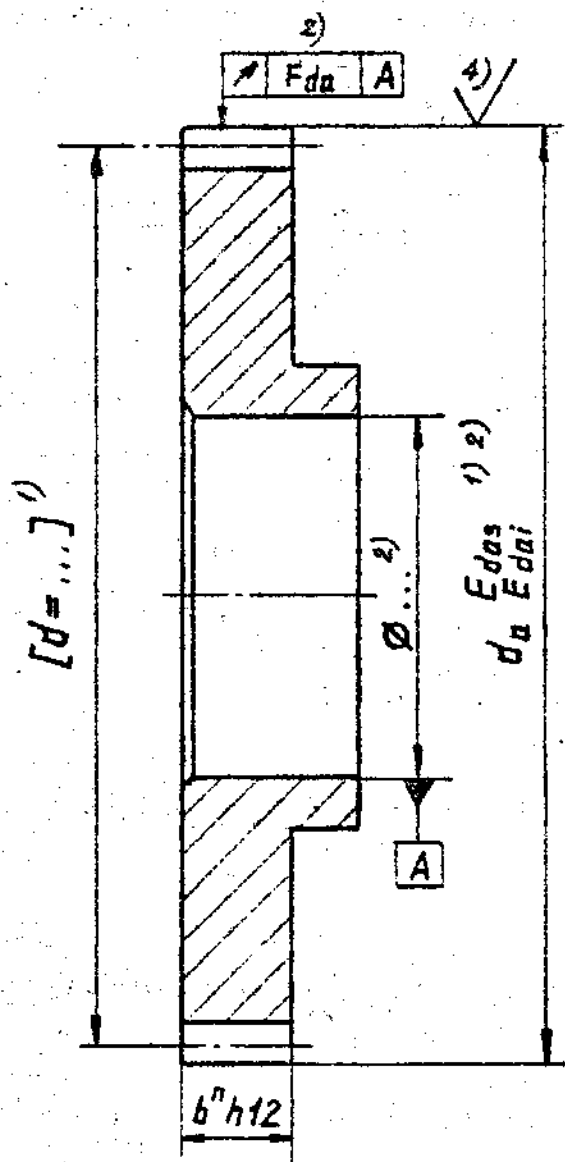
1. Базовый торец - Т 7)
2. Комплекс показателей точности устанавливается изготовителем по ГОСТ 1643-81
3. Обработку по размерам *b* в квадратных скобках производить совместно с дет. ...
Детали применять совместно.
4. Показатели точности и размеры, приведенные во второй части таблицы параметров, контролировать только на венце Б (дет. ...)
5. ... 8)

Цифрами со скобкой обозначены номера пунктов табл. 3, в которой даны пояснения по оформлению чертежа

Черт. 3

Инв. № подлин. 486
Подпись и дата 01.08.87
Взамен инв. № 486
Подпись и дата 01.08.87

Незакрепляемая на валу часть разрезного цилиндрического
зубчатого колеса (совместное нарезание зубьев)



Обработку по размерам в квадратных скобках произ-
водить совместно с дет...
Детали применять совместно

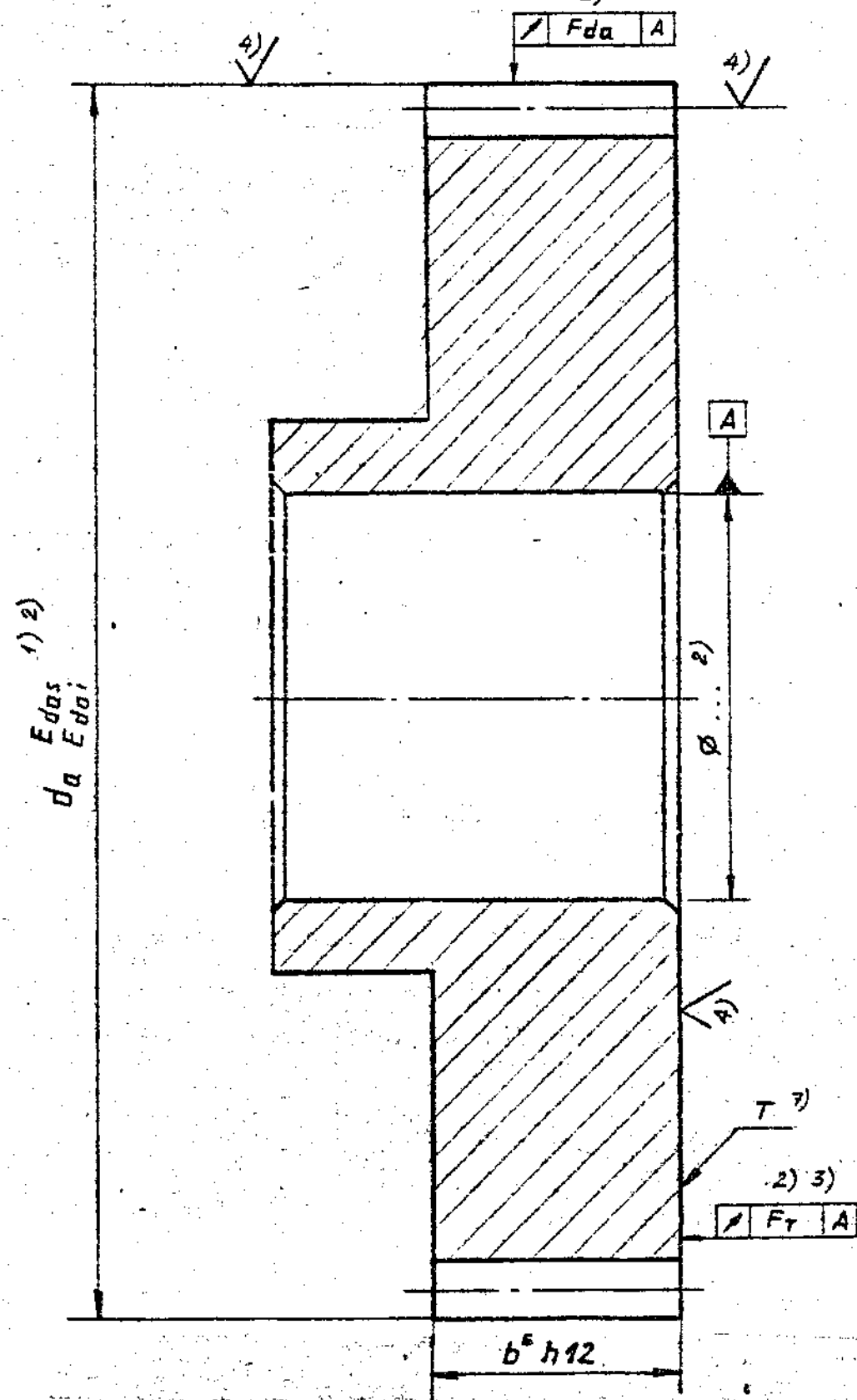
Цифрами со скобкой обозначены номера пунктов табл.3, в которой
даны пояснения по оформлению чертежа

Черт.4

| Име. №подл | Подп. и дата | Взам. инв. № | Инв. №дубл | Подп. и дата |
|------------|----------------|--------------|------------|--------------|
| 486 | Мамыш. 8.01.87 | | | |

Закрепляемая на валу часть разрезного цилиндрического зубчатого колеса

(раздельное нарезание зубьев)



| | | |
|---|---|---------------|
| Модуль | m | |
| Число зубьев | z | |
| Нормальный исходный контур | - | ГОСТ 13755-81 |
| Коэффициент смещения | x | |
| Степень точности по ГОСТ 1643-81 | - | 5) |
| 6) | | 1) |
| Делительный диаметр | d | 1) |
| Высота зуба | h | 1) |
| Обозначение чертежа сопряженного зубчатого колеса | | |

1. Базовый торец - Т 7)
2. Комплекс показателей точности устанавливается изготовителем по ГОСТ 1643-81
3. ... 8)

Цифрами со скобкой обозначены номера пунктов табл.3, в которой даны пояснения по оформлению чертежа

Черт.5

Инв. № подлин. Подпись и дата. Взам. Инв. №. Инв. № дубл. Подп. и дата.
486 8.01.87

1) 2)
E da s
da

2) 3)
F r A

T 7)

A)

phi ... 2)

A

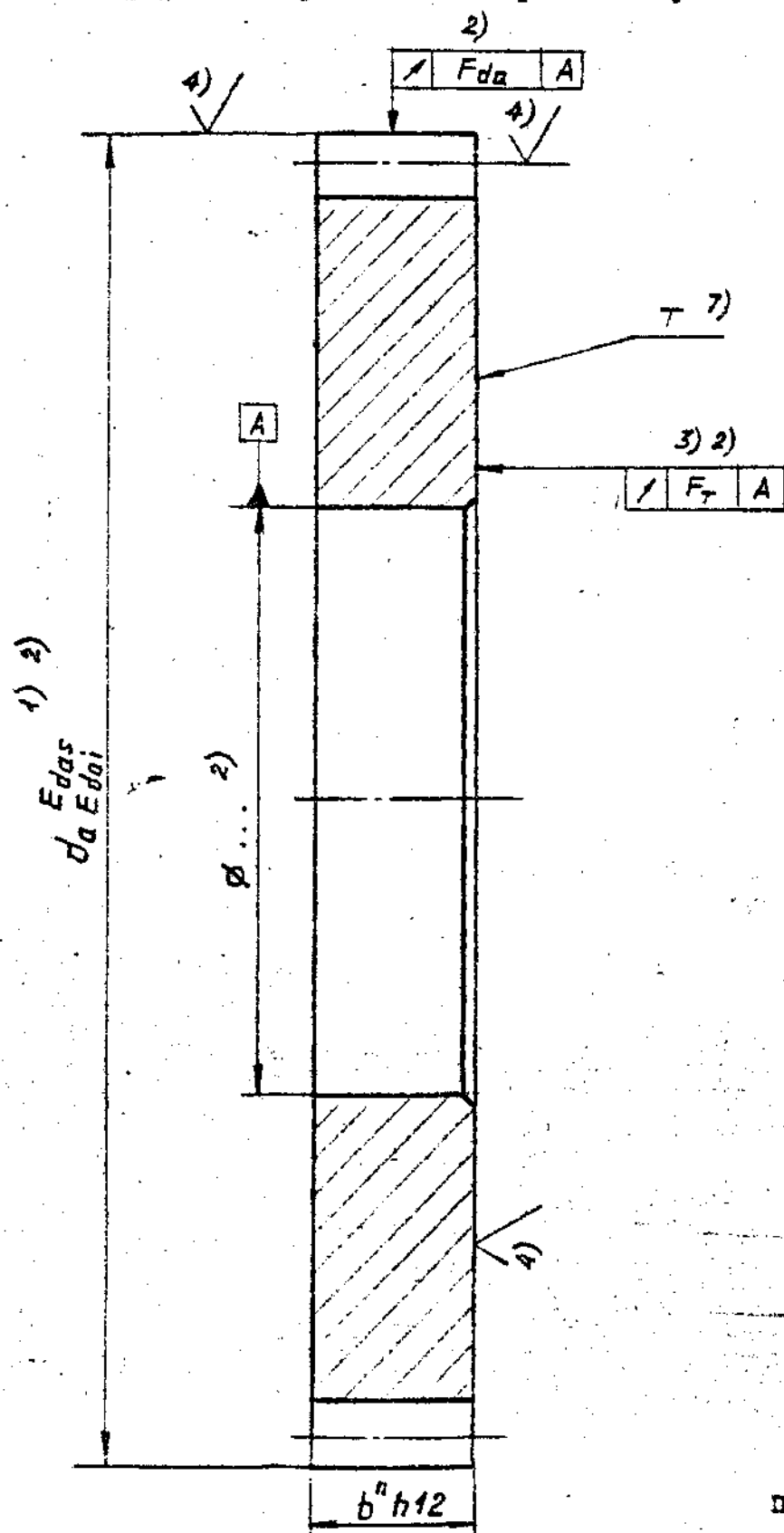
F da A

4)

4)

b^* h12

Незакрепляемая на валу часть разрезного цилиндрического зубчатого колеса
(раздельное нарезание зубьев)



| | | |
|---|-----|---------------|
| Модуль | m | |
| Число зубьев | z | |
| Нормальный исходный контур | - | ГОСТ 13755-81 |
| Коэффициент смещения | x | |
| Степень точности по ГОСТ 1643-81 | - | 7, 5) |
| 6) | | 1) |
| Делительный диаметр | d | 1) |
| Высота зуба | h | 1) |
| Обозначения чертежа сопряженного зубчатого колеса | | |

1. Базовый торец - Т 7)
2. Комплекс показателей точности устанавливается изготовителем по ГОСТ 1643-81
3. 8)

Цифрами со скобкой обозначены номера пунктов табл.3, в которой даны пояснения по оформлению чертежа

Черт.6

| | | | | |
|------------|----------------|--------------|--------------|--------------|
| № поз. лн. | Поспись и дата | Взам. инв. № | Инв. № дубл. | Подп. и дата |
| 486 | Майков 8.01.87 | | | |

3. КОНИЧЕСКАЯ ПЕРЕДАЧА С РАЗРЕЗНЫМ ЗУБЧАТЫМ КОЛЕСОМ

3.1. Чертежи конических зубчатых колес оформляют по [2], учитывая особенности разрезных зубчатых колес.

3.2. Примеры указания параметров зубчатого венца на чертежах разрезных зубчатых колес в зависимости от расположения частей относительно внешнего дополнительного конуса приведены на черт. 7-10.

3.3. На чертеже неразрезного зубчатого колеса, сопряженного с разрезным, в таблице параметров указывают только степень точности по [8], допускаемые отклонения во второй части таблицы параметров назначают по виду сопряжения В.

Таблица 4

Пояснения к оформлению чертежей разрезных
конических зубчатых колес

| Данные приводимые на чертеже (обозначение или наименование) | Указание по определению или оформлению |
|---|--|
| 1. Геометрические параметры | Определяют по [20] |
| 2. Предельные отклонения и допуски | $E_{\phi s}, E_{\phi i}; E_{das}, E_{dai}; F_{\delta a}; E_{\delta as}, E_{\delta ai}; F_T; E_{cs}, E_{ci}$ определяют по обязательному приложению 2 [29] для вида сопряжения В; $\pm f_{AM}$ определяют по разделу 2 [29] |
| 3. δ_v | $\delta_v = 90 - \delta$ |
| 4. C | $C = A - B,$ где A - базовое расстояние, принимают |

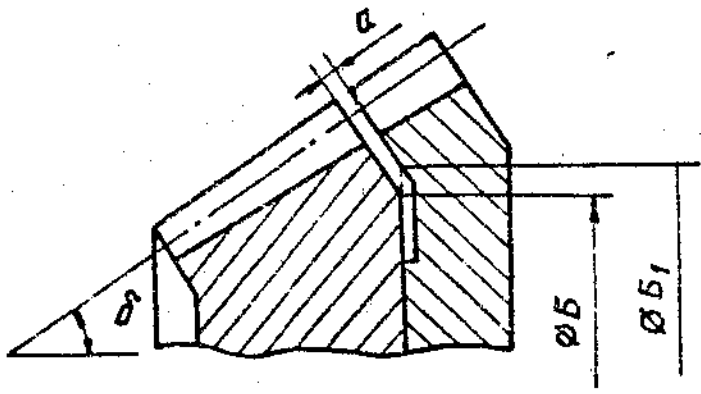
Инв. № подл. и дата
486
Взам. инв. №
Инд. 8.01.87
Инв. № подл. и дата
Подп. и дата

Продолжение табл. 4

| Данные приводи- мые на чертеже (обозначение или наименование) | Указание по определению или оформлению |
|---|---|
| 10. Базовый торец | Назначение базового торца на рабочем чертеже производится конструктором совместно с технологом. |
| 11. σ_f | <p>Угол сходимости линий основания зуба σ_f, \dots°, определяют по формуле</p> $\sigma_f = \sigma_{fn} - \frac{\frac{180}{\pi} 0,5 E_s c_s }{R_e \cos \theta_f},$ <p>где σ_{fn} - номинальное значение угла сходимости линий основания зуба, \dots°, определяют по формуле</p> $\sigma_{fn} = \frac{\frac{180}{\pi} \left[\frac{\pi m_e}{4} + (h_a^* + c^*) m_e \operatorname{tg} \alpha \right]}{R_e \cos \theta_f}$ <p>значения R_e, θ_f определяют по [20] при $\chi_1 + \chi_2 = 0$ θ_f определяют из формулы $\operatorname{tg} \theta_f = \frac{1,2 m_e}{R_e}$</p> |
| 12. Вторая часть таблицы параметров | Рекомендации по заполнению приведены в справочном приложении 5 [29] , вид сопряжения В. |
| 13. b^n | <p>Ширина венца b^n определяется из расчета на прочность или конструктивно.</p> <p>Для зубчатых колес с плоскосрезанным внутренним торцом ширину венца определяют по формуле</p> $b^n = \frac{M^n - c + 0,5 (d_{ae}^n - d_e^n) \operatorname{tg} \delta}{\cos \delta}$ <p>где d_{ae}^n и d_e^n диаметр вершин и внешний</p> |

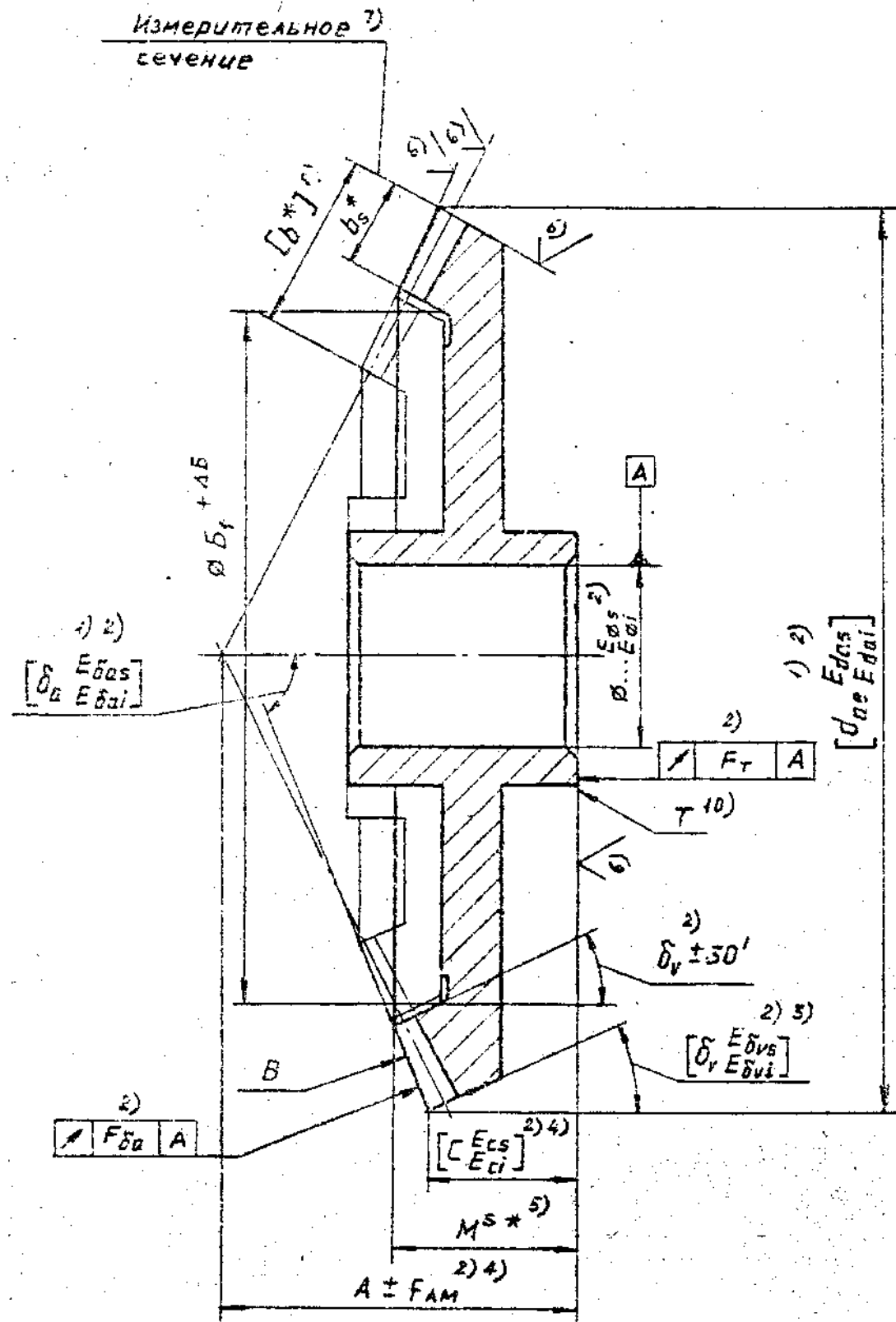
Инв. № 486
 Поп. и дата
 8.01.87
 Инв. № 486
 Поп. и дата
 8.01.87
 Инв. № 486
 Поп. и дата
 8.01.87

Продолжение табл. 4

| Данные, приводимые на чертеже (обозначение или наименование) | Указание по определению или оформлению |
|--|--|
| | делительный диаметр части разрезного зубчатого колеса, незакрепленной на валу, определяют по [20] |
| 14. b^s | <p>Ширина венца b^s определяется из расчета на прочность или конструктивно.</p> <p>Для зубчатых колес с плоскосрезанным внутренним торцом ширину венца определяют по формуле</p> $b^s = \frac{M^s - c + 0,5(d_{ae}^s - d_e^s) \operatorname{tg} \delta}{\cos \delta},$ <p>где d_{ae}^s и d_e^s диаметр вершин и внешний делительный диаметр части разрезного зубчатого колеса, закрепленной на валу, определяют по [20]</p> |
| 15. $\phi B - \Delta B$ $\phi B_1 + \Delta B$ | <p>Соотношение B и B_1 видно из формулы</p> $B_1 - B = \frac{a}{\sin \delta},$ <p>где $a = 0,5 - 1,0$ мм $\Delta B = 0,1m$ при $m \leq 10$ мм $\Delta B = 0,05m$ при $m > 10$ мм</p>  |

| | | | | | | | | |
|-----|---------|---------|---------|------|--------|------|---|-------|
| 436 | Исполн. | Провер. | Дата | Изд. | Листов | Изм. | и | Листа |
| | | | 8.01.87 | | | | | |

Расположенная у внешнего дополнительного конуса закрепляемая на валу часть разрезного конического зубчатого колеса (совместное нарезание зубьев)



| Средний окружной модуль | m_m | |
|---|------------|-----|
| Внешнее конусное расстояние | R_e | [] |
| Среднее конусное расстояние | R | [] |
| Средний делительный диаметр | d | [] |
| Угол конуса впадин | δ_f | [] |
| Внешняя высота зуба | h_e | [] |
| Обозначение чертежа сопряженного зубчатого колеса | | |

| Внешний окружной модуль | m_e | |
|--------------------------------------|----------|---------------|
| Число зубьев | Z | |
| Тип зуба | - | Прямой |
| Исходный контур | - | ГОСТ 15754-81 |
| Коэффициент смещения | x_e | |
| Коэффициент изменения толщины зуба | x_τ | |
| Угол делительного конуса | δ | [] |
| Степень точности по ГОСТ 1758-81 | - | 9) |
| Размеры зуба в измерительном сечении | | 1) 2) |
| Межосевой угол передачи | Σ | |

- * Размеры для справок
1. Размеры для справок
 2. Базовый торец - Т 10)
 3. Комплекс показателей точности устанавливается изготовителем по ГОСТ 1758-81
 4. Обработку по размерам в квадратных скобках производить совместно с дет. ...
 - Детали применять совместно.
 5. Угол сходимости линий основания зуба $\delta_f = \dots$ 10)
 6. Показатели точности контролировать только на венце В (дет.)

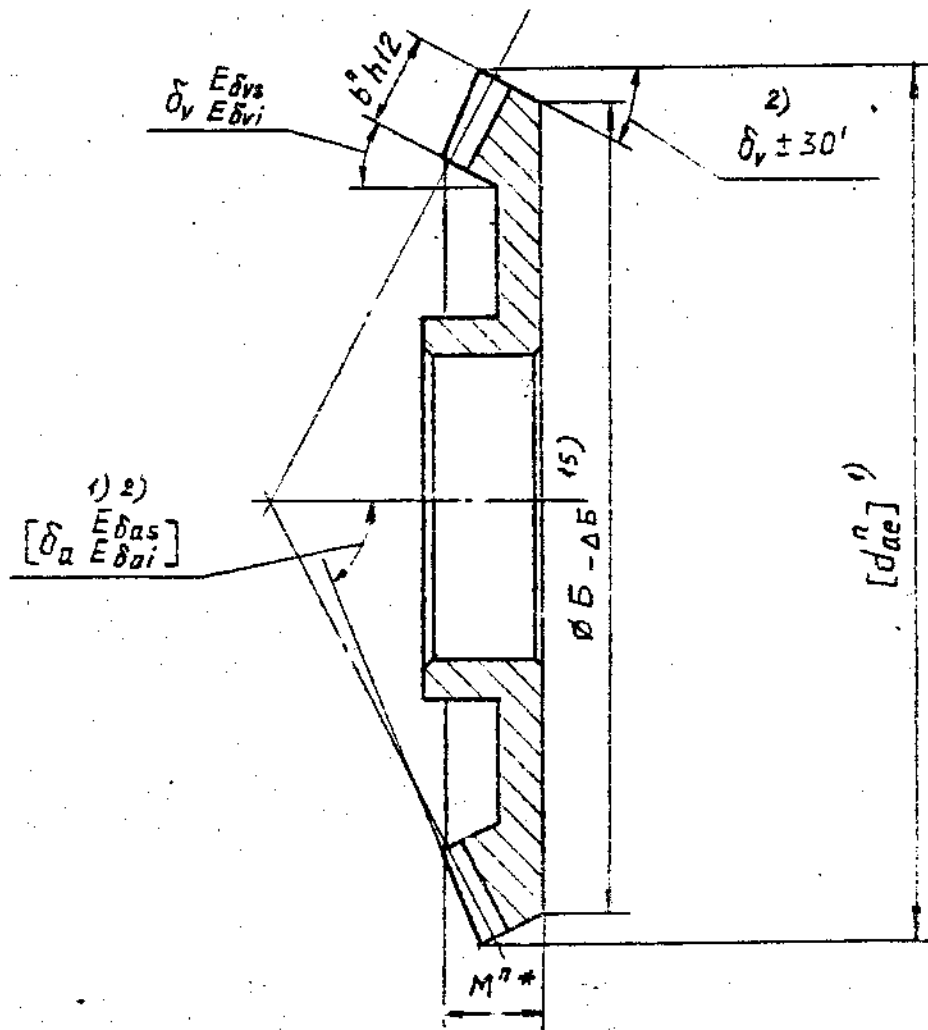
Цифрами со скобкой обозначены номера пунктов табл. 4, в которой даны пояснения по оформлению чертежа.

При плоскосрезанном внутреннем торце особенности оформления венца показаны на черт. II, а

Черт. 7

Имб. № 486
 Подпись и дата
 8.01.87

Расположенная у внутреннего дополнительного конуса незакрепляемая на валу часть разрезного конического зубчатого колеса (совместное нарезание зубьев):



1. * Размер для справок

2. Обработку по размерам в квадратных скобках производить совместно с дет. ...

Детали применять совместно

Цифрами со скобкой обозначены номера пунктов табл.4, в которой даны пояснения по оформлению чертежа

При плоскосрезанном внутреннем торце особенности оформления венца показаны на черт. II, 6

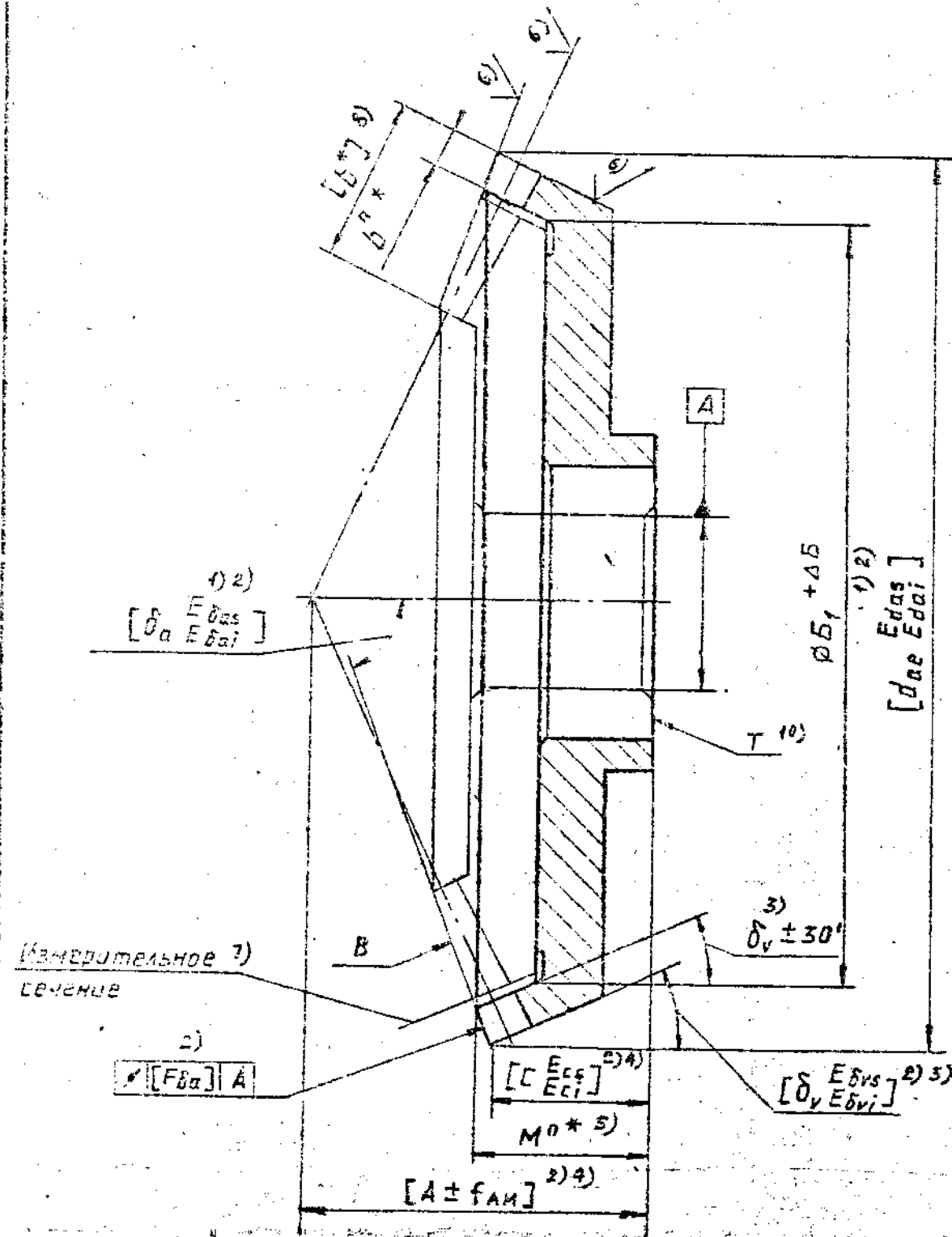
Черт.8

| | | | | | |
|----------------|---------------|--------------|--------|--------|-------------|
| И.Д. Мещеряков | Проц. и дата | Взам. инв. № | Инд. № | Листов | Кол. и дата |
| 486 | Макуш 8.01.87 | | | | |

Расположенная у внешнего дополнительного конуса незакрепляемая на валу часть разрезного конического зубчатого колеса (совместное нарезание зубьев)

| | | |
|---|------------|-----|
| Гребный окружной модуль | m_m | |
| Внешнее конусное расстояние | R_e | [] |
| Среднее конусное расстояние | R | [] |
| Средний делительный диаметр | d | [] |
| Угол конуса впадин | δ_f | [] |
| Внешняя высота зуба | h_e | [] |
| Обозначение чертежа сопряженного зубчатого колеса | | |

| | | |
|--------------------------------------|----------|---------------|
| Внешний окружной модуль | m_e | |
| Число зубьев | Z | |
| Тип зуба | - | Прямой |
| Исходный контур | - | ГОСТ 13754-81 |
| Коэффициент смещения | x_e | |
| Коэффициент изменения толщины зуба | x_c | |
| Угол делительного конуса | δ | [] |
| Степень точности по ГОСТ 1758-81 | - | 9) |
| Размеры зуба в измерительном сечении | | 1) 12) |
| Межосевой угол передачи | Σ | |



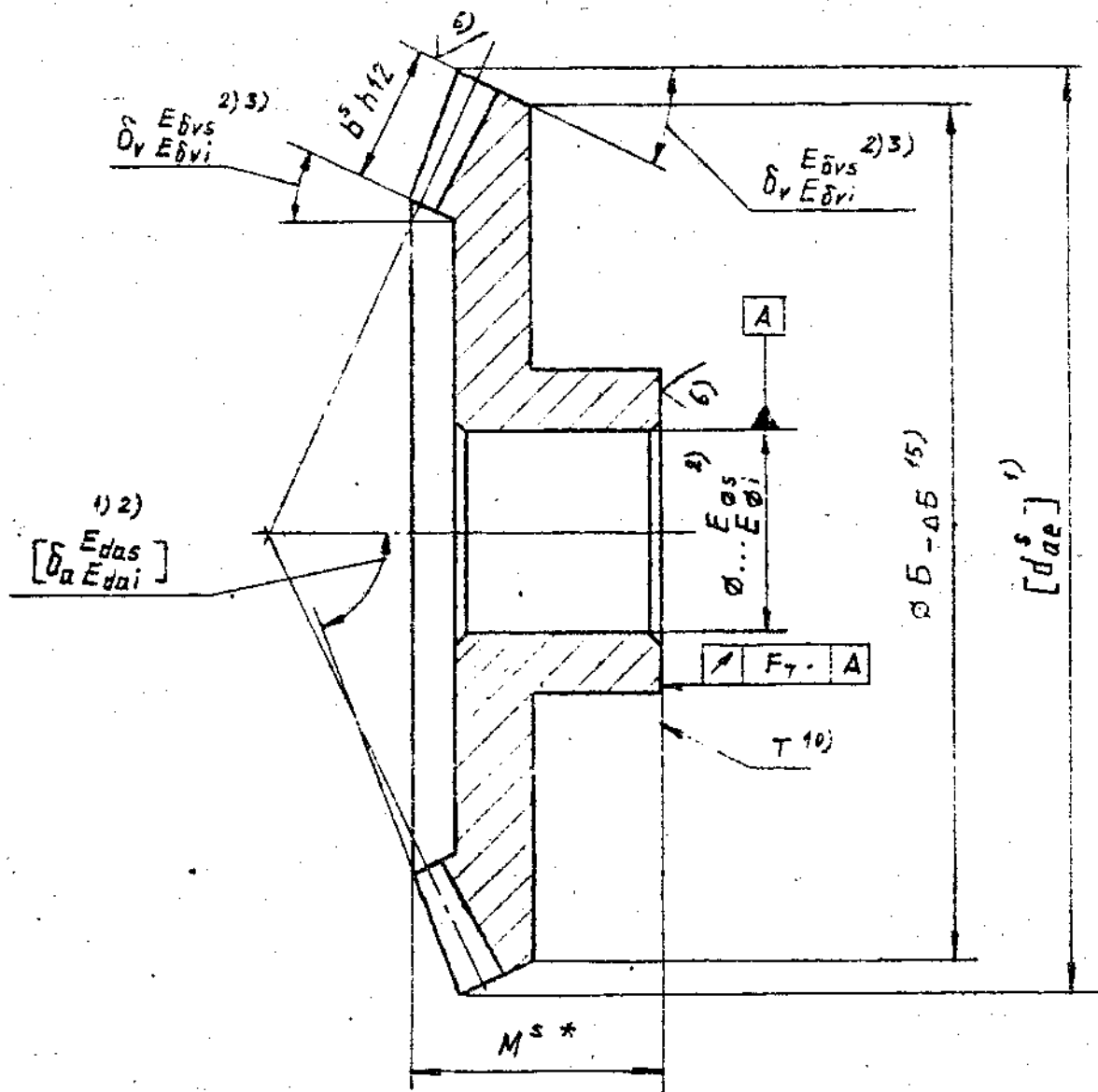
1. * Размеры для справок
2. Базовый торец - Т, торец дет. ... (венце В). 10)
3. Комплекс показателей точности устанавливается изготовителем по ГОСТ 1758-81.
4. Обработку по размерам в квадратных скобках производить совместно с дет. ...
Детали применять совместно.
5. Угол сходности линий основания зуба $\delta_f = \dots$ 10)
6. Показатели точности контролировать только на венце В

Цифрами со скобкой обозначены номера пунктов табл.4, в которой даны пояснения по оформлению чертежа
 При плоскосрезанном внутреннем торце особенности оформления венца показаны на черт. II,2

Черт.9

ШС. № 100/1111. Подпись и дата: 01.01.87
 486

Расположенная у внутреннего дополнительного конуса закрепляемая на валу часть разрезного конического зубчатого колеса (совместное нарезание зубьев)



1. Базовый торец-Т¹⁰⁾
 2. Обработку по размерам в квадратных скобках производить совместно с дет. ...
- Детали применять совместно

Цифрами со скобкой обозначены номера пунктов табл. 4, в которой даны пояснения по оформлению чертежа

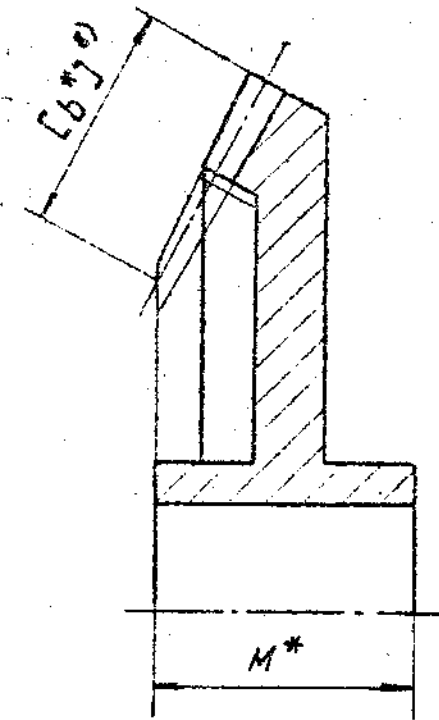
При плоскосрезанном внутреннем торце особенности оформления венца показаны на черт. II, б

Черт. 10

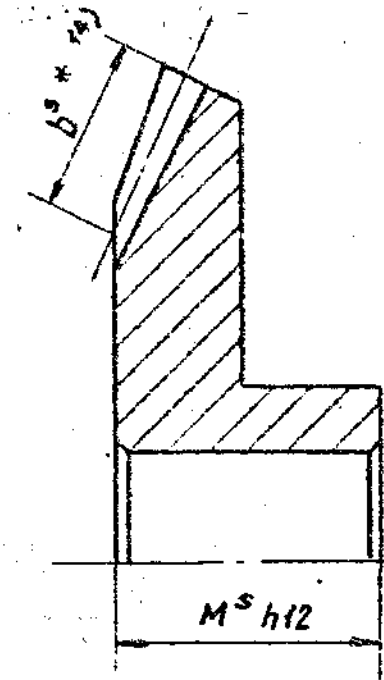
| | | | | | |
|--------|------|------------|--------|---------|---------|
| Изм. № | Дата | Взам. инв. | Изм. № | Исполн. | Дата |
| 486 | | | | Ильин | 8.01.87 |

Особенности оформления при плоскосрезанном внутреннем торце

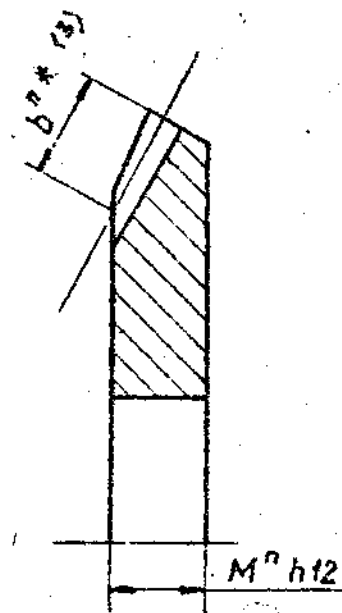
а) Закрепляемая на валу часть разрезного зубчатого колеса расположена у внешнего дополнительного конуса



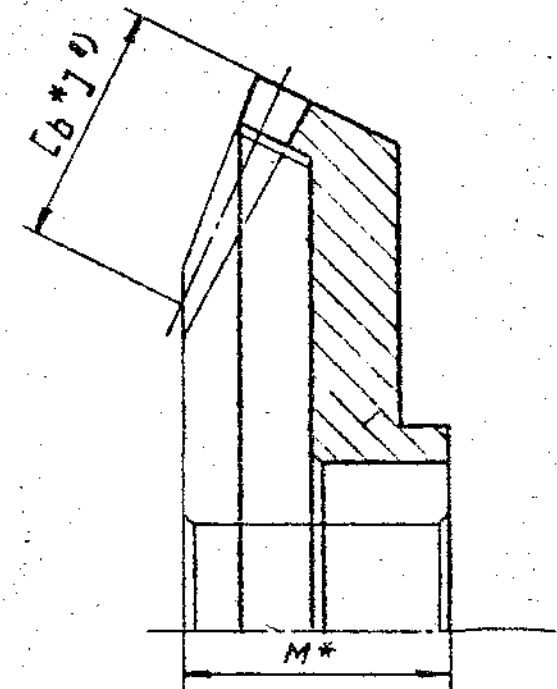
в) Закрепляемая на валу часть разрезного зубчатого колеса расположена у внутреннего торца



б) Незакрепляемая на валу часть разрезного зубчатого колеса расположена у внутреннего торца



г) Незакрепляемая на валу часть разрезного зубчатого колеса расположена у внешнего дополнительного конуса



Черт. II

| | | | | | |
|-----------|-----|----------------|------------|-------------|--------------|
| № подлин. | 486 | Подпись и дата | Взам. инв. | Инв. № док. | Текст и дата |
| | | Мамаев 8.01.87 | | | |

4. ЧЕРВЯЧНАЯ ПЕРЕДАЧА С РАЗРЕЗНЫМ ЧЕРВЯЧНЫМ КОЛЕСОМ

4.1. Чертежи червячного колеса и червяка оформляют по [3] учитывая особенности для разрезного червячного колеса.

4.2. Примеры указания параметров частей разрезного червячного колеса и сцепляющегося с ним червяка приведены на черт.12-15.

Таблица 5

| Данные, приводимые на чертеже (обозначение или наименование) | Указание по определению или оформлению |
|--|---|
| I. Геометрические параметры | Определяют по [21] |
| 2. R | $R = 0,5d_f - m$, где d_f - делительный диаметр червяка |
| 3. Предельные отклонения и допуски | $E_{dam2s}, E_{dam2i}; E_{daz2s}, E_{daz2i}; E_{dns}, E_{dni}; E_{ks}, E_{ki}, F_{daz}, F_T, E_{dats}, E_{dati}, F_{dat}$ определяют по обязательному приложению 2 [23] для вида сопряжения В; F_{daz} назначают при использовании поверхности вершин зубьев для выверки на зуборезном станке |
| 4. Шероховатость поверхности | Рекомендации по назначению приведены в обязательном приложении 2 [23] |
| 5. a | $a = 0,5m$ |
| 6. $\pm F_{xc}; \pm F_{ac}$ | Определяют по справочному приложению 3 [23] |
| 7. Степень точности | Указывают только степень точности по [11] |
| 8. Базовый торец | Назначение базового торца на чертеже про- |

ИЗМ. ИСПОЛ. ПОДП. И ДАТА

ВЗАМ. ИСПОЛ. И НЕ. ЕДУБЛ. ПОДП. И ДАТА

ИЗМ. ИСПОЛ. ПОДП. И ДАТА

ИЗМ. ИСПОЛ. ПОДП. И ДАТА

485

Продолжение табл.5

| | |
|---|---|
| <p>Данные, приводимые на чертеже (обозначение или наименование)</p> | <p>Указание по определению или оформлению</p> |
| | <p>изготавливается конструктором совместно с технологом.</p> <p>Для симметричной детали базовый торец маркировать (для передачи с двумя червяками)</p> |
| <p>9. k</p> | <p>$k = 0,5 b_2$</p> |
| <p>10. φ_{s1}</p> | <p>$\varphi_{s1} = 0,3 m$</p> |
| <p>11. φ_{k1}</p> | <p>$\varphi_{k1} = (0,05-0,07) m$</p> |
| <p>12. $\frac{E'}{5s} ; T_s'$</p> | <p>Определяют по разделу 3 [23] для вида сопряжения В</p> |
| <p>13. Направление линии витка</p> | <p>Для передачи с двумя червяками направление линии витка у обоих червяков назначать одинаковым</p> |

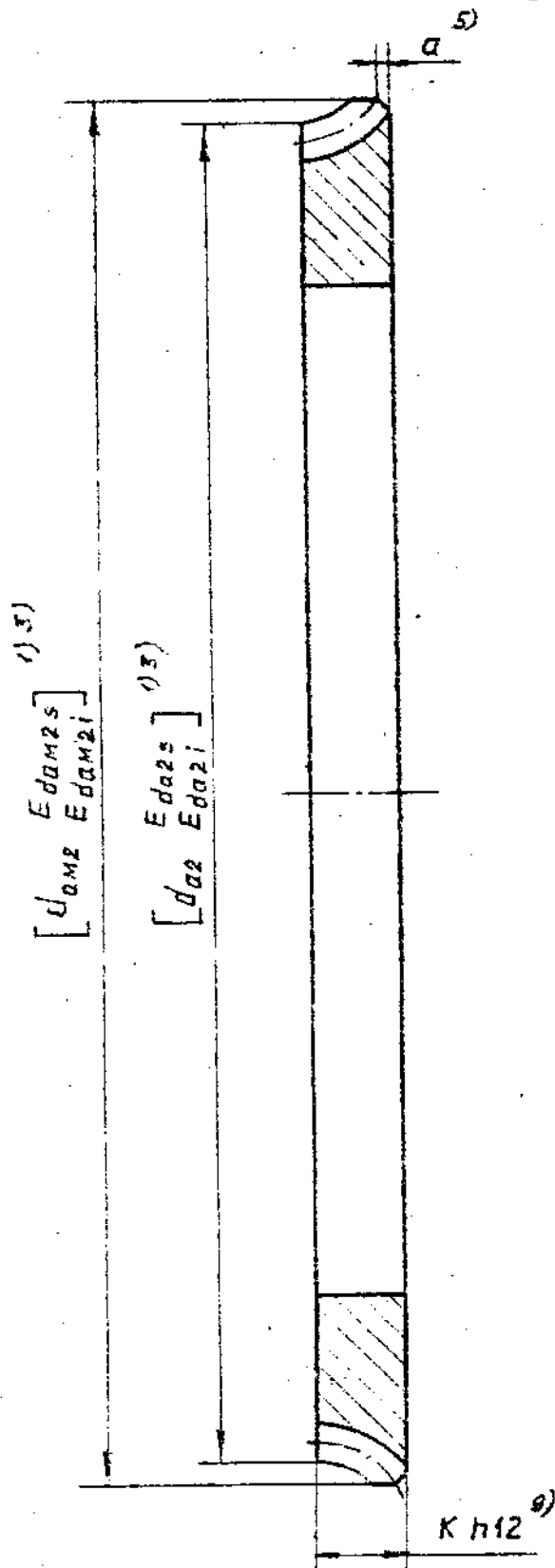
5. ЧЕРВЯЧНАЯ ПЕРЕДАЧА С НЕРАЗРЕЗНЫМ ЧЕРВЯЧНЫМ КОЛЕСОМ И ДВУМЯ ЧЕРВЯКАМИ

5.1. Чертежи червячного колеса и червяка оформляют по [3].

5.2. Примеры указания параметров зубчатого венца на чертеже червяка приведено на черт.14, червячного колеса на черт.15.

ИИ. РАЙОН И ПОС. И ИАГО
 486
 ВЕЛ. ИАГО ИИВ. ИИУСА
 ПОП. И ДАТА
 20.08.87

Незакрепляемая на валу часть разрезного червячного колеса
(совместное нарезание зубьев)



*Обработку по размерам b
квадратных скобках производить
совместно с дет. ...*

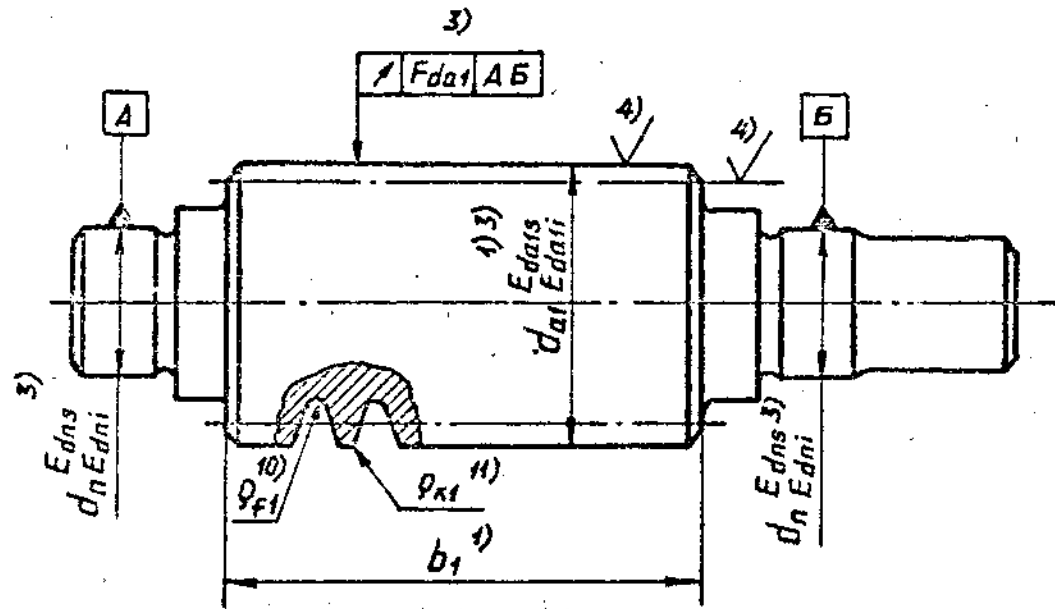
Детали применять совместно

Цифрами со скобкой обозначены номера пунктов табл.5, в которой даны пояснения по оформлению чертежа

Черт.13

| | | | | | | |
|----------------|----------------|---------|-------|--------|------|--------|
| ЦНБ №1102/1111 | Подпись и дата | Исполн. | Инв.№ | Судит. | Лист | Кол-во |
| 485 | И.И.И.И. | 3.01.57 | | | | |

Червяк



| | | |
|--|-------------|--|
| Модуль | m | |
| Число витков | z_1 | |
| Вид червяка | - | ZA |
| Делительный угол подъема | γ | |
| Направление линии витка | - | 13) |
| Исходный червяк | - | ГОСТ 19036-81 ③ |
| Степень точности по ГОСТ 3675-81 | - | 7) |
| Делительная толщина по хорде витка | \bar{S}_a | $S_{a1}^{1) E_{ss}^{12)}$ $(E_{ss}^{12) - T_s^{1)}$ |
| Высота до хорды | \bar{h}_a | h_{a1} |
| Делительный диаметр червяка | d_1 | |
| Ход витка | p_{z1} | |
| Межосевое расстояние | a_w | |
| Коэффициент диаметра червяка | q | |
| Высота витка червяка | h_1 | |
| Число зубьев сопряженного червячного колеса | z_2 | |
| Обозначение чертежа сопряженного червячного колеса | | |

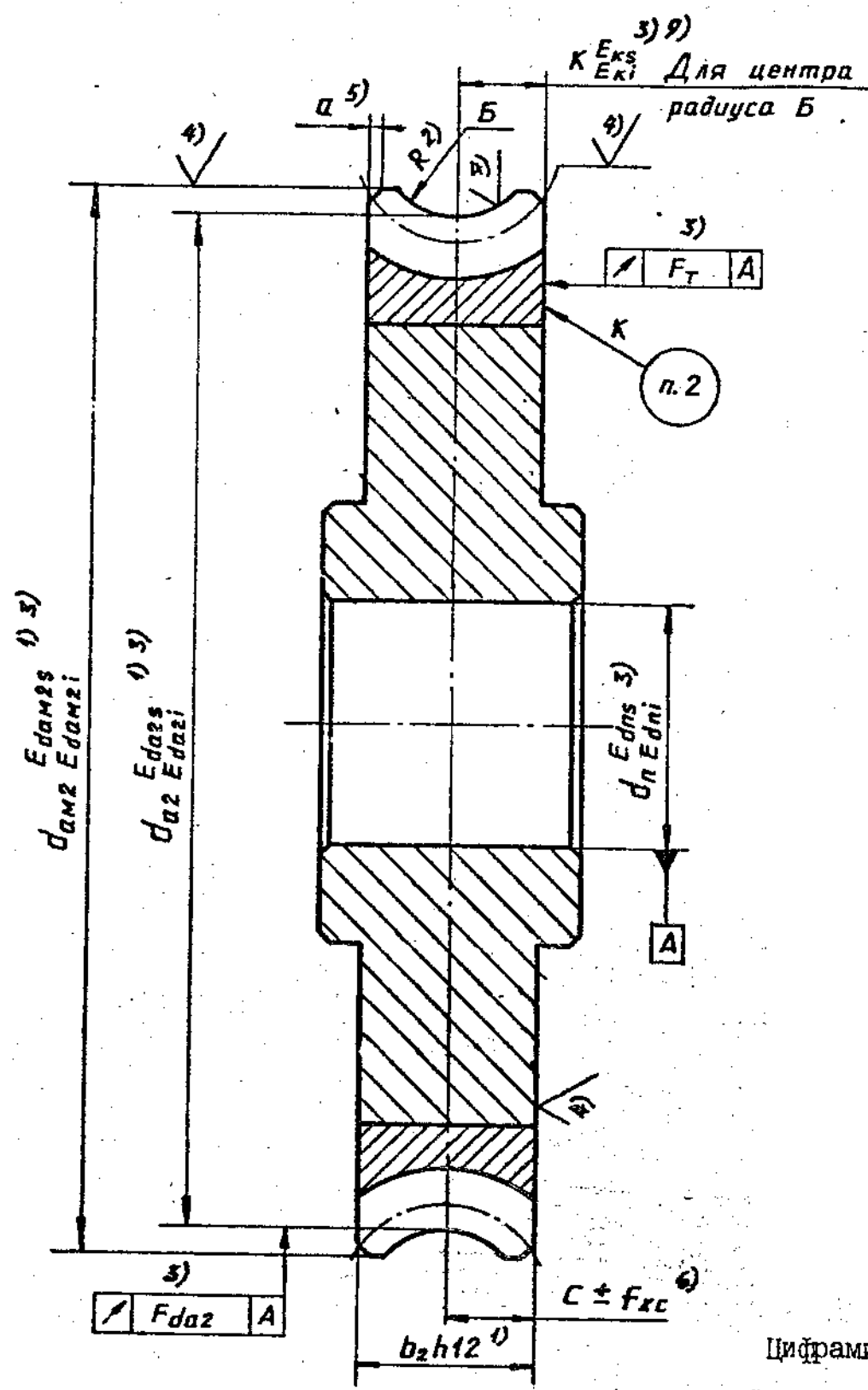
1. Комплекс показателей точности устанавливается изготовителем по ГОСТ 3675-81
2. Концы витков толщиной менее 1,5 мм удалить

Цифрами со скобкой обозначены номера пунктов табл.5, в которой даны пояснения по оформлению чертежа

Черт. I4

Имя, фамилия, инициалы
486
Подпись и дата
Иванов В.И.
10.01.87

Червячное колесо



| | | |
|--|-------|-----------------------------|
| Модуль | m | |
| Число зубьев | Z_2 | |
| Направление линии зуба | - | |
| Коэффициент смещения червяка | x | |
| Исходный производящий червяк | - | ГОСТ 19036-81 ⁹⁾ |
| Степень точности по ГОСТ 3675-81 | - | 7) |
| Межосевое расстояние | a_w | 1) |
| Делительный диаметр червячного колеса | d_2 | 1) |
| Вид сопряженного червяка | - | ZA |
| Число витков сопряженного червяка | Z_1 | |
| Межосевое расстояние в обработке | a_0 | $a_0 \pm f_{ac}$ 6) |
| Обозначение чертежа сопряженного червяка | | |

1. Комплекс показателей точности устанавливается изготовителем по ГОСТ 3675-81.
2. Базовый торец маркировать 8)

Цифрами со скобкой обозначены номера пунктов табл.5, в которой даны пояснения по оформлению чертежа
 Черт.15

ИИВ. № подлин. 486
 Подпись и дата 21.01.87
 Взам. Инв. № 801.87
 Инв. № 801.87

ПРИЛОЖЕНИЕ 3

Обязательное

ПЕРЕЧЕНЬ ССЫЛОЧНЫХ ДОКУМЕНТОВ

| Порядок номер | Обозначение | Наименование | Лист |
|---------------|----------------------------|---|---|
| 1 | ГОСТ 2.403-75 | ЕСКД. Правила выполнения чертежей цилиндрических зубчатых колес | 156, 161 |
| 2 | ГОСТ 2.405-75 | ЕСКД. Правила выполнения чертежей конических зубчатых колес | 167 |
| 3 | ГОСТ 2.406-76 | ЕСКД. Правила выполнения чертежей цилиндрических червяков и червячных колес | 176, 177 |
| 4 | ГОСТ 493-79 | Бронзы безоловянные литейные. Марки | 56 |
| 5 | ГОСТ 613-79 | Бронзы оловянные литейные. Марки | 56, 133, 142 |
| 6 | ГОСТ 1412-79 ⁸⁵ | Чугун с пластинчатым графитом. Отливки из серого чугуна с пластинчатым графитом. Общие технические условия | 56 |
| 7 | ГОСТ 1643-81 | ОНВ. Передатки зубчатые цилиндрические. Допуски | 157, 158, 159, 160, 161, 162, 163, 165, 166 |
| 8 | ГОСТ 1758-81 | ОНВ. Передатки зубчатые конические и гипоидные. Допуски | 167, 168, 171, 173 |
| 9 | ГОСТ 2144-76 | Передатки червячные цилиндрические. Основные параметры | 54, 66 |
| 10 | ГОСТ 2789-73 | Шероховатость поверхности. Параметры и характеристики | 106, 120, 158 |

| | | | | | | |
|--------|--------|--------------|--------------|--------|--------|--------------|
| Изд. № | Исполл | Подп. и дата | Взам. инв. № | Ине. № | Исполл | Подп. и дата |
| | | | | | | |
| 485 | | | | | | 2.01.87 |

Продолжение

| Порядк. номер | Обозначение | Наименование | Лист |
|---------------|--------------------------|---|---|
| 11 | ГОСТ 3675-81 | ОНВ. Передачи червячные цилиндрические. Допуски | I76, I78, I80, I81 |
| 12 | ГОСТ 4543-71 | <i>Прокат из легированной конструкционной стали</i> Сталь легированная кооперационная Технические условия | I07 |
| 13 | ГОСТ 13754-81 | ОНВ. Передачи зубчатые конические с прямыми зубьями. Исходный контур | I, I71, I73 |
| 14 | ГОСТ 13755-81 | ОНВ. Передачи зубчатые цилиндрические эвольвентные. Исходный контур | I, 84, 91, I49, I59, I60, I63, I65, I66 |
| 15 | ГОСТ 15527-70 | Сплавы медно-цинковые (латуни), обрабатываемые давлением. Марки | 56 |
| 16 | ГОСТ 16530-83 | Передачи зубчатые. Общие термины, определения и обозначения | 2, 88 |
| 17 | ГОСТ 16532-70 | Передачи зубчатые цилиндрические эвольвентные внешнего зацепления. Расчет геометрии | 2, 15, 84, 85, 88, 89, I04, I61 |
| 18 | ГОСТ 19036-81 <i>94</i> | ОНВ. Передачи червячные цилиндрические. Исходный червяк и исходный производящий червяк | I, 54, I78, I80, I81 |
| 19 | ГОСТ 19274-73 | Передачи зубчатые цилиндрические эвольвентные внутреннего зацепления. Расчет геометрии | 2, 15, I61 |

Инв. № подл. Изд. № 8.01.87
 Взам. инв. № 436
 Подп. и дата

Продолжение

| Поряд. номер | Обозначение | Наименование | Лист |
|--------------|------------------------------|--|--|
| 20 | ГОСТ 19624-74 | Передачи зубчатые конические с прямыми зубьями. Расчет геометрии | 2, 34, 36, 167, 168, 169, 170 |
| 21 | ГОСТ 19650-74 ⁹⁷ | Передачи червячные цилиндрические. Расчет геометрии <i>геометрических параметров.</i> | 2, 54, 55, 59, 66, 176 |
| 22 | ГОСТ 21354-75 ⁸⁷ | Передачи зубчатые цилиндрические <i>внешнего зацепления</i> эвольвентные. Расчет на прочность | 2 |
| 23 | ОСТ 92-1089-83 | ОНВ. Передачи червячные цилиндрические. Допуски | 54, 55, 67, 134, 143, 176, 177 |
| 24 | ОСТ 92-8749-76 ⁹¹ | ЕСДП-СЭВ. Поля допусков и рекомендуемые посадки, <i>снue</i> (Ограничитель ГОСТ 25347-82 | 156 |
| 25 | ОСТ 92-9084-84 | Передачи зубчатые цилиндрические эвольвентные и реечные с модулем от 1 мм и более. Методика расчета на прочность | 4, 7, 12, 14, 15, 18, 19, 20, 21, 22, 23, 24, 25, 85, 89, 98, 101, 102, 103, 108, 109, 110, 111, 112, 113, 114, 115, 116, 117, 118 |

| | | | | | |
|------|---------|------|------|---------|------|
| Изм. | Исполн. | Дата | Изм. | Исполн. | Дата |
| 486 | | | | | |

Продолжение

| Поряд. номер | Обозначение | Наименование | Лист |
|--------------|----------------|---|---|
| 26 | ОСТ 92-9085-84 | Передачи зубчатые конические с модулем от 1 мм и более. Методика расчета на прочность | 4, 29, 33, 34, 35, 36, 39, 41, 42, 43, 45, 124, 125, 126, 127, 128, 130 |
| 27 | ОСТ 92-9502-81 | Передачи зубчатые цилиндрические. Допуски | 91, 92, 100, 149, 150, 153, 157, 161, 162 |
| 28 | ОСТ 92-9503-81 | Передачи червячные цилиндрические с модулем от 1 мм и более. Расчет на прочность | 67 |
| 29 | ОСТ 92-9610-82 | ОПВ. Передачи зубчатые конические и гипоидные. Допуски. Ограничение ГОСТ 1758-81 | 120, 125, 167, 168, 169 |

| | | | | |
|--------------|------------------|------------|-------------|--------------|
| Минв. Инстдл | Подп. и дата | Взам. инв. | Инв. № дусл | Подп. и дата |
| 486 | Михайлов 8.01.87 | | | |

СОДЕРЖАНИЕ

| | |
|--|-----|
| I. Общие положения | 2 |
| 2. Беззазорные зубчатые и червячные передачи | 3 |
| 2.1. Общие положения | 3 |
| 2.2. Цилиндрическая прямозубая передача с разрезным и неразрезным зубчатыми колесами | 6 |
| 2.3. Коническая прямозубая передача с разрезным и неразрезным зубчатыми колесами | 29 |
| 2.4. Червячная цилиндрическая передача с разрезным червячным колесом и неразрезным червяком | 49 |
| 2.5. Червячная цилиндрическая передача с неразрезным червячным колесом и двумя червяками | 78 |
| 3. Цилиндрические передачи с уменьшенным боковым зазором и углом зацепления $\alpha_{\tau w} < 20^\circ$ | 84 |
| 4. Расчет цилиндрических передач с регулируемым боковым зазором при постоянном межосевом расстоянии | 88 |
| 4.1. Общие положения | 88 |
| 4.2. Расчет геометрии | 91 |
| Приложение I. Примеры расчетов | 97 |
| Справочное | |
| Приложение 2. Указания по оформлению чертежей зубчатых колес передач с регулируемым боковым зазором | 156 |
| Справочное | |
| Приложение 3. Перечень ссылочных документов | 182 |
| Обязательное | |

| | | | | | | | | | | | | | | | | | | | | | |
|--------|---------|-------|------|---------|-------|------|---------|-------|------|---------|-------|------|---------|-------|------|---------|-------|------|---------|-------|--|
| Изм. № | Исполн. | Подп. | Изм. | Исполн. | Подп. | |
| 487 | | | | | | | | | | | | | | | | | | | | | |

ЛИСТ РЕГИСТРАЦИИ ИЗМЕНЕНИЙ

| Изм | Номера страниц | | | | Всего страниц в документе | Номер документа | Входящий номер сопроводительного документа | Подпись | Дата |
|-----|------------------------|------------|-------|----------------|---------------------------|-----------------|--|-----------------|----------|
| | измененных | замененных | новых | аннулированных | | | | | |
| 1 | 1 | | | | | 456.432-88 | | <i>Васильев</i> | 25.10.88 |
| 2 | 182, 184 | | | | | 456.533-02 | | <i>Васильев</i> | 26.10.88 |
| 3 | 56, 178, 180, 181, 183 | | | | | 456.574-08 | | <i>Васильев</i> | 26.10.88 |

| | | | | |
|-----------|------------------|------------|------------|--------------|
| ИНВ. КЛОЛ | ПОТВ. И ДАТА | ВЗАМ. ИНВ. | ИНВ. КЛУСЛ | ПОДП. И ДАТА |
| 486 | Михайлов 8.01.87 | | | |

25.10.88 456.574-08